

D3A

Dipartimento di Scienze
Agrarie, Alimentari ed
Ambientali (D3A)



**UNIVERSITÀ
POLITECNICA
DELLE MARCHE**

Ricerca nella filiera frutticola e
olivicola in risposta ai
cambiamenti sociali e climatici

Davide Neri



Agraria



Agricoltura

Alimenti



Ambiente



Missione



conoscenza
conoscenza
innovazione
innovazione
sostenibilità
sostenibilità

Produzione e diffusione di conoscenze nell'ambito delle scienze agrarie, alimentari ed ambientali, produzione e trasformazione di prodotti, qualità e sicurezza dei prodotti alimentari, conservazione e valorizzazione delle risorse ambientali, della biodiversità e del paesaggio.

Ambiti disciplinari

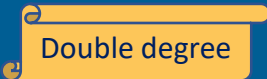
Agronomia, agro-ingegneria e territorio, biochimica, biologia vegetale e forestale, chimica, colture arboree, genetica agraria, patologia vegetale, entomologia agraria, microbiologia alimentare, industriale e ambientale, scienze economiche nei sistemi agricoli e territoriali, scienze fisiche, scienze e tecnologie alimentari, scienze del suolo e produzioni animali.



DIDATTICA



CORSI DI LAUREA TRIENNALE

- Scienze e Tecnologie Agrarie (L-STA) 
- Scienze e Tecnologie Alimentari (L-STAL)
- Scienze Forestali ed Ambientali (L-SFA)
- Sistemi Agricoli Innovativi (L-SAI) 

CORSI DI LAUREA MAGISTRALE

- Scienze Agrarie e del Territorio (LM-SAT)
- Food and Beverage Innovation and Management (LM-FABIAM) 
- Scienze Forestali, dei Suoli e del Paesaggio (LM-FORESPA)

MASTER DI I LIVELLO *on line* in
“Gestione Qualità e HACCP nelle filiere alimentari”

CORSO DI DOTTORATO di ricerca in
“Scienze Agrarie, Alimentari ed Ambientali”

Corso di laurea magistrale interdipartimentale in
Management della Sostenibilità ed Economia Circolare (LM-MISEC)



DIDATTICA



University of Zadar

University of Debrecen

CORSI DI LAUREA TRIENNALE

- Scienze e Tecnologie agrarie double degree
- Scienze e Tecnologie Viticoltura ed enologia
- Scienze Forestali ed Ambientali (L-SFA)
- Sistemi Agricoli Innovativi (L-SAI) **NEW**

CORSI DI LAUREA MAGISTRALE

- Agricoltura sociale
- Scienze Agrarie e del Territorio (LM-SAT)
- Produzione e protezione delle colture
- Food and Beverage Innovation and Genomica, Biotecnologie e Biodiversità **NEW**
- Scienze Forestali, dei Suoli e del Paesaggio (LM-FORESPA)

MASTER DI I LIVELLO *on line* in
"Gestione Qualità e HACCP nelle filiere alimentari"

CORSO DI DOTTORATO di ricerca in
"Scienze Agrarie, Alimentari ed Ambientali"

Corso di laurea magistrale interdipartimentale in
Management della Sostenibilità ed Economia Circolare (LM-MASEC)

SOIL ATTRIBUTES



Soil fertility



Landscape



Peach orchard

Premise

Agroecology in farming systems

«More weed less production»
we have to break this paradigm

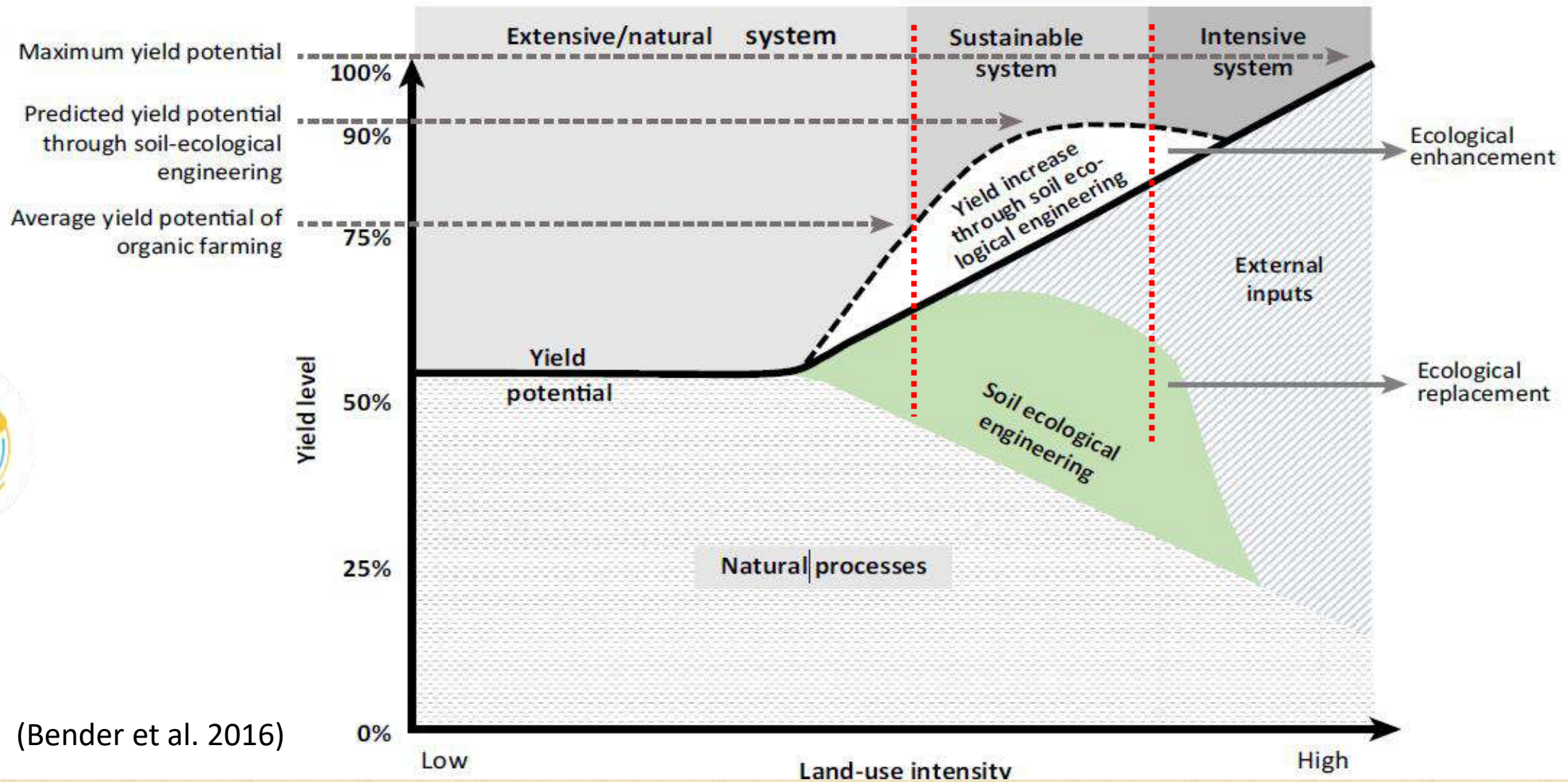
Organic (ecologic, biologic) and **integrated** (conventional) agricultural systems

- **Farming design for implementing circular economy**. Multifunctionality and ecosystems services of the farming systems.

Biodiversity in agroecosystems. The importance of crop rotation and permanent consociation for sustainable agricultural systems.

- **Root growth** and behavior in relation to different organic residues and byproducts amendments and mulching.

Soil-ecological engineering



Conceptual model showing the contribution of external resource inputs and natural biological processes to an ecosystem function, in dependence of land-use intensity

Where is the problem?



Prof Granatstain, Valdaso 2018

APRIFEL.COM

AGENCY FOR RESEARCH AND INFORMATION ON FRUIT AND VEGETABLES



Soil sickness

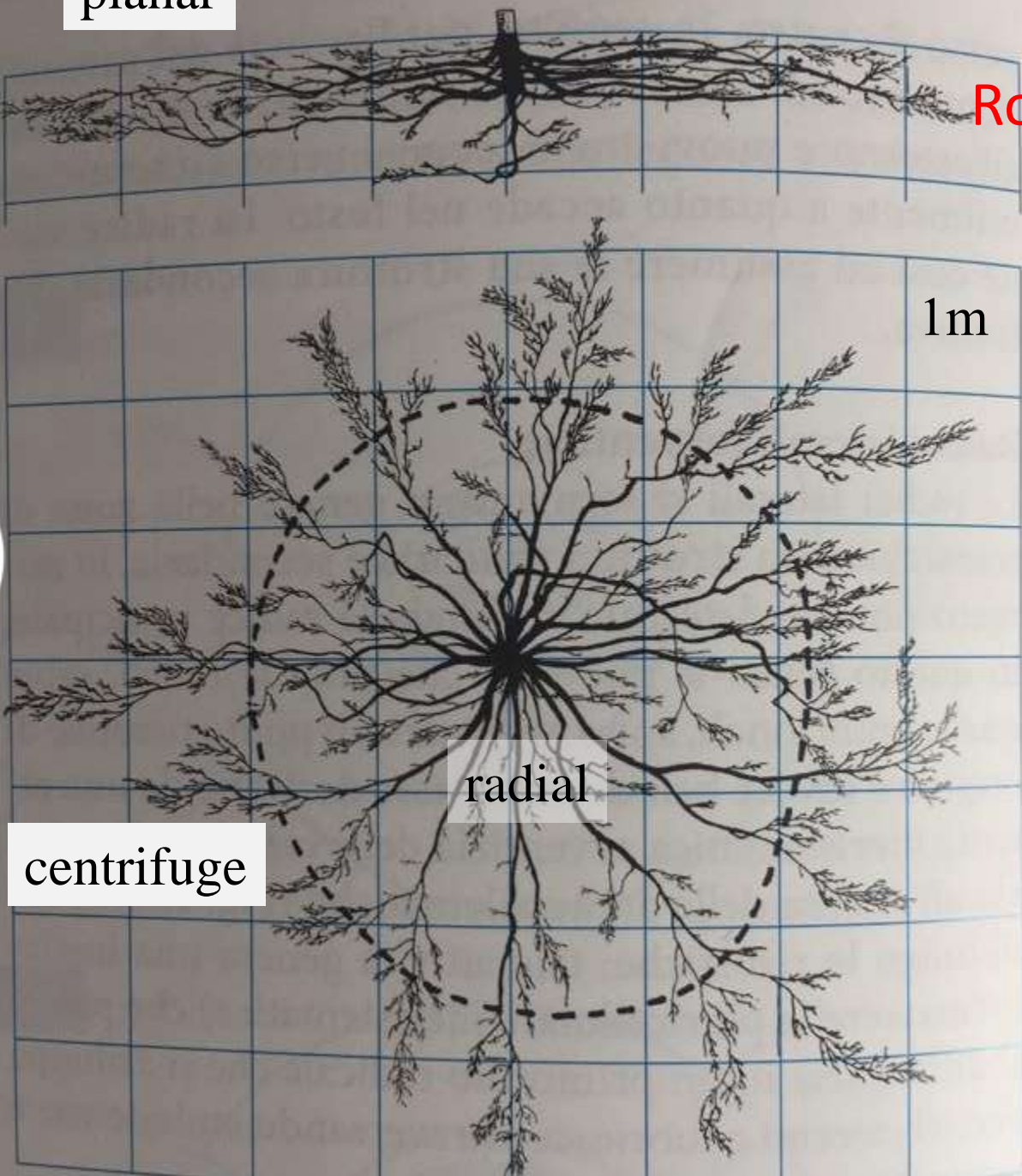
**difficulty in repeating a given crop
over time on the same plot in single
succession**

**First symptom of soil fertility
degradation**



planar

Roots are very superficial



Root system in fruit trees

FROM Baldini 1985

centrifuge

radial



Appena piantato

We hypothesise that a more diverse weed community will be less competitive





Sabine Zikeli research group
«Domino» CORE Organic

APRIFEL.COM
AGENCY FOR RESEARCH AND INFORMATION ON FRUIT AND VEGETABLES





Naturally occurring *Potentilla reptans* in apple orchard (Fibl 2020)

Domino Core organic

APRIFEL.COM
AGENCY FOR RESEARCH AND INFORMATION ON FRUIT AND VEGETABLES





Biodiversity assessment

Aboveground Biodiversity:

- Pests occurrence
- Beneficial insects
- Weeds population

Belowground Biodiversity:

- Microbial metabolic activity (Biolog method)
- Bacteria and fungi populations (molecular biology)
- Nematodes trophic groups

Effect of row living mulches on weeds

51 species of weeds were determined in the orchard, among which:

LAMPU, TAROF, EQUAR, STEME, EROCI, ERICA, VIOAR, GERPU, BROMO, POAPR, CAPBP and Rumex sp.

occurred in all observations, regardless of the monitoring date.



LAMPU
*Lamium
purpureum*



TAROF
*Taraxacum
officinale*



EQUAR
*Equisetum
arvense*



STEME
*Stellaria
media*



EROCI
*Erodium
cicutarium*



ERICA
*Erigeron
canadensis*



VIOAR
*Viola
arvensis*



GERPU
*Geranium
pusillum*



BROMO
*Bromus
mollis*



POAPR
*Poa
pratensis*



AGRRE
*Agropyron
repens*

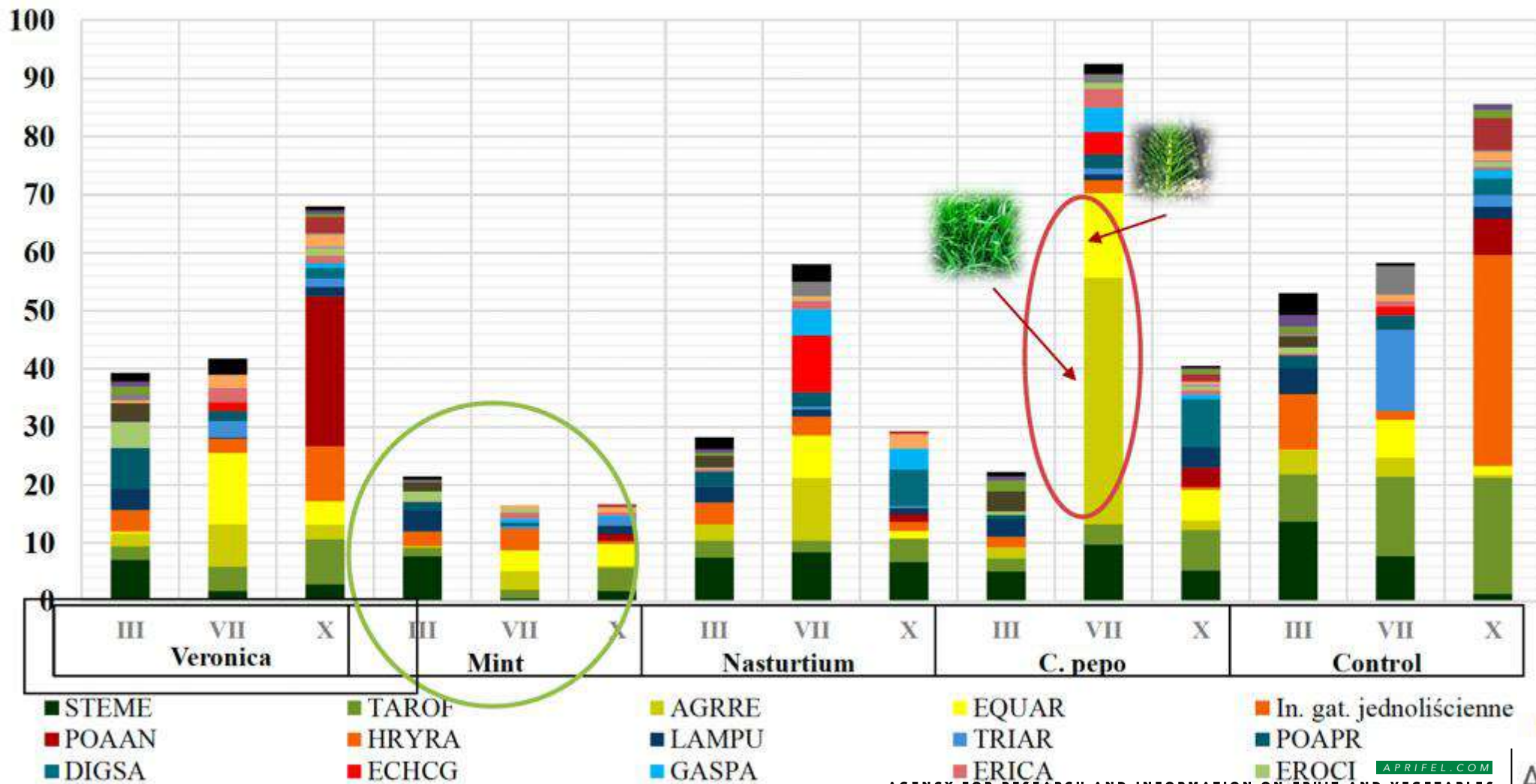


Rumex sp.



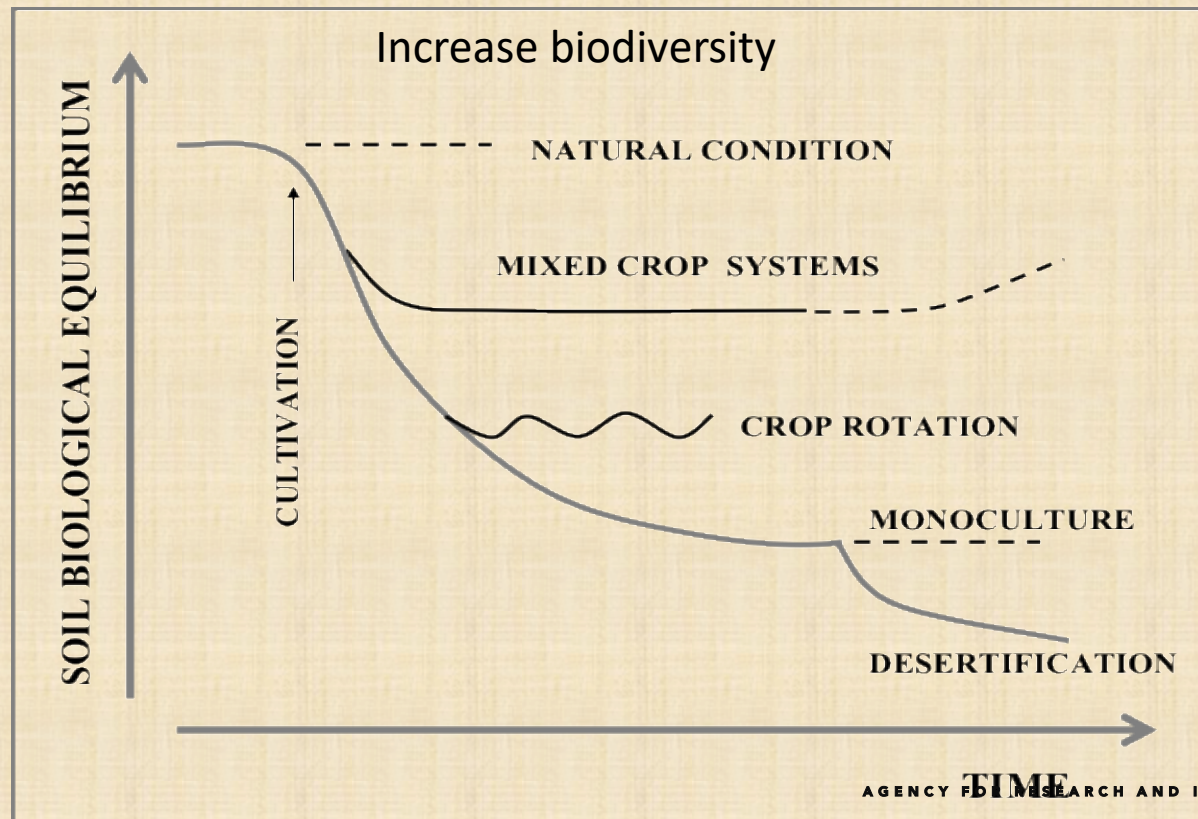
CAPBP
*Capsella
bursa-
pastoris*

Soil coverage by weeds [%] in rows during vegetation period 2020



Rationale 1

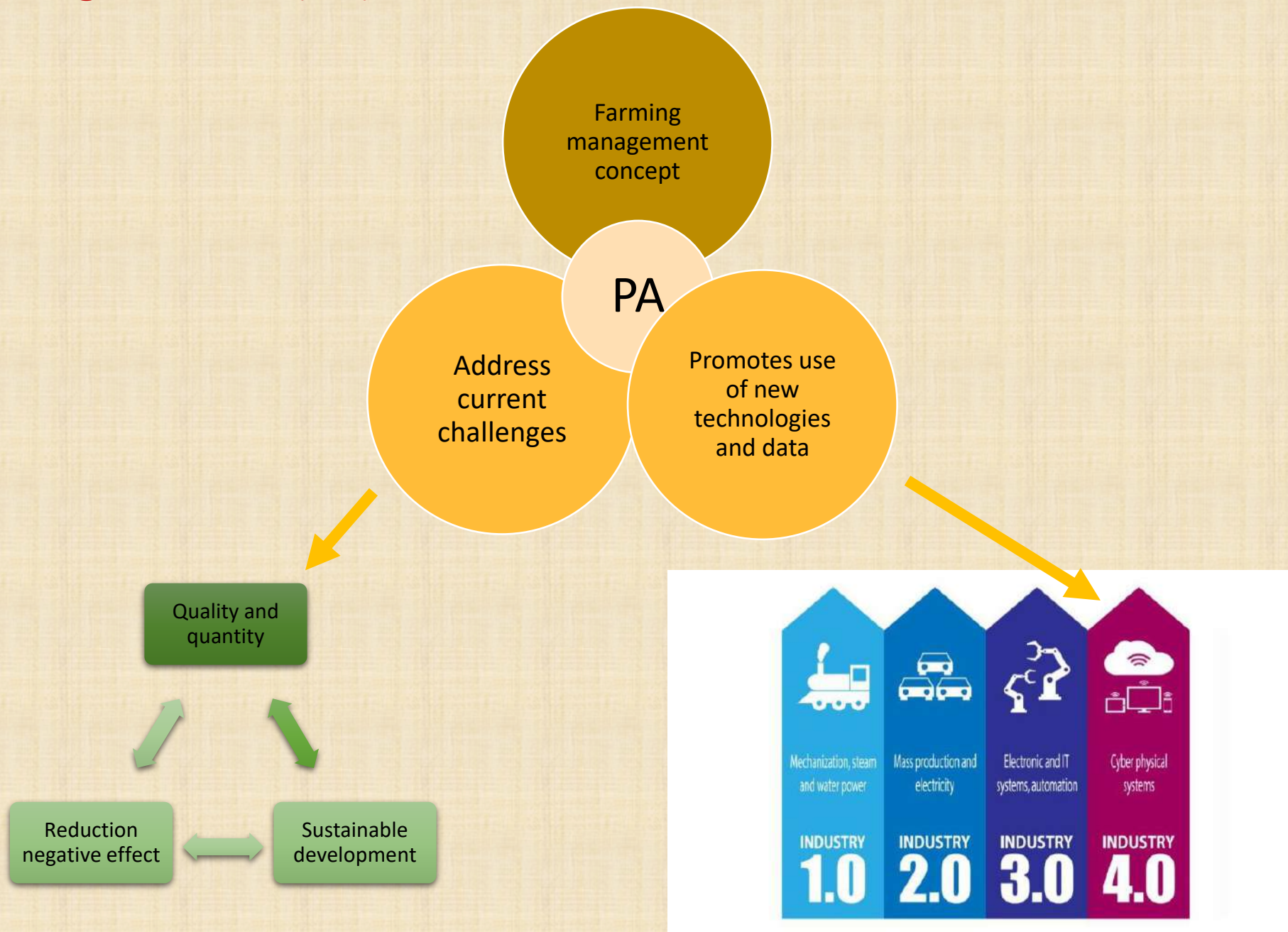
The DOMINO project aims to improve long-term sustainability of intensive organic orchard and vineyard by innovative strategies expected to increase biodiversity as a source of resilience for the agroecosystems, and to reduce the dependency on external inputs.



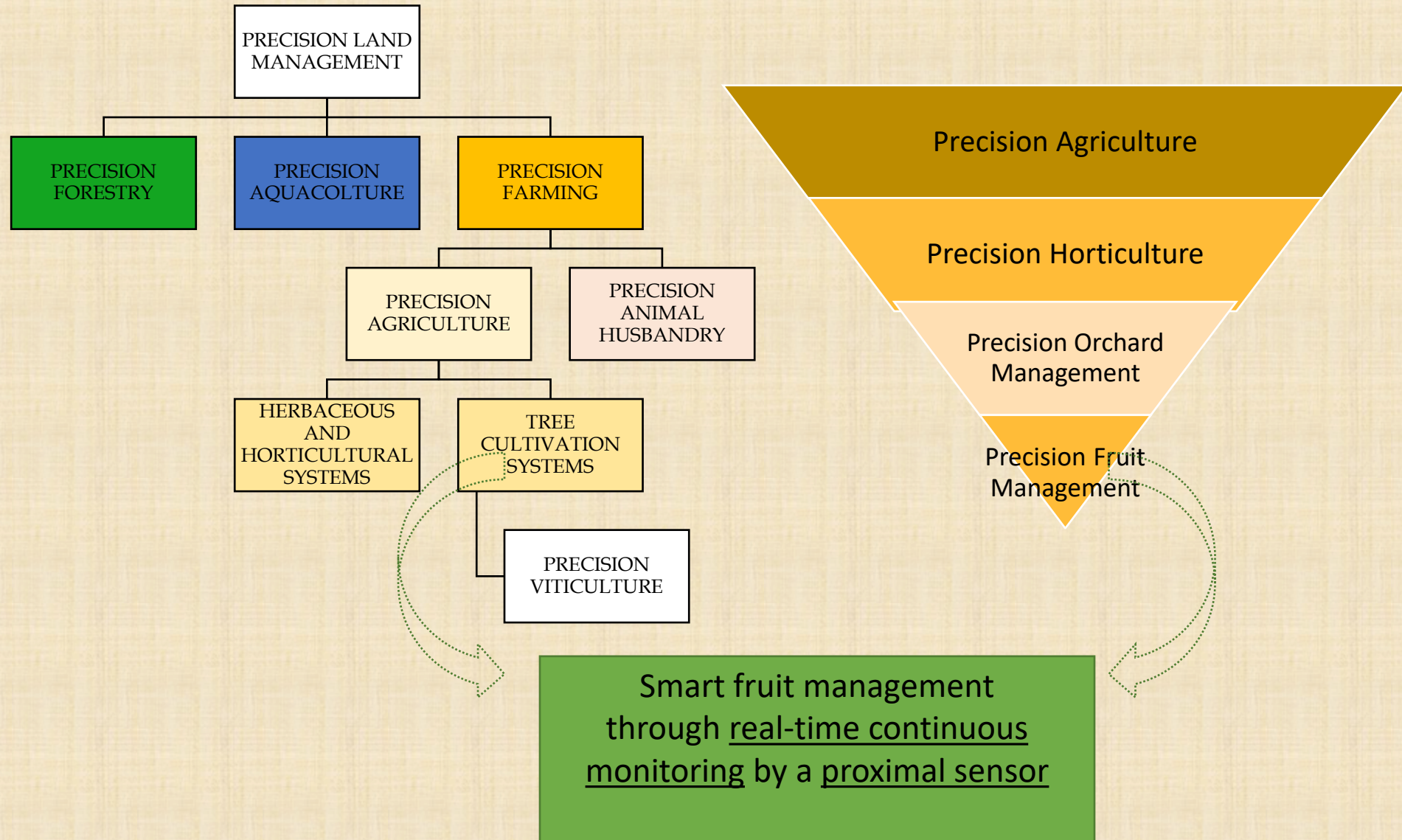
Modified from
Zucconi, 1996

Precision agriculture (PA)

A. Koshravi

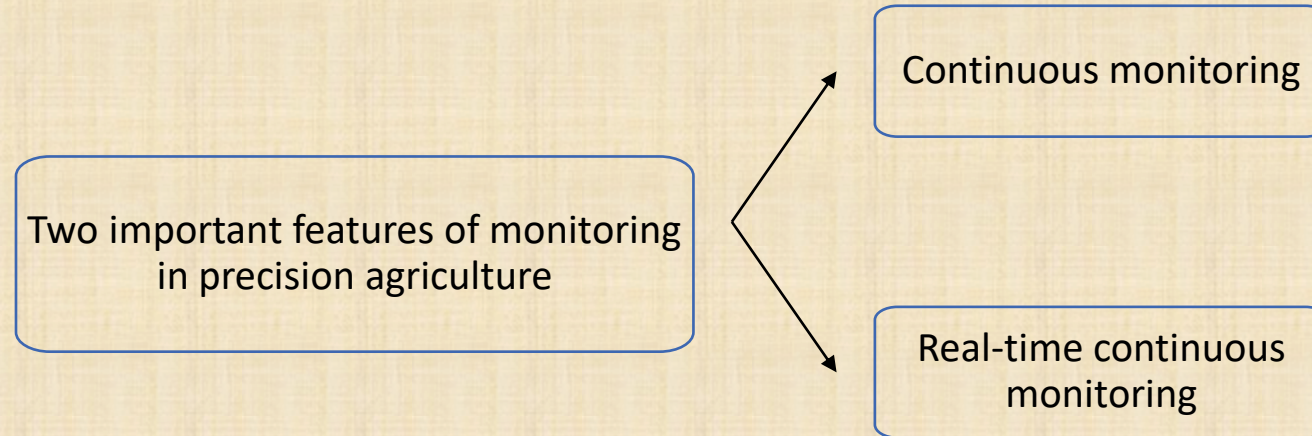


Precision agriculture in fruit and olive production



Fruit monitoring and outcomes

- Monitoring is systematic approach of supervision of activity along with regular collection and analyzing of data.



Several outcomes of fruit monitoring	Fruit load determination
	Fruit size estimation
	Water status detection (Precision irrigation)
	Accurate detection of fruit maturation
	Optimizing harvesting time
	Pest and disease detection

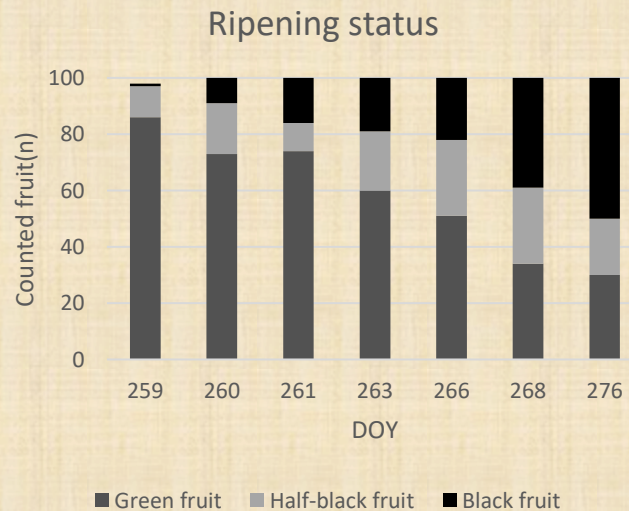
proximal sensor , 1- rGB camera

- Camera

Custom video camera(Raspberry pi Foundation, Cambridge, UK)
5Mpix
RGB
S-mount camera lens
mini-CSI port
IP65 enclosures
powered by a 10W solar panel



The images from the camera were labeled using Labelbox platform (Labelbox Inc., San Francisco, CA, USA).



(Khosravi et al., 2021).

proximal sensor , 2- Extensimeter

- Extensimeter (synonym of fruit gauge) is plant-based sensor which measure fruit diameter. In most cases, a sensor, supported by a frame, is placed in contact with the epidermis of the growing fruit.

Provide accurate information on fruit growth

Response of the plant to the surrounding conditions

Integrating the soil and atmospheric water status

Reliable tool for making decision for management

- The most adopted sensors for extensimeters are
- *) Strain gauges
- *) Linear variable differential transducers (LVDTs)

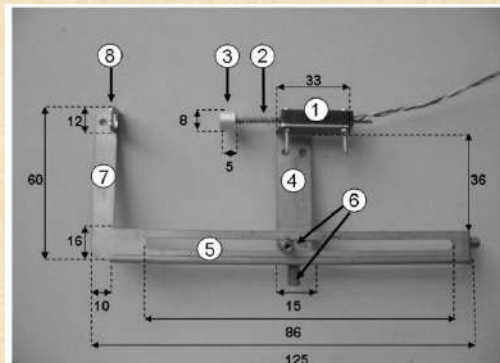


Fig. 2. Photograph of the gauge used for continuous measurement of fruit diameter. Numbers in white circles indicate the gauge components: (1) sensor, (2) sensor plunger with spring, (3) contact aluminum disc; (4) vertical sliding strip supporting the sensor; (5) horizontal slide holder; (6) adjusting screws, (7) fixed vertical strip; (8) fruit stopper. Dimensions are expressed in mm.



IX International Olive Symposium

Davis, CA (United States of America)

SEPTEMBER

10-14, 2023

Organized and hosted by



Ground-Based Sensor Platforms for Continuous Monitoring of Olive Tree and Fruit: A Review

Arash Khosravi, Zahra Mohammadi, and Davide Neri.



UNIVERSITÀ
POLITECNICA
DELLE MARCHE

AGRARIA
D3A - DIPARTIMENTO DI SCIENZE
AGRARIE, ALIMENTARI E AMBIENTALI



Precision farming (PF) and continuous monitoring

PF is a farming management concept

Emphasizes the application of information technology

To collecting and using high-resolution data

For on-time agricultural practices

Data collection (Monitoring)

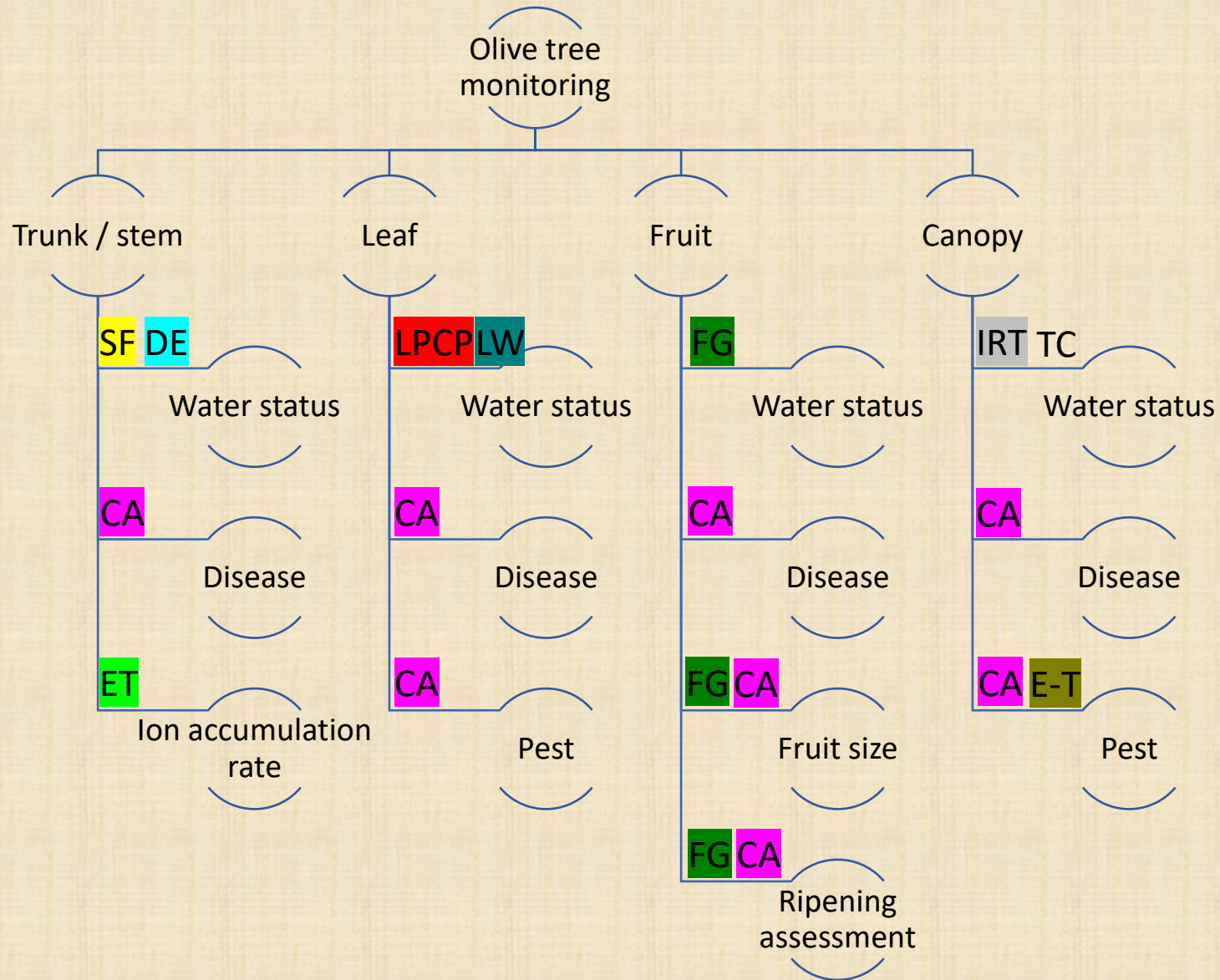
Range from seasonal period up to minute intervals

Soil, Plant, Environment

Satellite, Unmanned aerial systems, (Autonomous) tractors, Cranes or sliders on frame installation, stationary loggers

The aim of continuous monitoring in the olive orchard is to obtain orchard properties for real-time optimization of orchard performance.

Continuous monitoring (outcomes and sensors)



Sensor type
Sap Flow (SF)
Electrochemical transistor (ET)
Dendrometer (DE)
Camera-RGB multi and hyperspectral- (CA)
Leaf patch clamp pressure (LPCP)
Leaf water meter (LW)
Fruit gauge (FG)
E-trap (E-T)
Infrared temperature (IRT)
Thermal camera (TC)

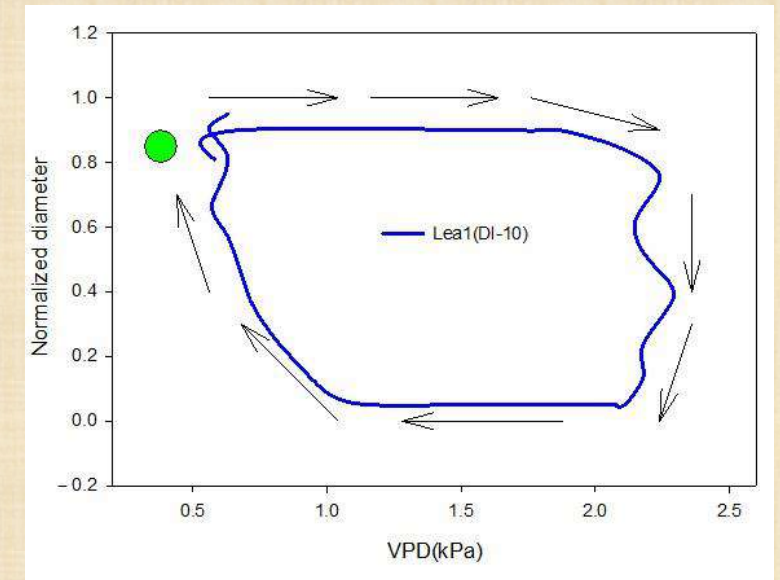
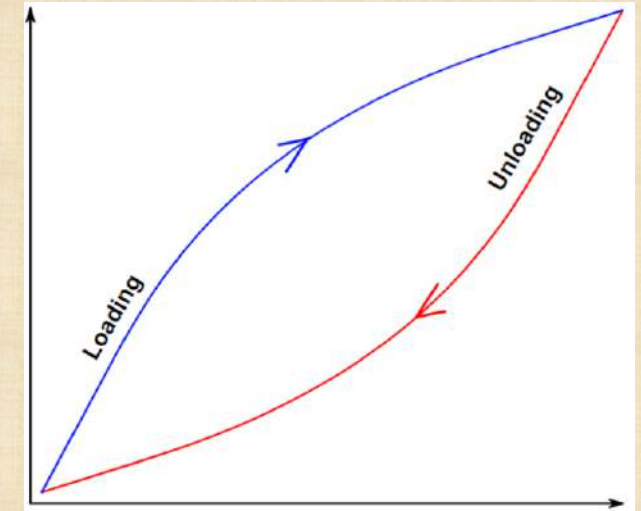
What is hysteresis

Hysteresis is a non-linear loop-like behavior that does not show affine similarity with respect to time.

It is a phase angle difference between input and output time series

We employed concept of hysteresis (fruit diameter vs Vapor pressure deficit (VPD))

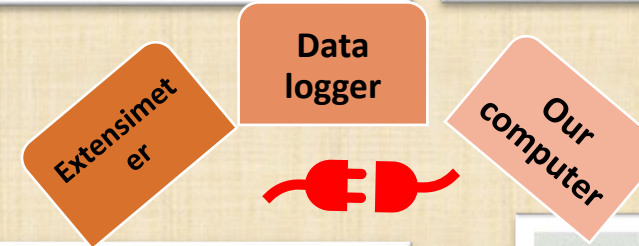
Hysteresis in plant systems has been known for a long time, however, was not used for water status detection.



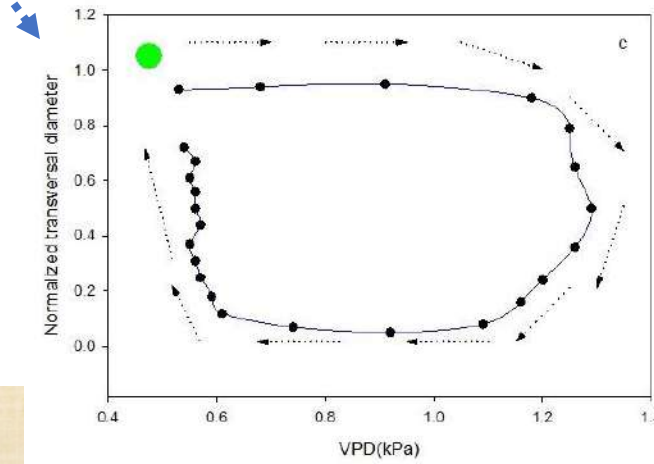
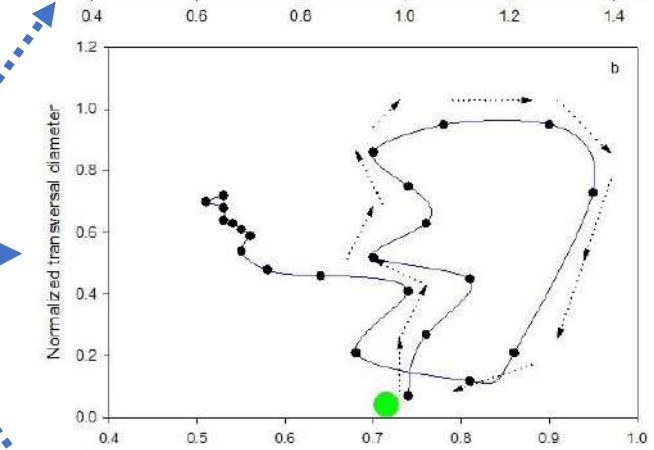
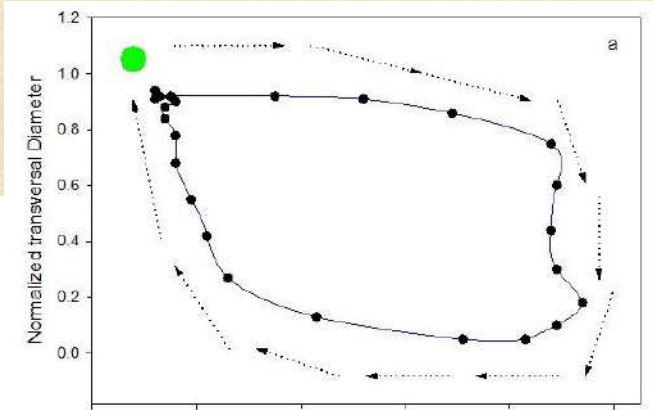
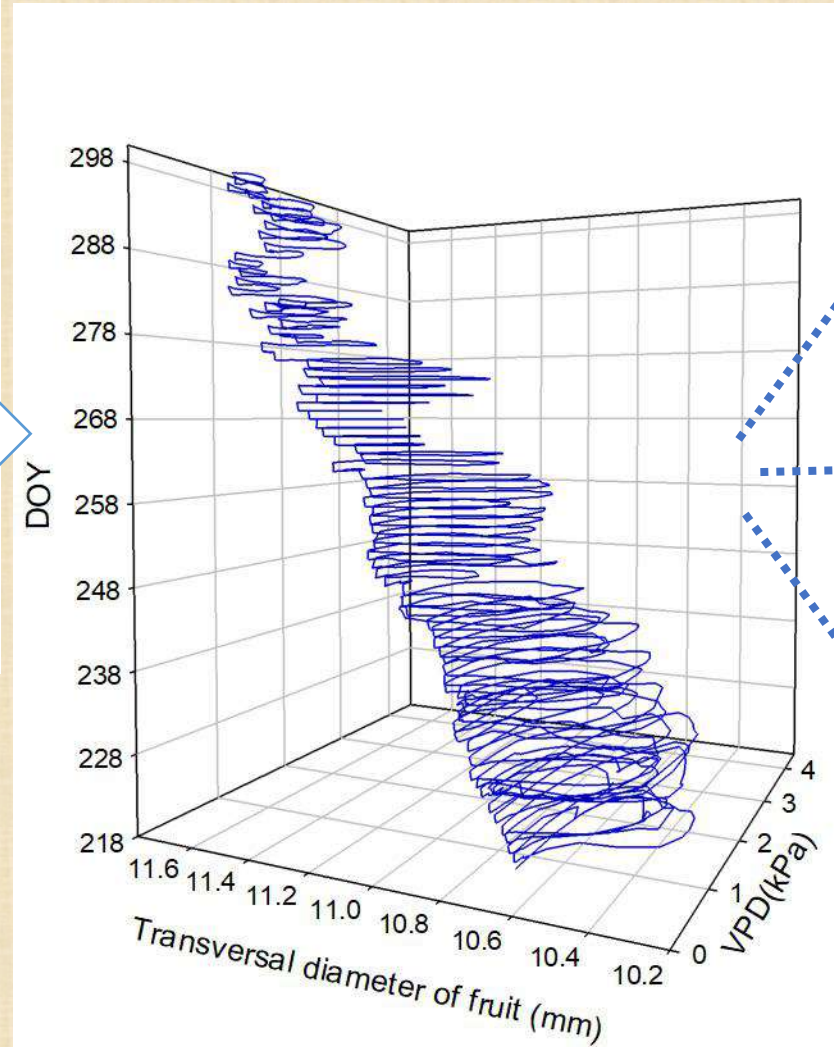
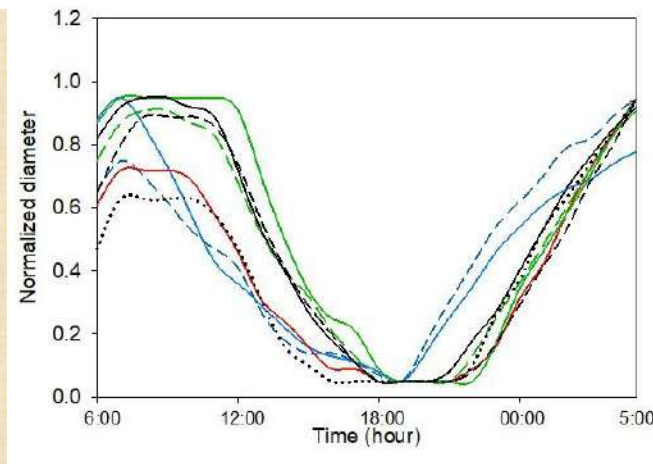
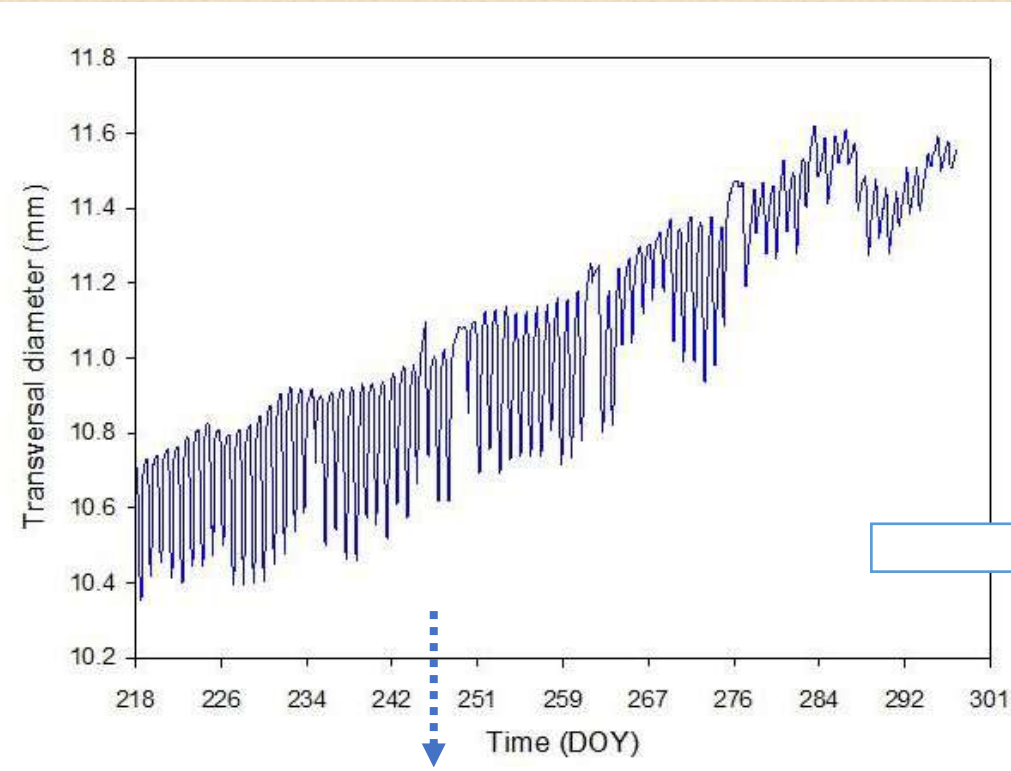
(Mayergoyz, 2003; Philips, 2003; O’Kane., 2005; Zhang et al., 2014; Bai et al., 2017; Khosravi et al., 2021, 2022)

Continuous monitoring of olive fruit growth by extensimeter

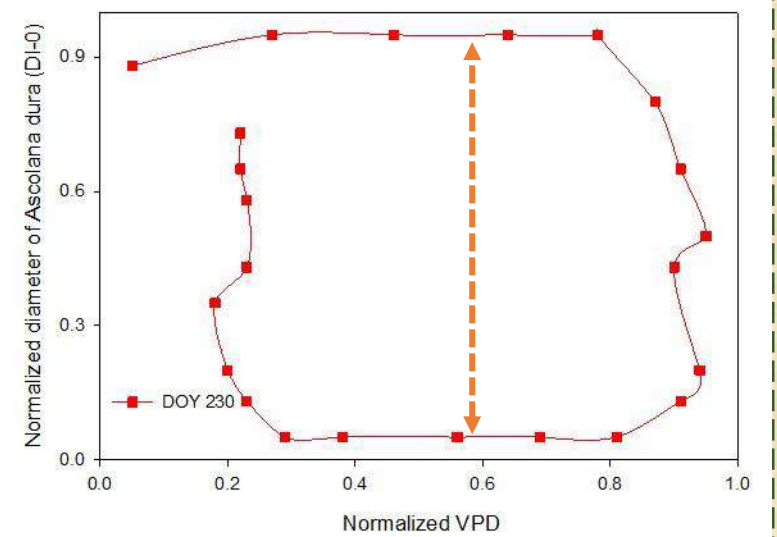
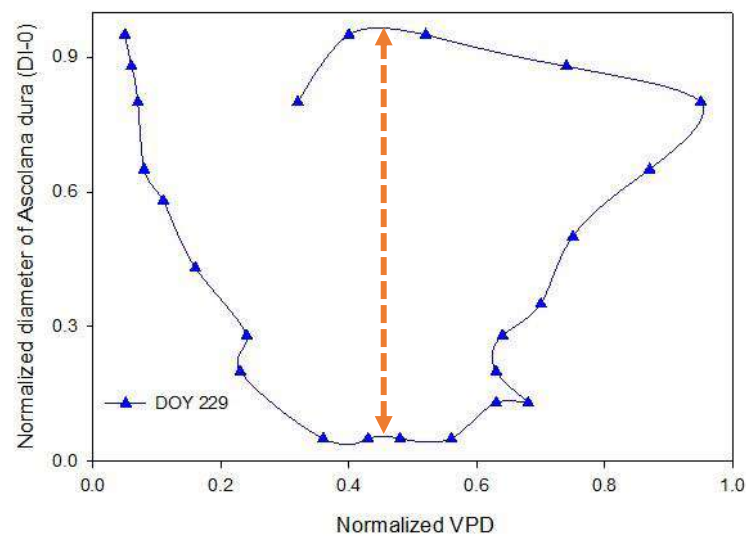
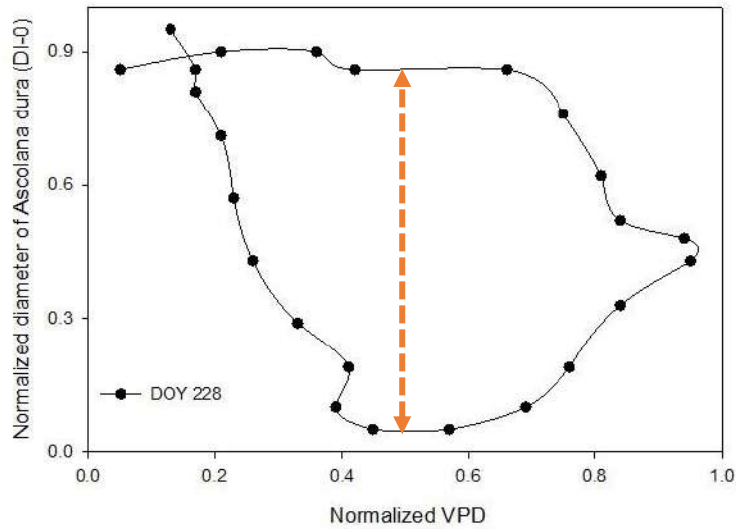
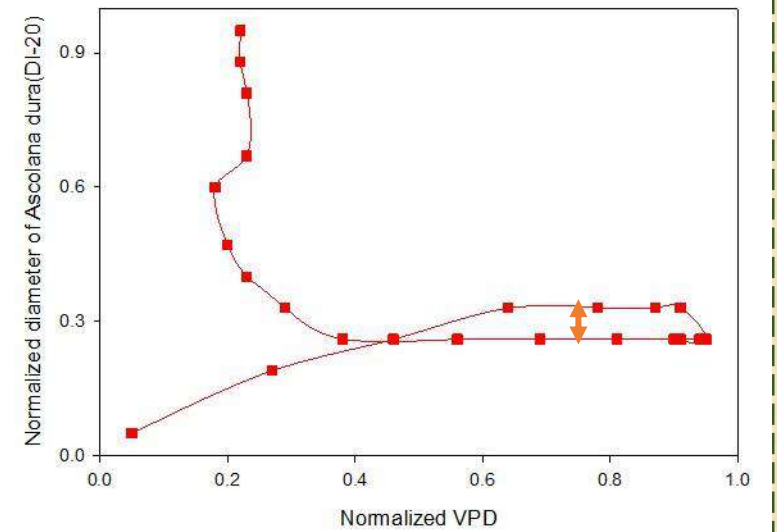
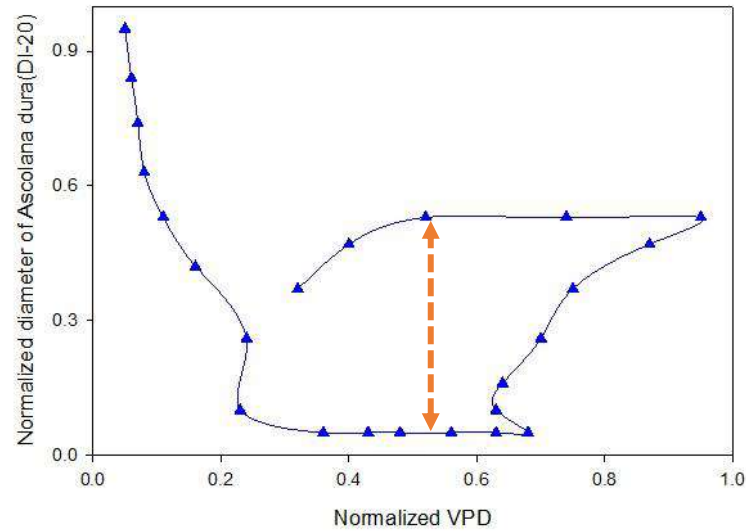
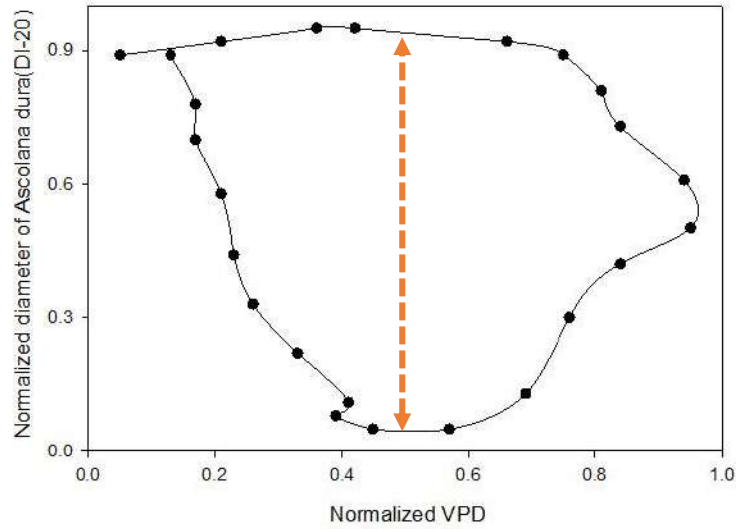
Cultivar	Piantone di Falerone, Lea, Ascolana dura, Arbequina
Tree age	9
Orchard	Highly intensive (4x2)
	Aguliano, Ancona, Italy
Extensimeter (Fruit gauge)	Strain gauge & LVDT
	DEX20, Winet
Year	2021
Irrigation treatment	Without (DI-0), DI-10 and DI-20
Growth phase	III



Hysteresis curve of fruit diameter versus VPD



Water status index by hysteresis



Day before Irrigation

Irrigation day

Day after Irrigation

Hysteresis magnitude changed employed as an index

L'analisi vibrazionale: un efficace strumento per ottimizzare la raccolta meccanizzata delle olive

Dott. Alessandro Annessi, Prof. Milena Martarelli, Prof. Paolo Castellini

D3A – Dipartimento di Scienze Agrarie, Alimentari e Ambientali
DIISM - Dipartimento di Ingegneria Industriale e Scienze Matematiche



Unione Europea / Regione Marche
PROGRAMMA DI SVILUPPO RURALE 2014-2022

FONDO EUROPEO AGRICOLA PER LO SVILUPPO RURALE: L'EUROPA INVESTE NELLE ZONE RURALI



REGIONE
MARCHE 

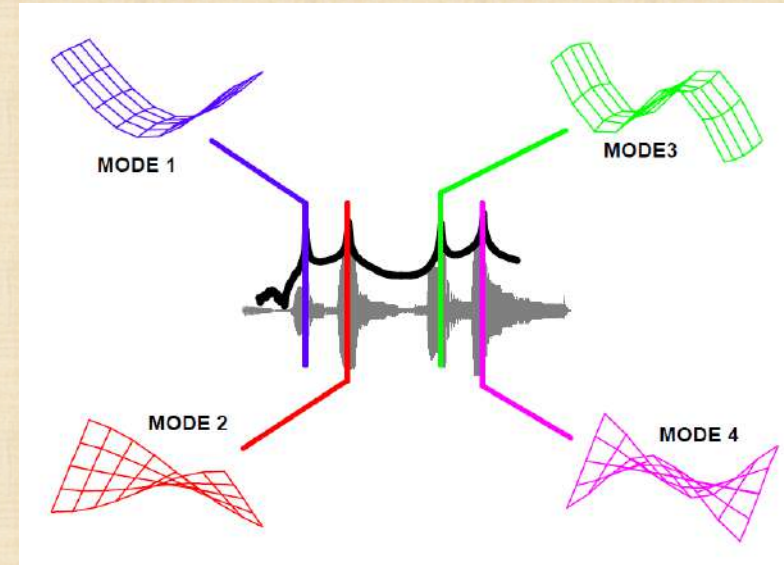
Introduzione

Analisi vibrazionale

- Caratterizzazione dinamica dell'oliva
- Caratterizzazione dinamica dell'albero di olivo



- Ottimizzare il sistema di raccolta automatizzato delle olive tramite scuotimento meccanico (con particolare focus sulla varietà Ascolana tenera).
- Migliorare il macchinario nell'ottica dell'agricoltura di precisione.



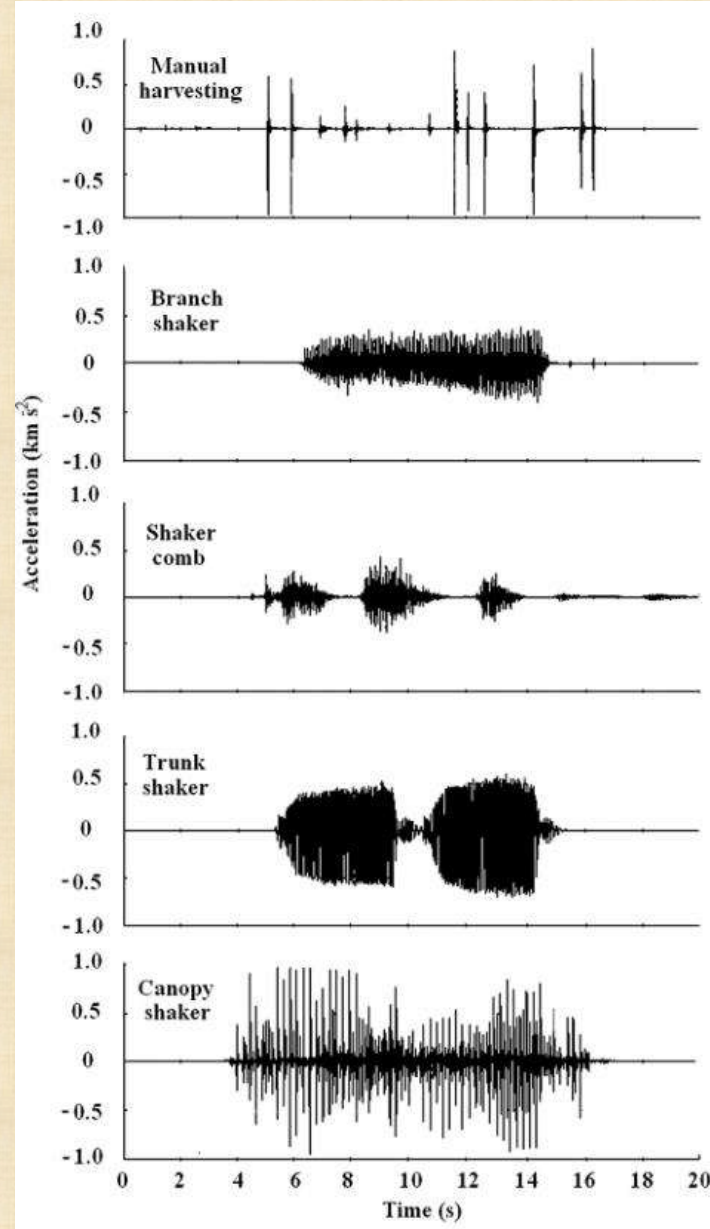
Tecniche per la raccolta delle olive

- Necessità di aumentare l'efficienza del sistema di raccolta e la qualità del prodotto, al fine di minimizzare i costi.
- Il costo della raccolta può essere maggiore del 40% del costo di produzione.
- Tecniche di raccolta:
 - raccolta manuale (15-25 kg h⁻¹)
 - abbacchiatore (30-50 kg h⁻¹)
 - scuotitore portatile del ramo
 - scuotitore del tronco (0.12-0.2 ha h⁻¹)
 - scuotitore della chioma (0.36 ha h⁻¹)



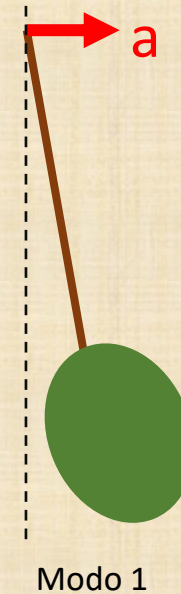
Tecniche per la raccolta delle olive

Sistema di raccolta	Frequenza (Hz)	Accelerazione media totale (ms^{-2})
Raccolta manuale	-	676±449
Scuotitore portatile del ramo	16.6±1.3	193.2±53.9
Abbacchiatore portatile	13.5±0.3	71.3±35.1
Scuotitore del tronco	24.2±1.0	343.1±139.0
Scuotitore della chioma	4.6±0.2	110.2±51.0

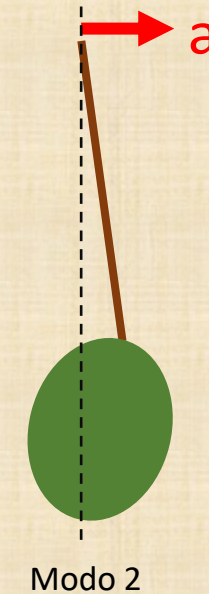


Caratterizzazione dinamica dell'oliva

- Il distacco dell'oliva è un fenomeno complesso in cui giocano forze d'inerzia, di trazione, flessione e torsione.
- Fattori rilevanti sono la fatica causata da cicli di stress e il danno cumulativo.
- Il distacco del frutto avviene grazie all'applicazione di un **accelerazione (a)** con determinata **ampiezza** ad una determinata **frequenza**. La combinazione dei due fattori è cruciale per ottenere il distacco senza rovinare il frutto, impiegando un tempo ragionevole.
- Durante lo scuotimento, i modi di vibrare del sistema peduncolo-oliva sono principalmente 2:
 - peduncolo e oliva si muovono in fase
 - peduncolo e oliva si muovono in controfase
- Il primo avviene ad una frequenza più bassa (intorno ai 25 Hz) del secondo (intorno ai 150 Hz)



Rotazione e flessione dello stelo

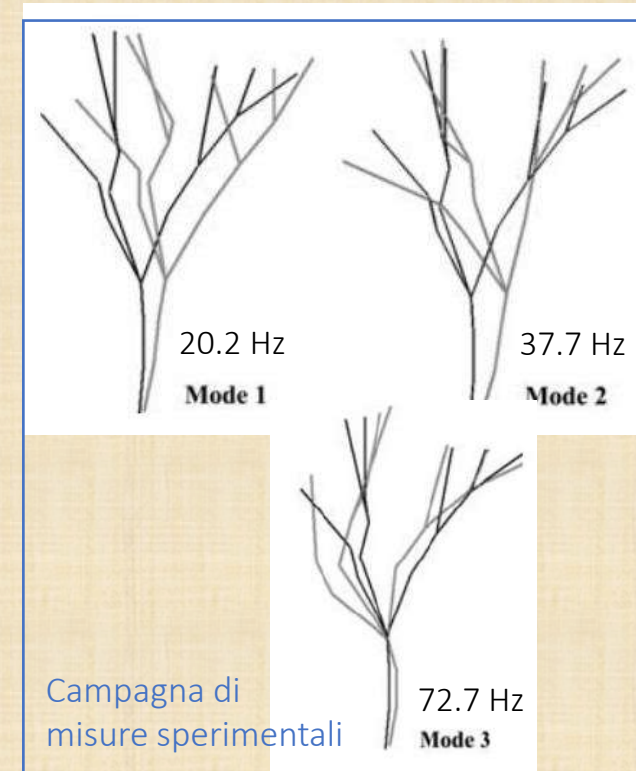


Flessione dello stelo e torsione attorno al rametto

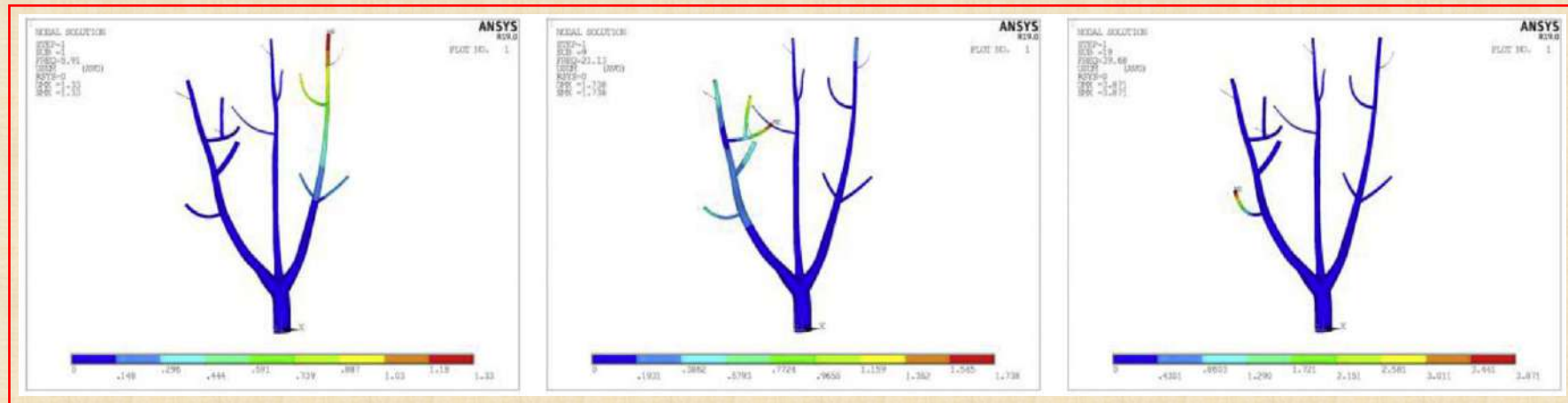


Caratterizzazione dinamica dell'olivo

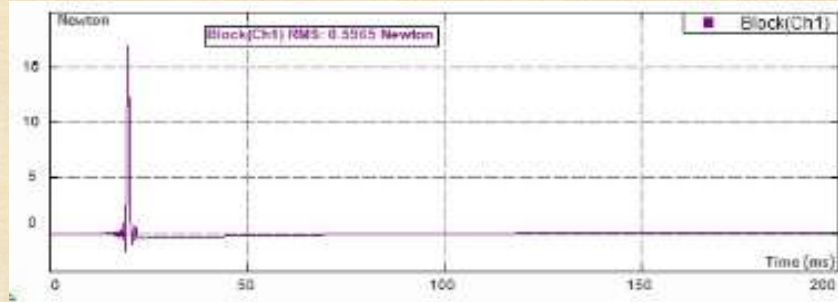
- Studiare la dinamica dell'olivo permette di conoscere la sua risposta quando sottoposto a eccitazioni note (di tipo impulsivo o oscillante)
- Valutare le frequenze di risonanza e i modi di vibrare dell'albero permette di progettare il sistema di scuotimento in modo intelligente
- I modi di vibrare di un olivo possono essere raggruppati in 3 classi in base alla deformazione:
 1. Modi che inducono vibrazioni del tronco (bassa frequenza)
 2. Modi interessano le branche principali
 3. Modi che interessano le branche secondarie (alta frequenza)



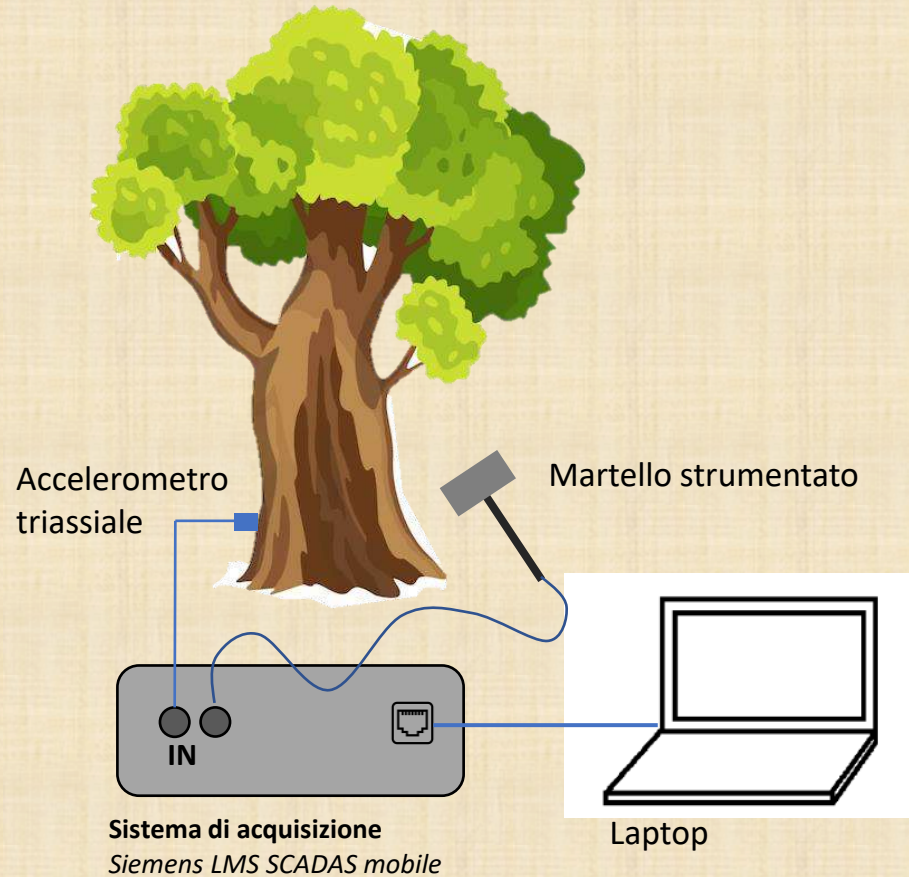
Simulazione numerica



Caratterizzazione dinamica dell'olivo

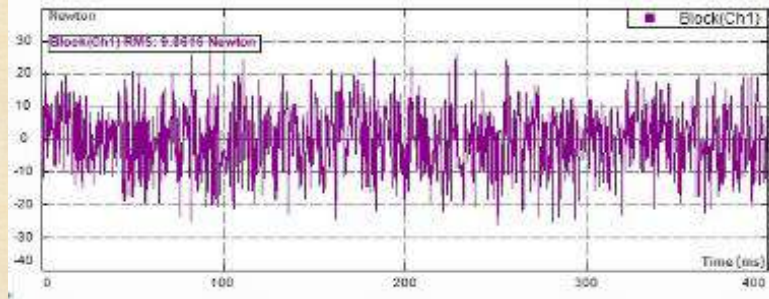


Accelerometro
triassiale

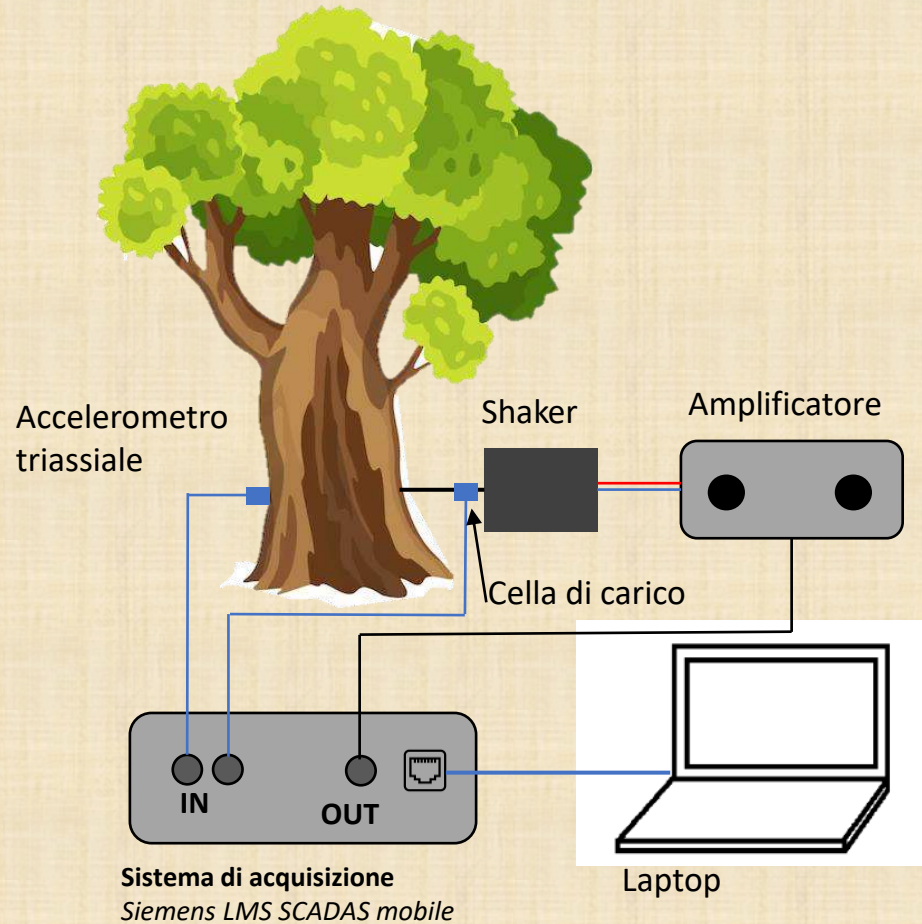


Martello
strumentato

Caratterizzazione dinamica dell'olivo

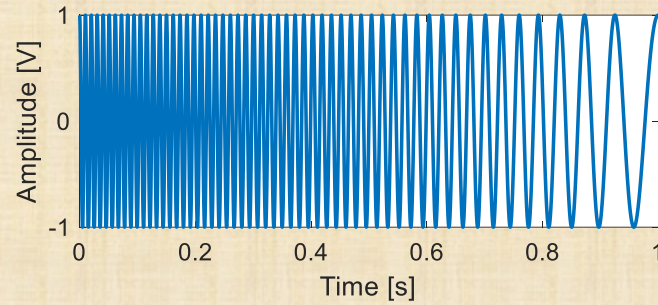


Accelerometro
triassiale



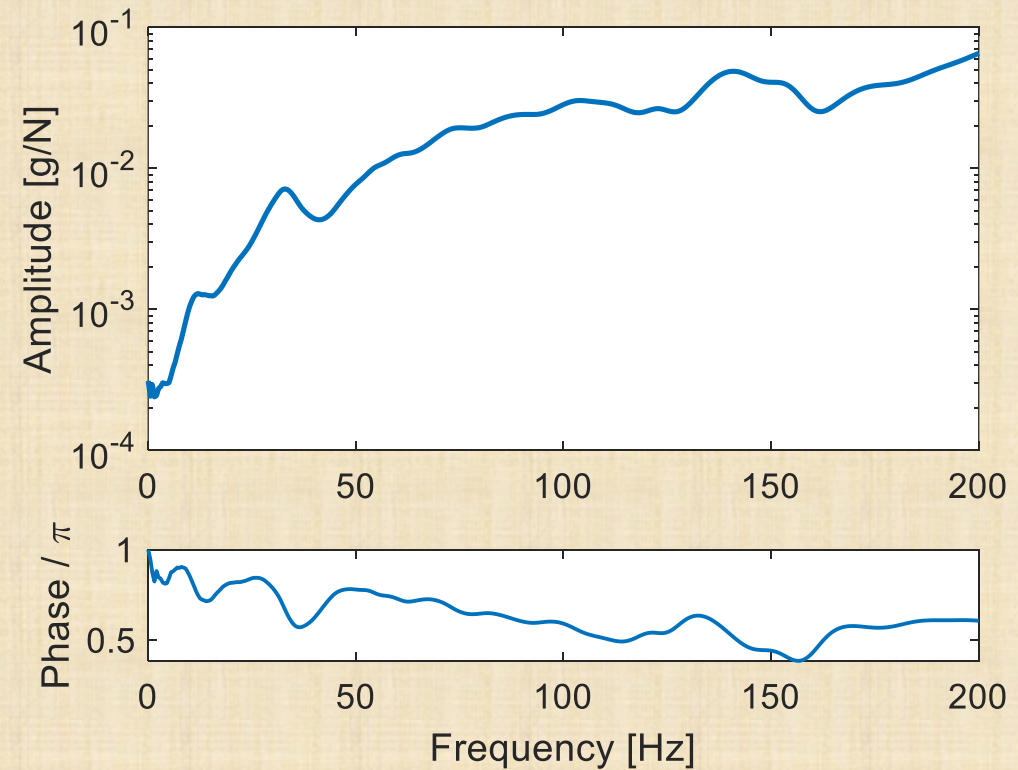
Shaker
elettrodinamico

Caratterizzazione dinamica dell'olivo



Funzione di Risposta in Frequenza (FRF)

$$FRF = \frac{Risposta [m/s^2]}{Eccitazione [N]}$$



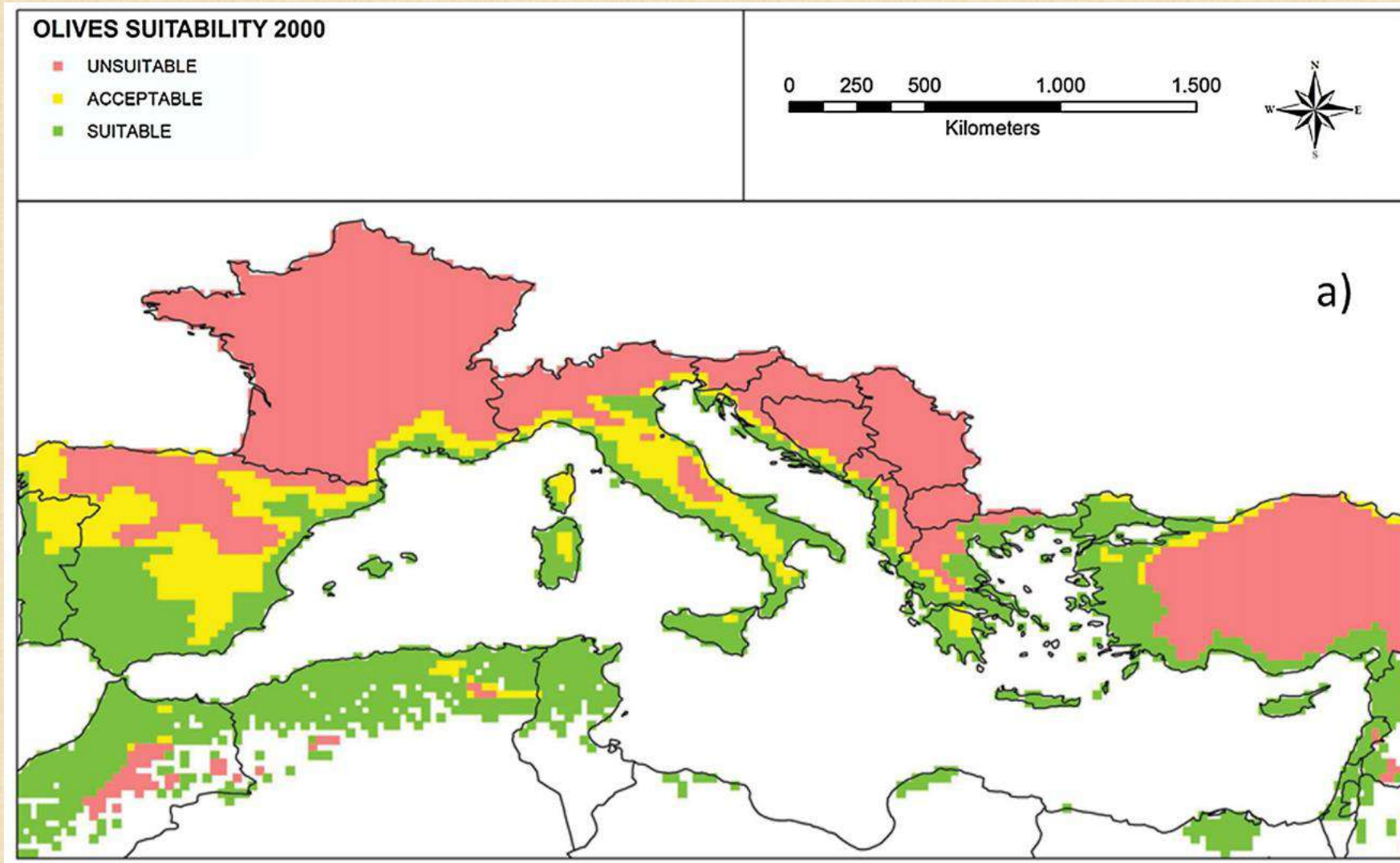
L'importanza della potatura

- Una potatura intelligente può aumentare in modo significativo la trasmissione delle vibrazioni alle branche finali
- La trasmissione delle vibrazioni è più efficiente nelle branche interne, più verticali e in linea con il tronco
- Una maggiore trasmissione porta ad un aumento dell'efficienza nella raccolta
- L'accelerazione che arriva al ramo terziario aumenta di un ordine di grandezza (da $0.1-1.0 \text{ m s}^{-2}$ a $1.0-10 \text{ m s}^{-2}$) dopo la potatura
- L'energia fornita dallo shaker viene dissipata a causa di:
 - Complessa geometria dovuta alle ramificazioni
 - Presenza di succhioni
 - Attrito dovuto alle foglie
 - Attrito aerodinamico della chioma
 - Perdite interne al legno
 - Perdite al suolo attraverso l'apparato radicale

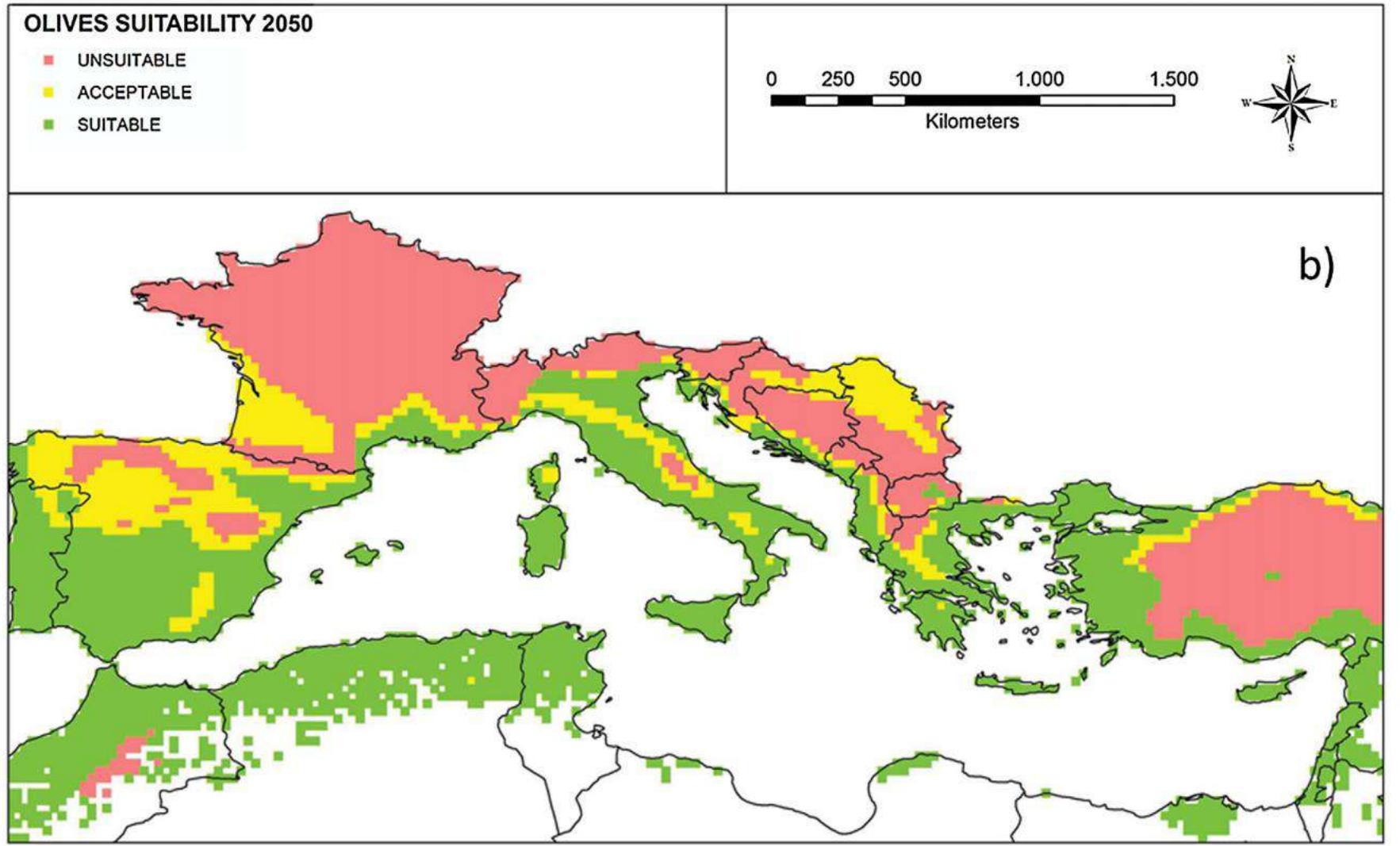


Global warming and climate change

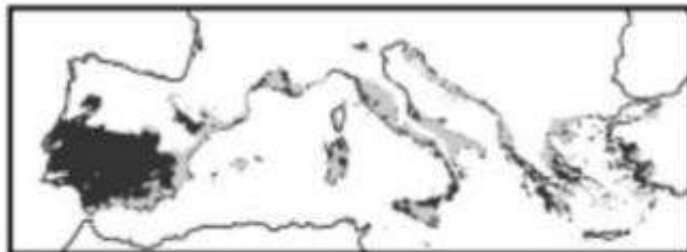
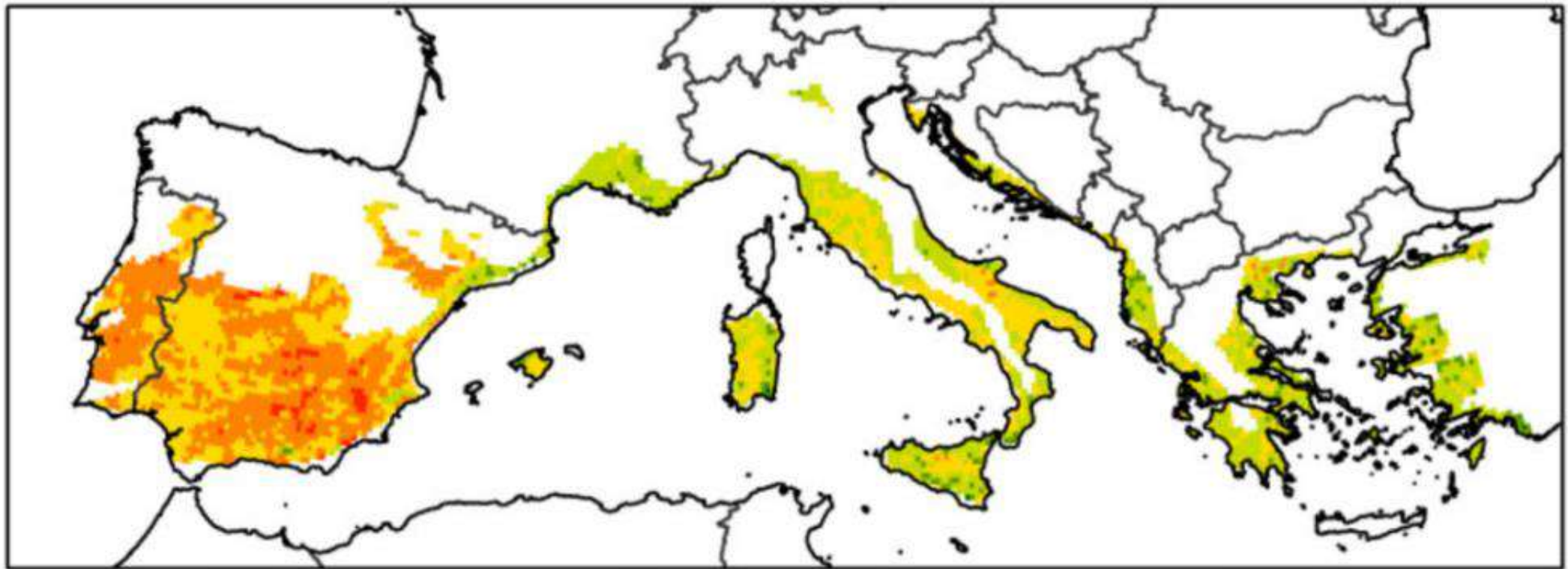
- It can change some factors that influences the olive flowering (Gabaldón-Leal et al., 2017; Lorite et al., 2018);
- It can increase the areas suitable for cultivation in Europe (Tanasijevic et al., 2014);
- It could change the yield of olive in Mediterranean area (Fraga et al., 2019; Cabezas et al., 2020);



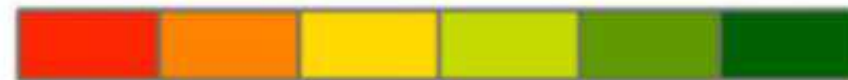
Tanasijevic et al., 2014



Tanasijevic et al., 2014

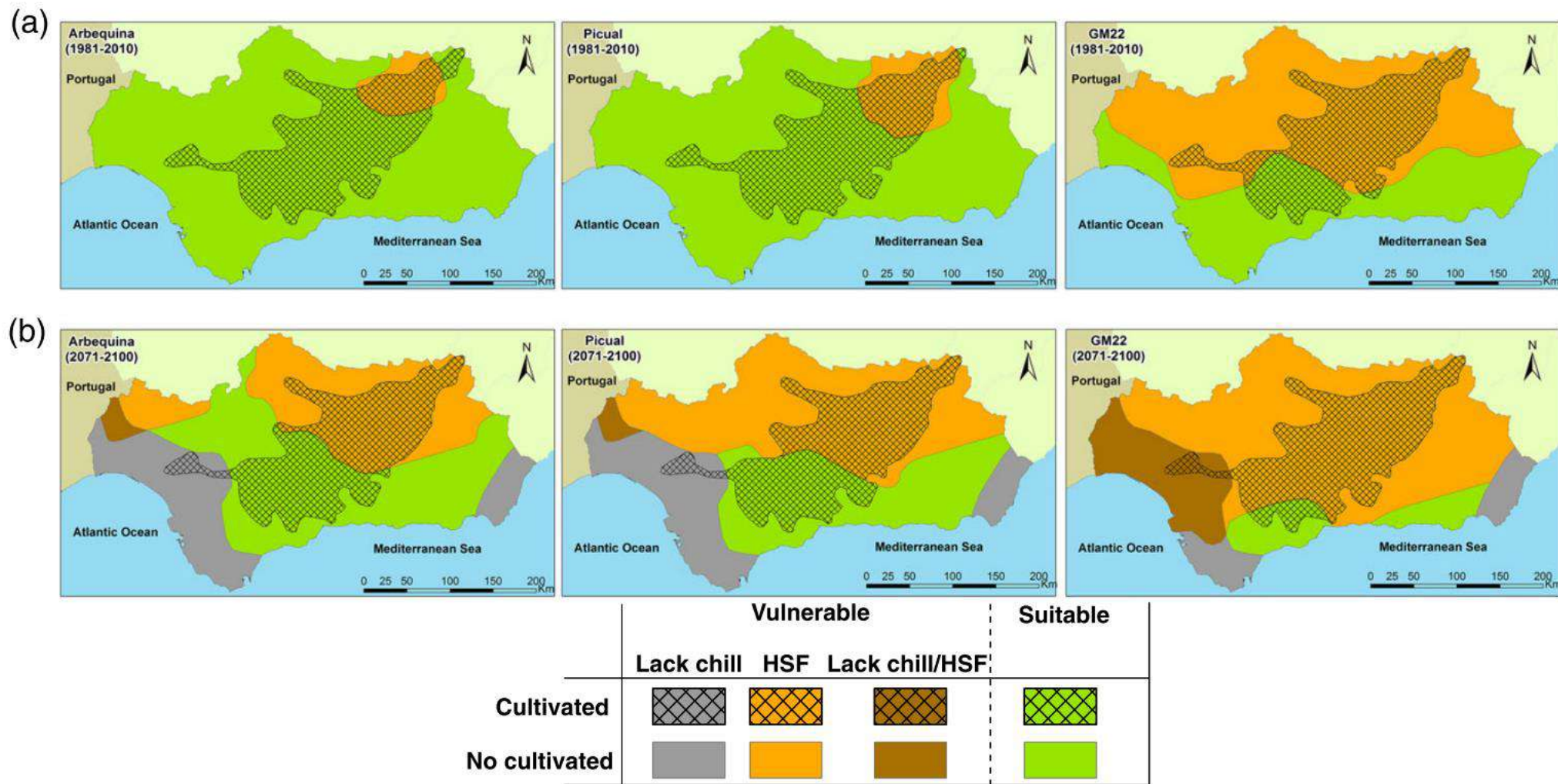


Yield RCP4.5 difference (%)

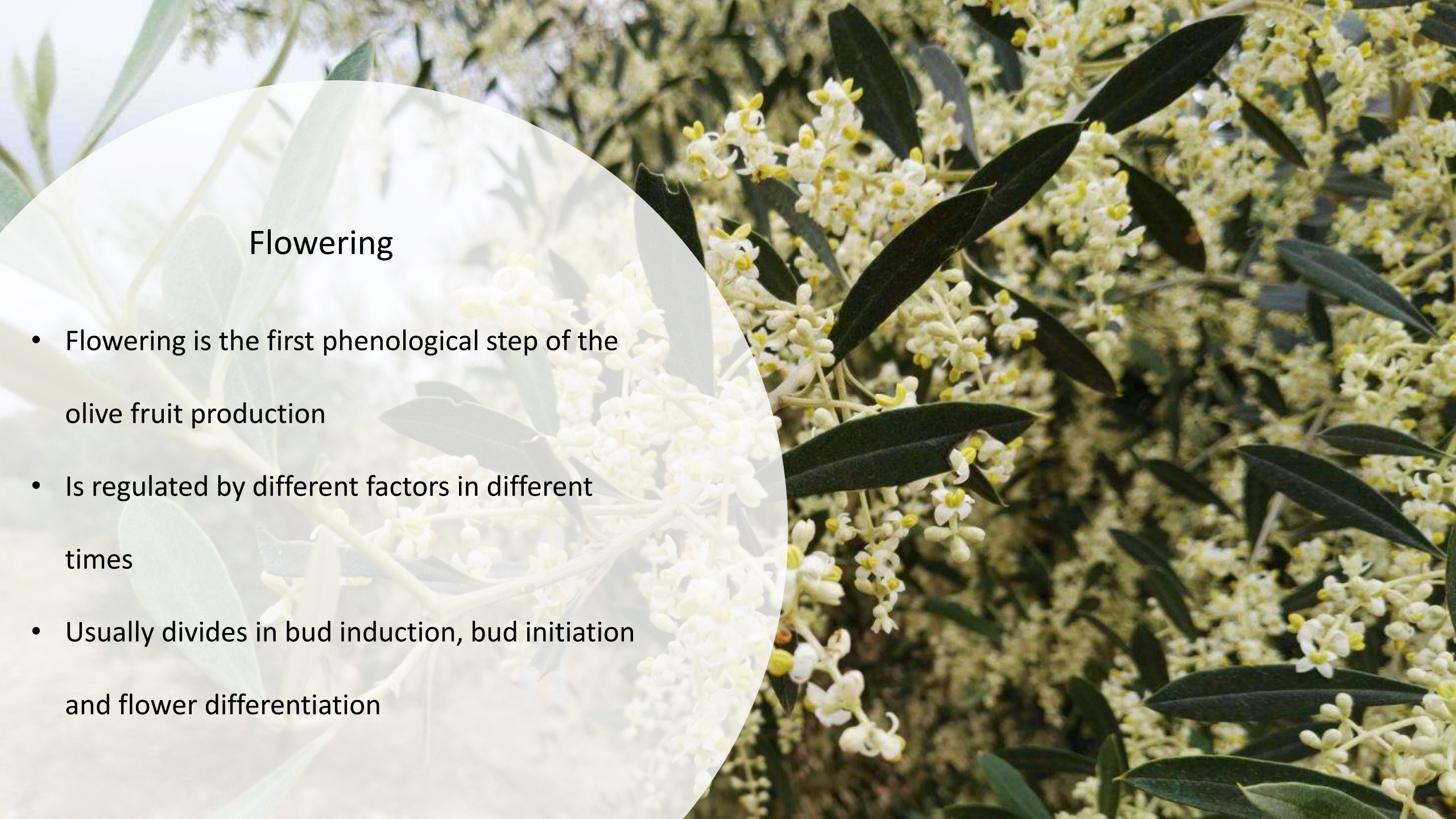


-45 -30 -15 15 30 45

Expected differences in yield per hectare between the future (2041-2070) and the “present” (1989-2005) (Fraga et al., 2019)



heat stress during flowering (HSF), threshold 35° C
 TU mean= 467 U (7.3° C as optimal temperature)
 Gabaldón-Leal et al., 2017

A close-up photograph of olive branches in bloom. The branches are covered with small, delicate white flowers with yellow centers. The leaves are dark green and elongated. The background is slightly blurred, showing more of the same plant.

Flowering

- Flowering is the first phenological step of the olive fruit production
- Is regulated by different factors in different times
- Usually divides in bud induction, bud initiation and flower differentiation

BUDS

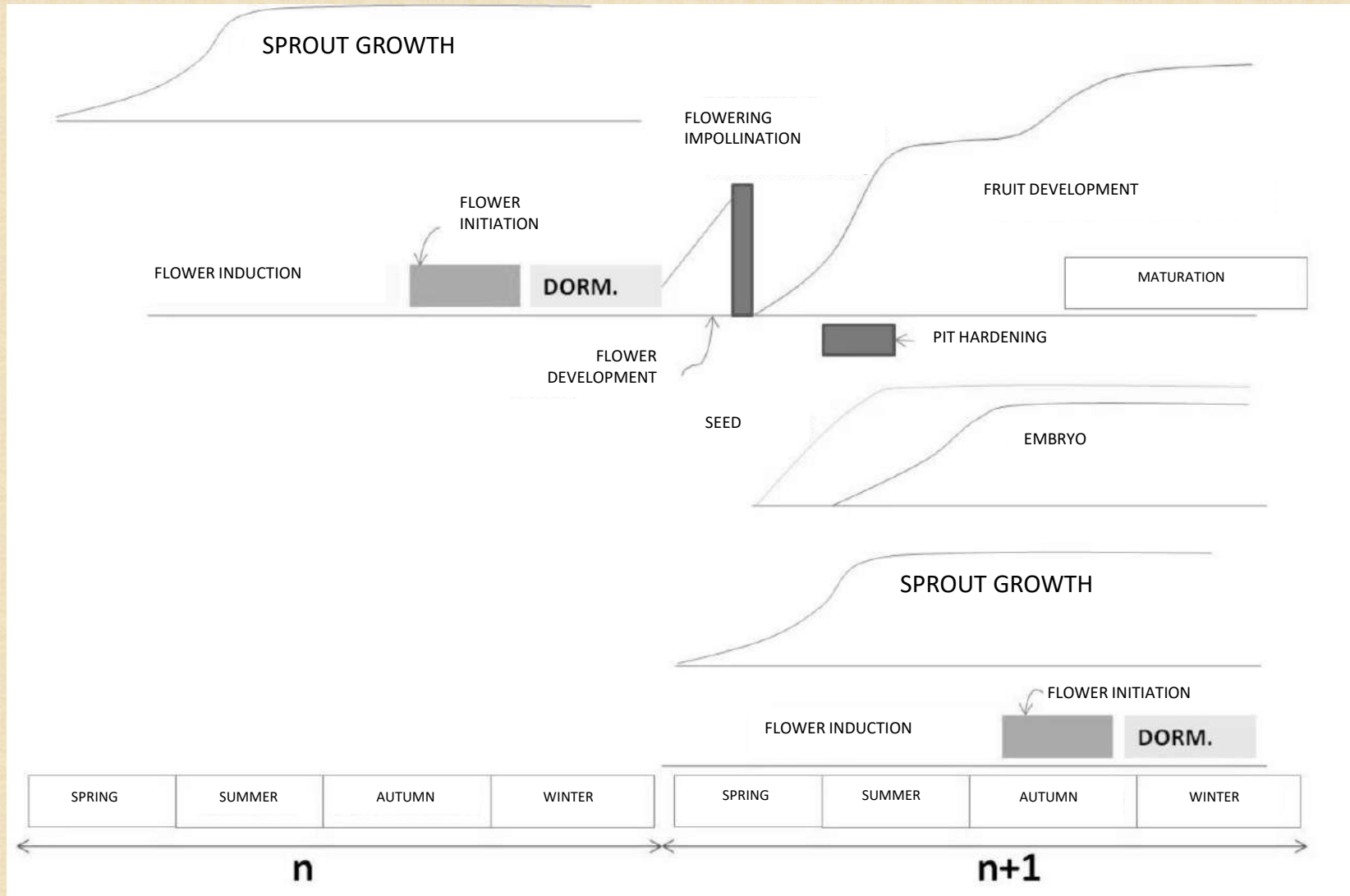
VEGETATIVE



REPRODUCTIVE



SEASONAL TREND OF THE PHASES



Gucci & Cantini, 2000; rielaborated by Tarragoni, 2014)



May 28, 2021



May 31, 2021

Piantone di Mogliano, Agugliano (AN) - Italy



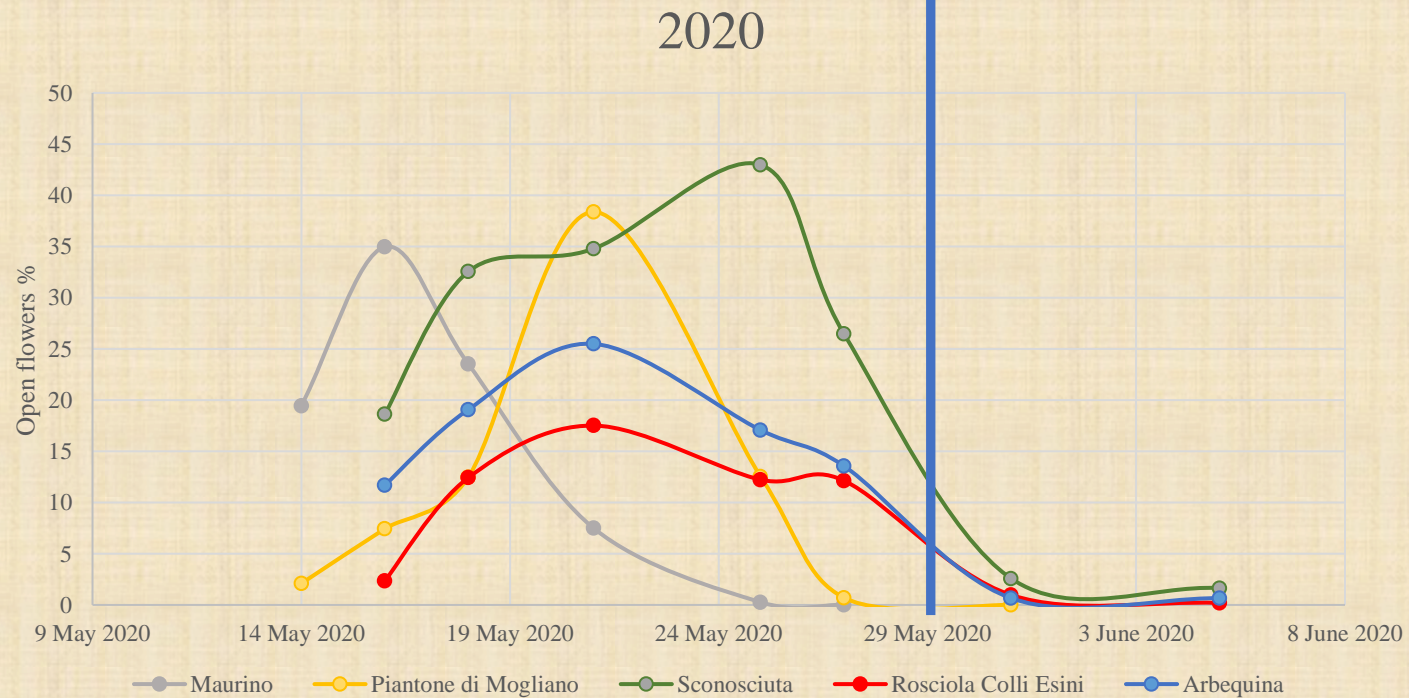
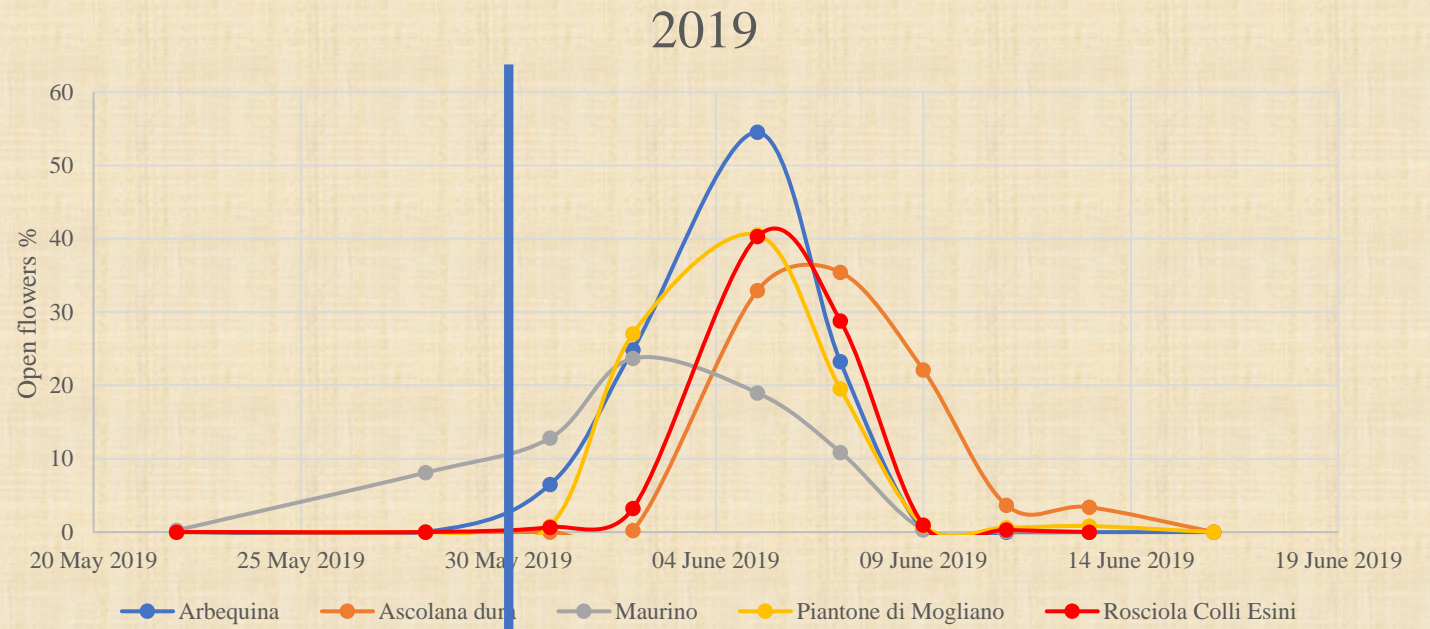
June 03, 2021



June 07, 2021



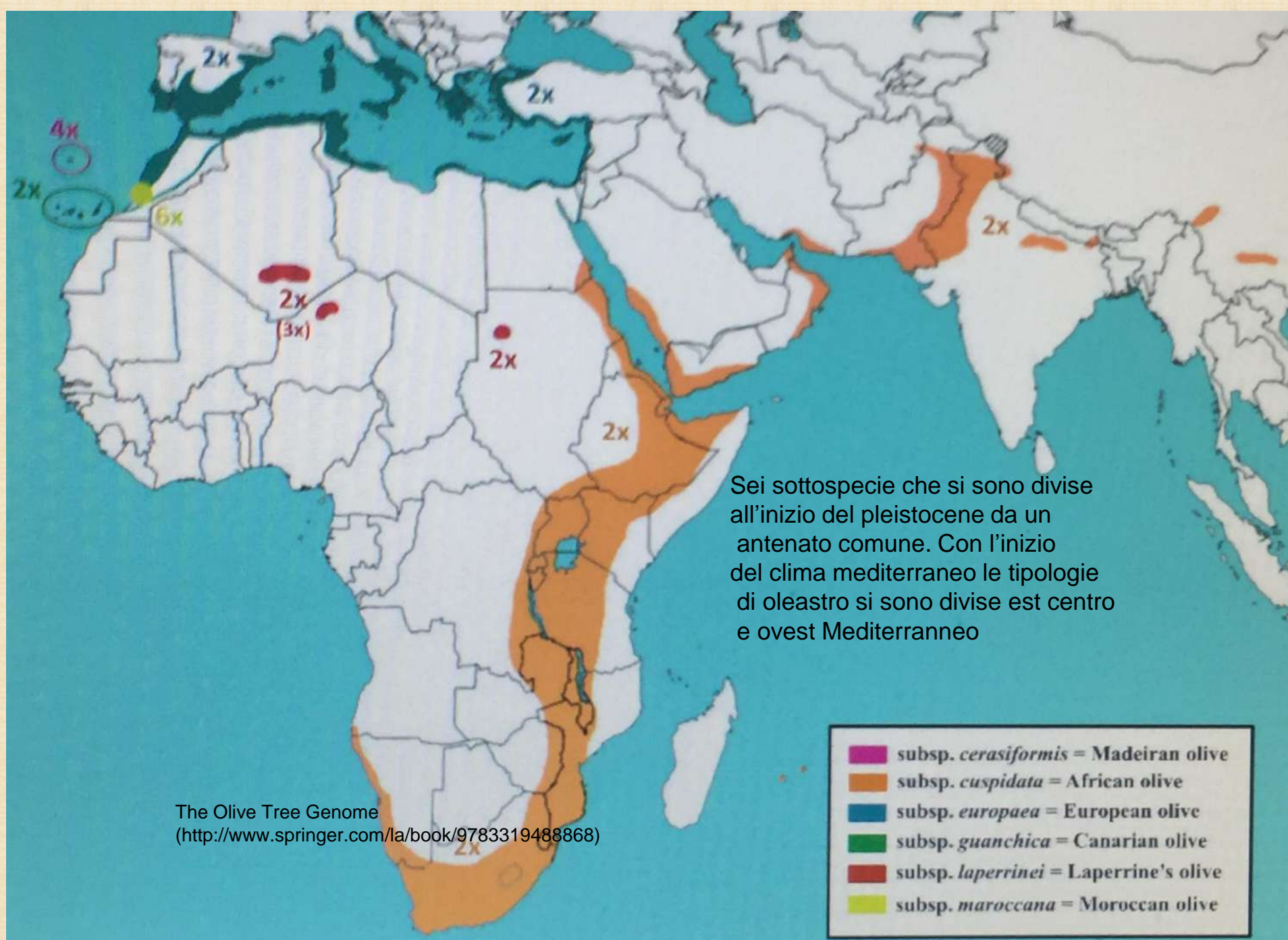
Time of flowering
 on different
 cultivars of olive
 in the Az.
 Didattico
 sperimentale «P.
 Rosati» of
 UNIVPM,
 Agugliano (AN)



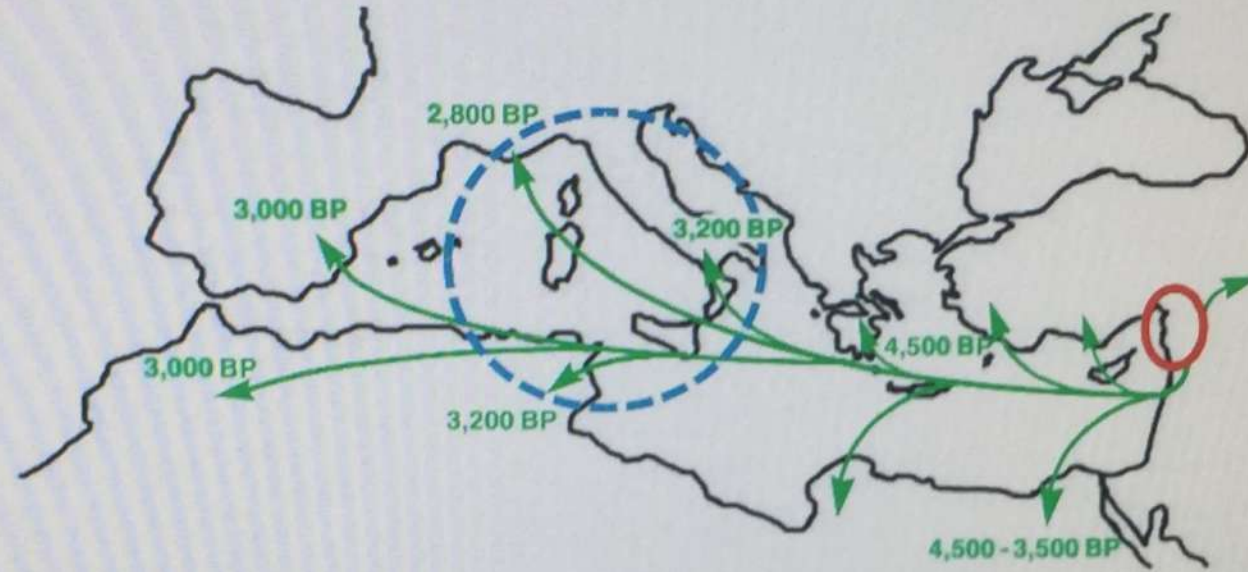
Varietà di passaggio fra olivastro e Moraiolo



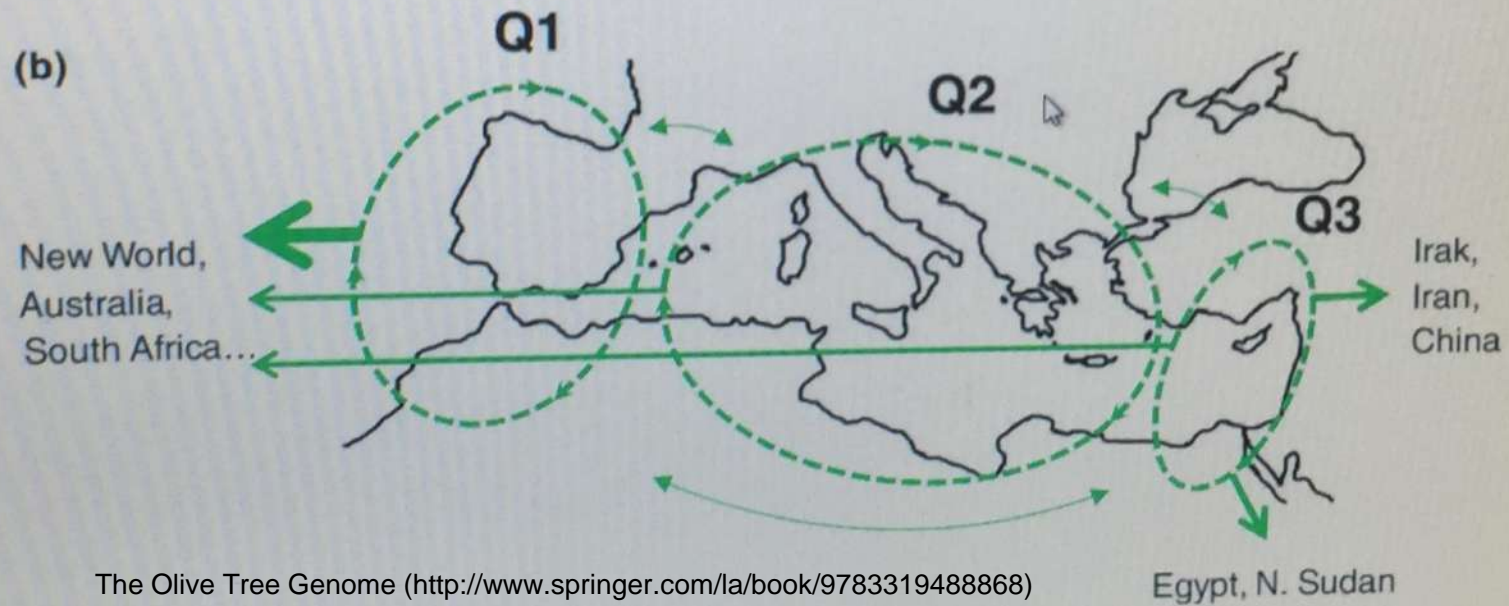
Olivo di Sant'Emiliano, Trevi - (1830 anni)



(a)



(b)



Linee plastidiali dell'olivo (E1, E2, E3)

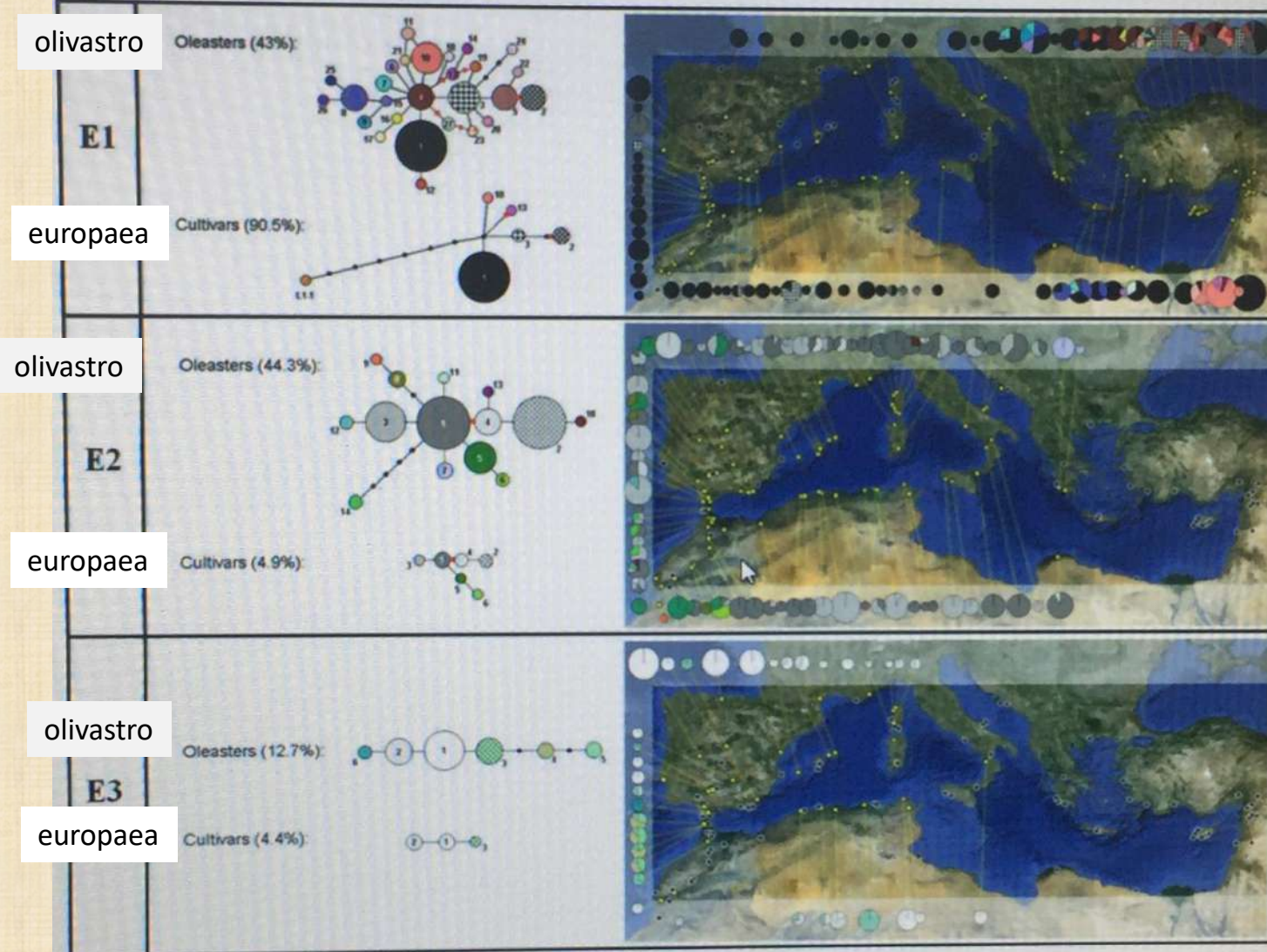


Fig. 2 Diversity of the three Mediterranean olive plastid lineages (namely E1, E2, and E3) reproduced from Besnard et al. (2013b). A total of 1797 trees (1253 oleasters and 534 cultivars) were characterized with 61 polymorphic plastid loci, especially multistate microsatel-

nodes are indicated by *small black points*. The frequency of each lineage in oleasters and cultivars is indicated in *brackets*. On the right, the geographical distribution of chlorotypes in oleaster populations is given. The size of pie charts is relative to the number of trees analyzed per

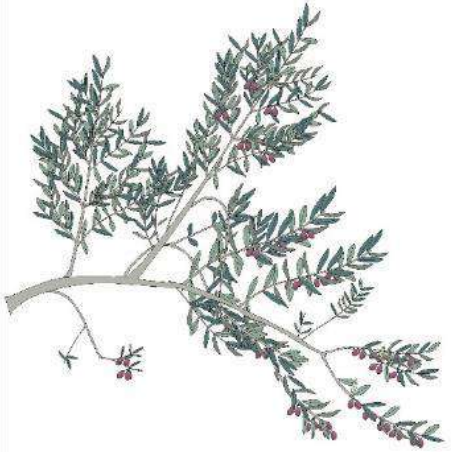




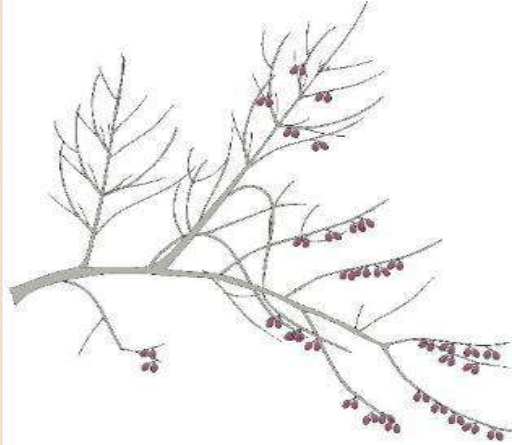
An aerial photograph showing a high-density olive grove in the foreground, with rows of olive trees extending into the distance. In the background, there is a vineyard with rows of grapevines, and further back, a hillside with a mix of green vegetation and a large area of reddish-brown soil. The lighting is bright, suggesting a sunny day.

Oliveto ad alta densità - Università Politecnica delle Marche
12 varietà: internazionali, nazionali e locali

Situazione iniziale

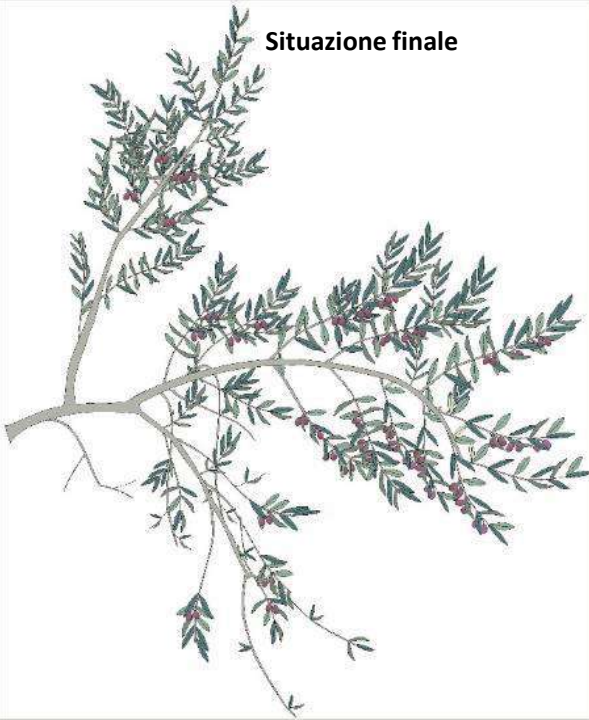


Situazione iniziale (posizione frutti)



'Leccino'

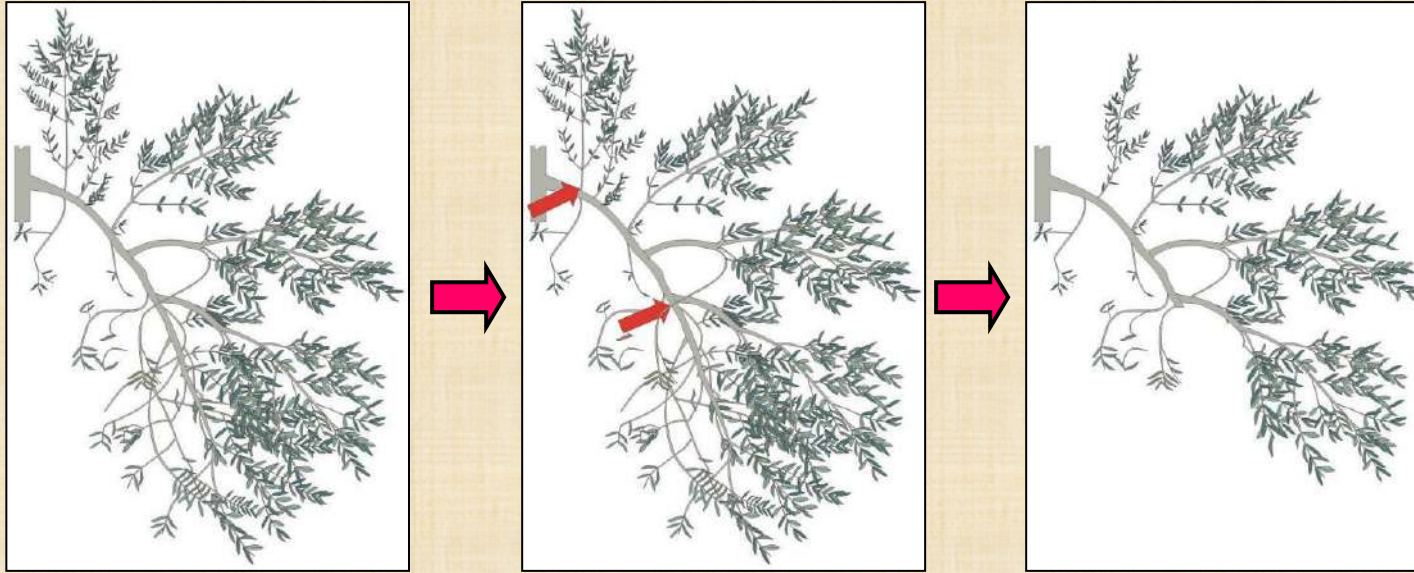
Situazione finale



E.M. Lodolini et al., 2005



Pruning of the fruiting branch









UNIVERSITÀ
POLITECNICA
DELLE MARCHE

V Convegno Nazionale dell'Olivo e dell'Olio
26-28 ottobre 2022 Alghero (SS)



APPLICAZIONE DI LASER SCANNER (LiDAR) IN OLIVICOLTURA

Davide Neri *, Veronica Giorgi , Stefano Chiappini, Mattia Balestra, Francesco Belluccini

Università Politecnica delle Marche UNIVPM, D3A

* d.neri@staff.univpm.it

Necessità di ammodernare la tecnica colturale e adattarla ai cambiamenti climatici

L'agricoltura di precisione
strumento utile per meccanizzare e
ridurre impatto ambientale

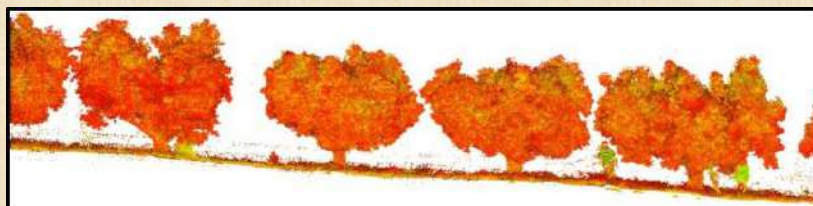


Fonte: Marinucci 1956



Fonte:
<https://olivoeolio.edagricole.it/oliveto-e-frantoio/cambiamento-climatico-ruolo-olivicoltura/>

Vista laterale e dall'alto con LiDAR di un
oliveto a Cartoceto (PU)

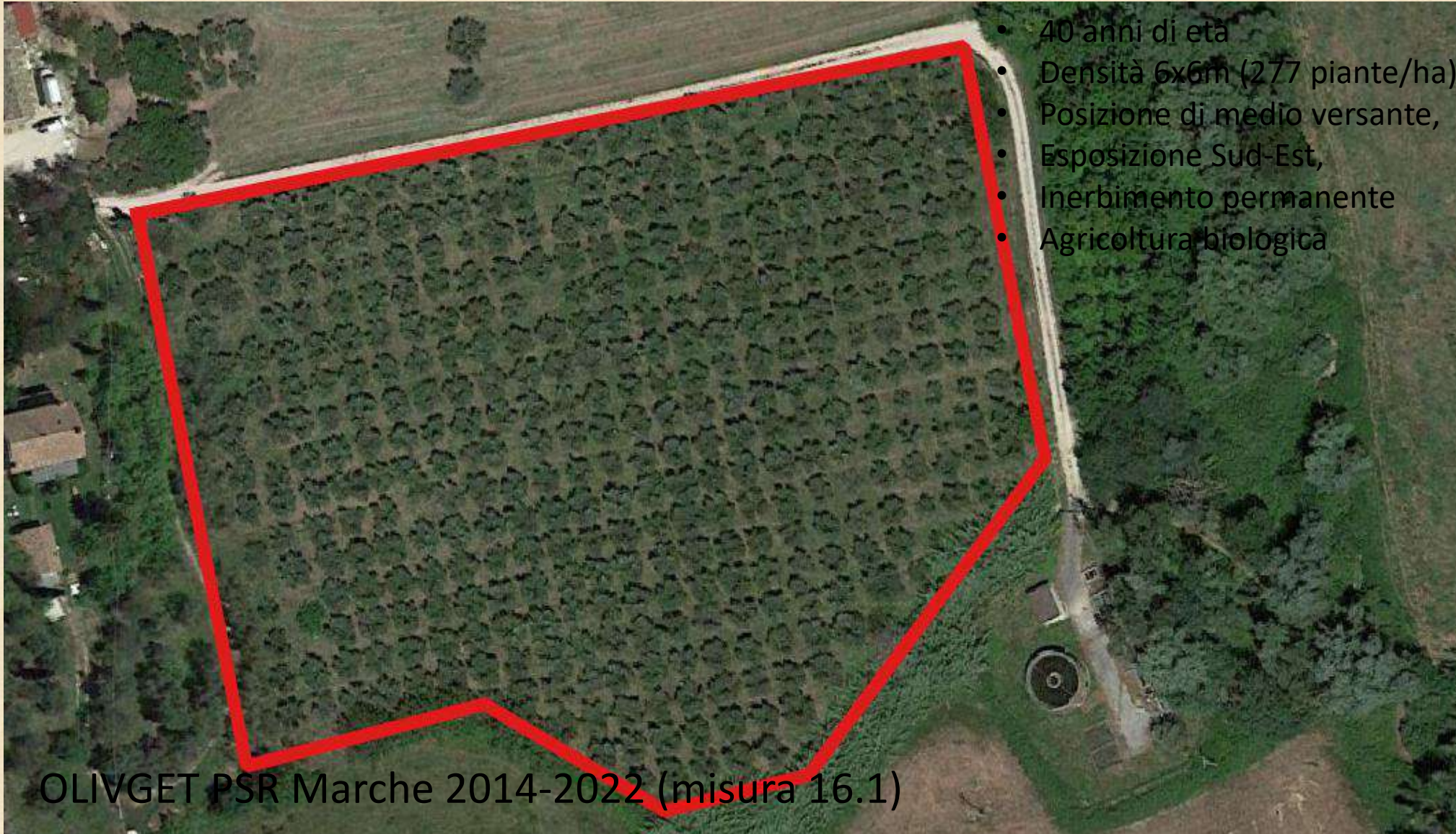


Kaarta Stencil 2 MLS

Obiettivi della sperimentazione

- Valutare effetti e differenze in chiome di alberi con **diverse modalità e intensità di potatura**
- Valutazione dell'**accuratezza della strumentazione LiDAR** nella determinazione dei volumi delle chiome e delle differenze **pre e post potatura** applicando diversi algoritmi

Area di studio



- 40 anni di età
- Densità 6x6m (277 piante/ha)
- Posizione di medio versante,
- Esposizione Sud-Est,
- Inerbimento permanente
- Agricoltura biologica

Azienda
Agricola Luvia
Cartoceto
(PU)

OLIVGET PSR Marche 2014-2022 (misura 16.1)

Prova di potatura

Minima



Intensa



Tradizionale

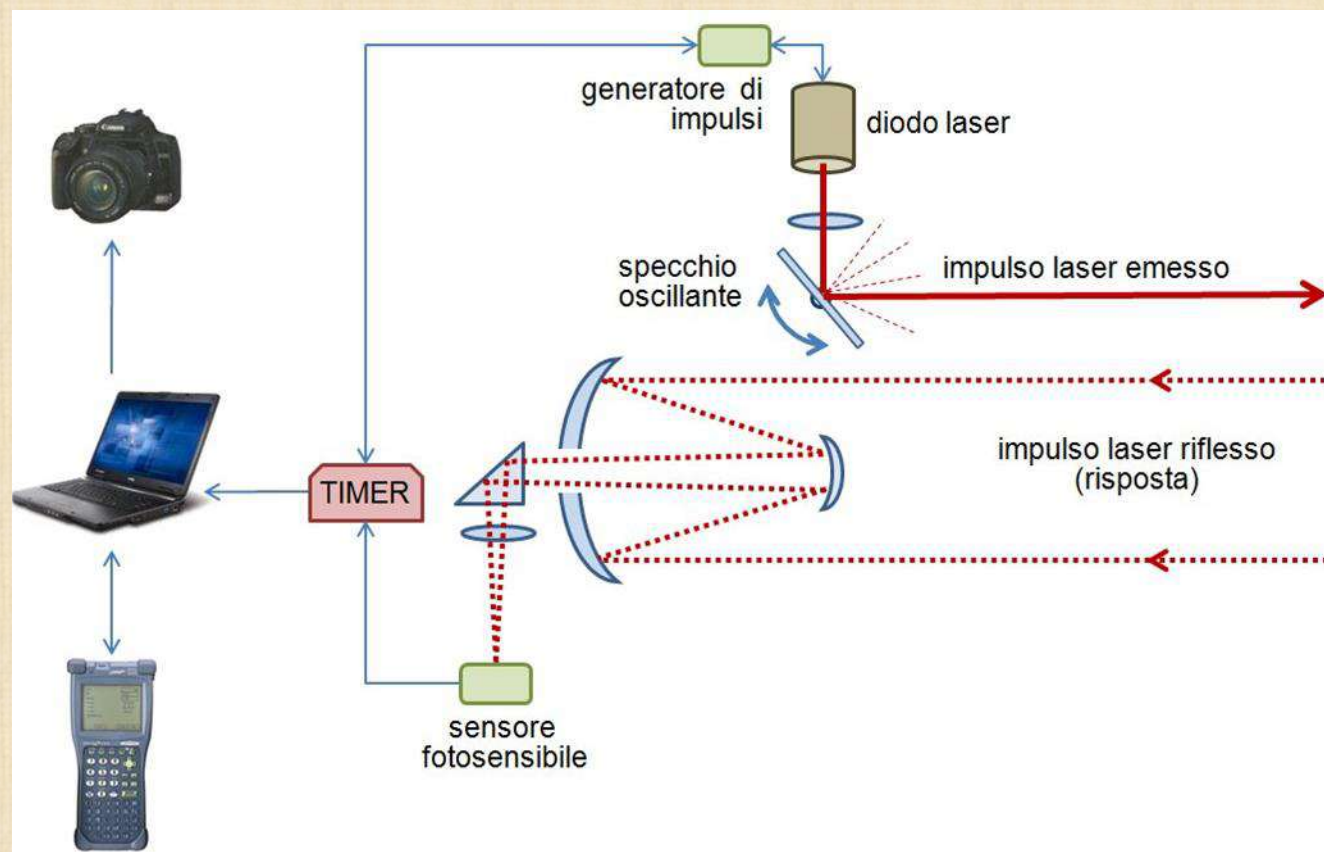


Il LiDAR Light Detection and Ranging

Permette di effettuare scansioni molto accurate dell'ambiente che ci circonda

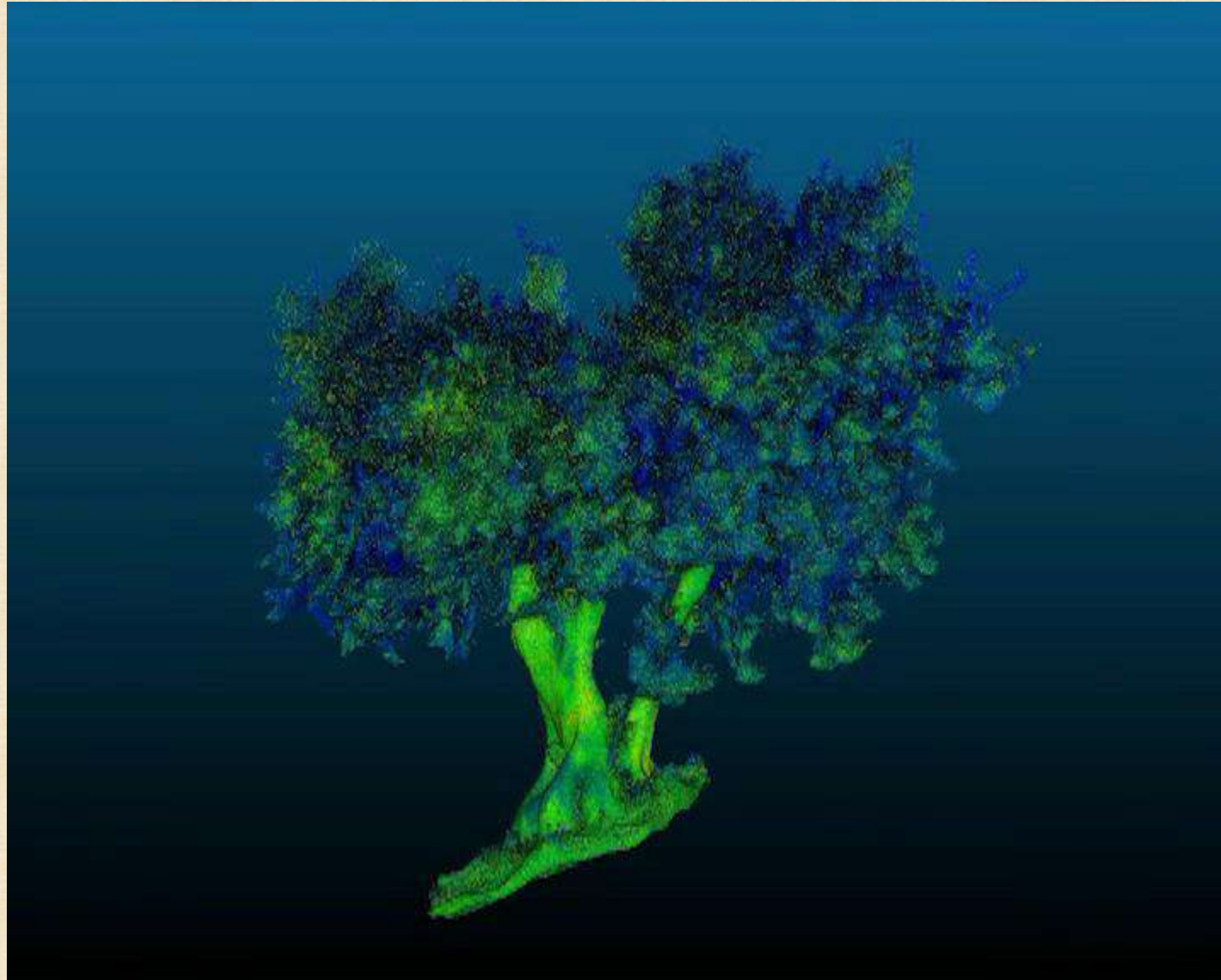
Può essere portato manualmente, montato su veicoli terrestri o su droni (UAV) per rilievi aerei

È principalmente composto da:
Generatore di radiazioni
Computer
Sistema di archiviazione dei dati



Nuvole di punti

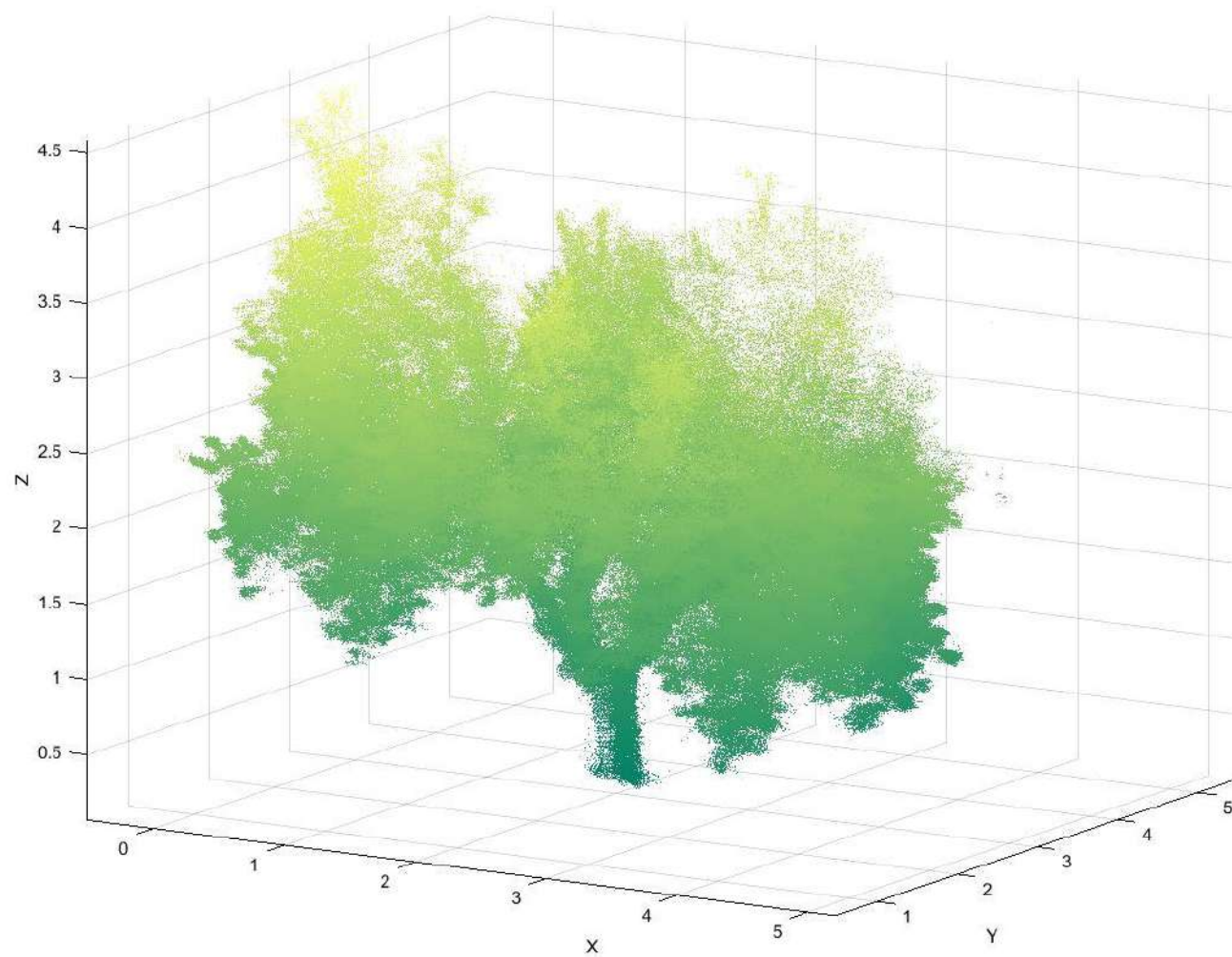
Olivo storico di
Cartoceto PU



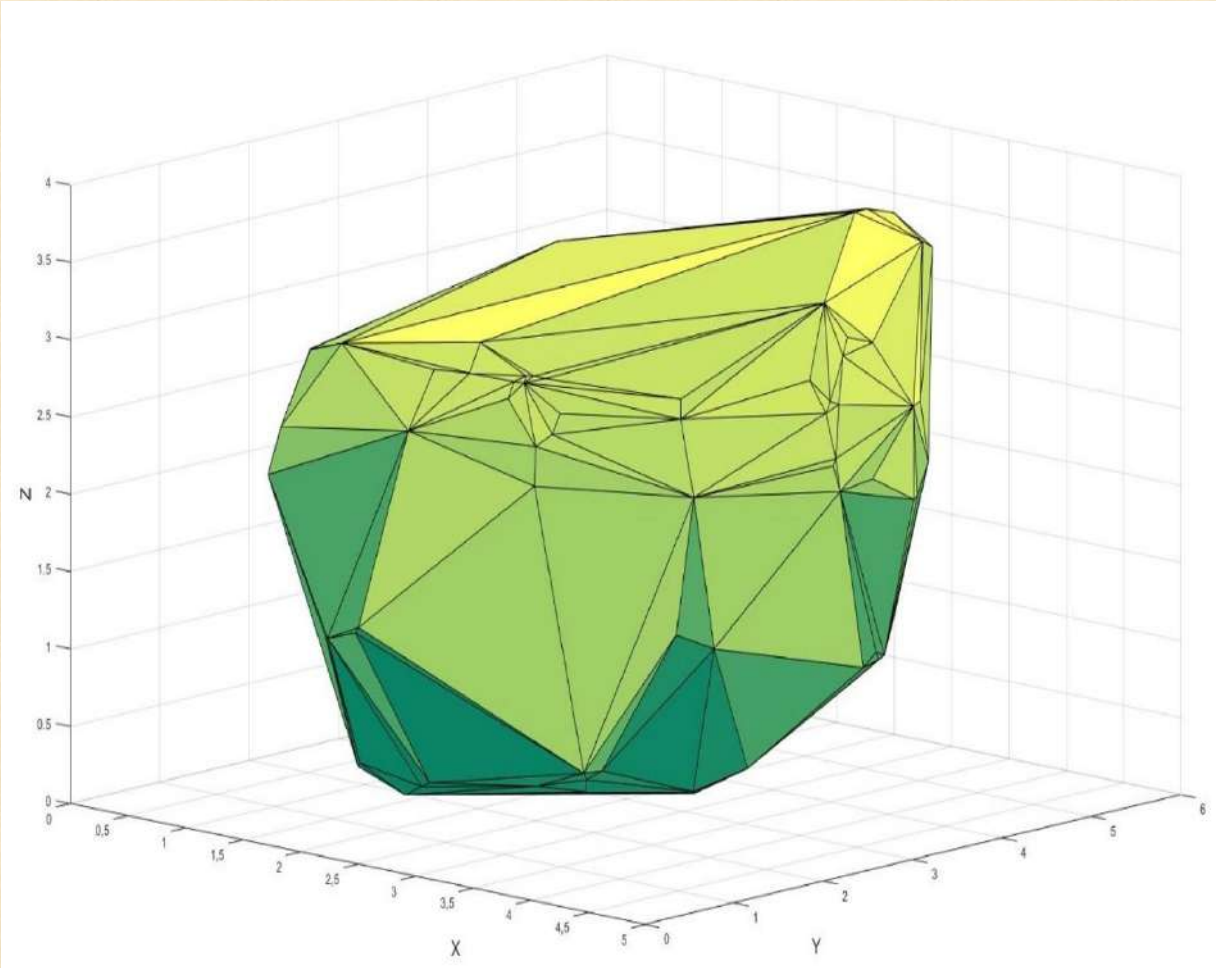
Estrazione dei dati volumetrici dalle nuvole dei punti

- La nuvola dei punti grezza è stata elaborata tramite i software CloudCompare™ e MATLAB® → Separare il terreno dagli alberi e ottenere le nuvole delle singole piante
- È stato impostato un algoritmo tramite il software MATLAB® che permette di applicare quattro diverse funzioni: Alpha Shape, Convex Hull, la Triangolazione di Delaunay e il metodo Voxel Based
- Il sistema permette di ottenere il volume del risultato delle singole funzioni e la rappresentazione grafica

Nuvole di punti

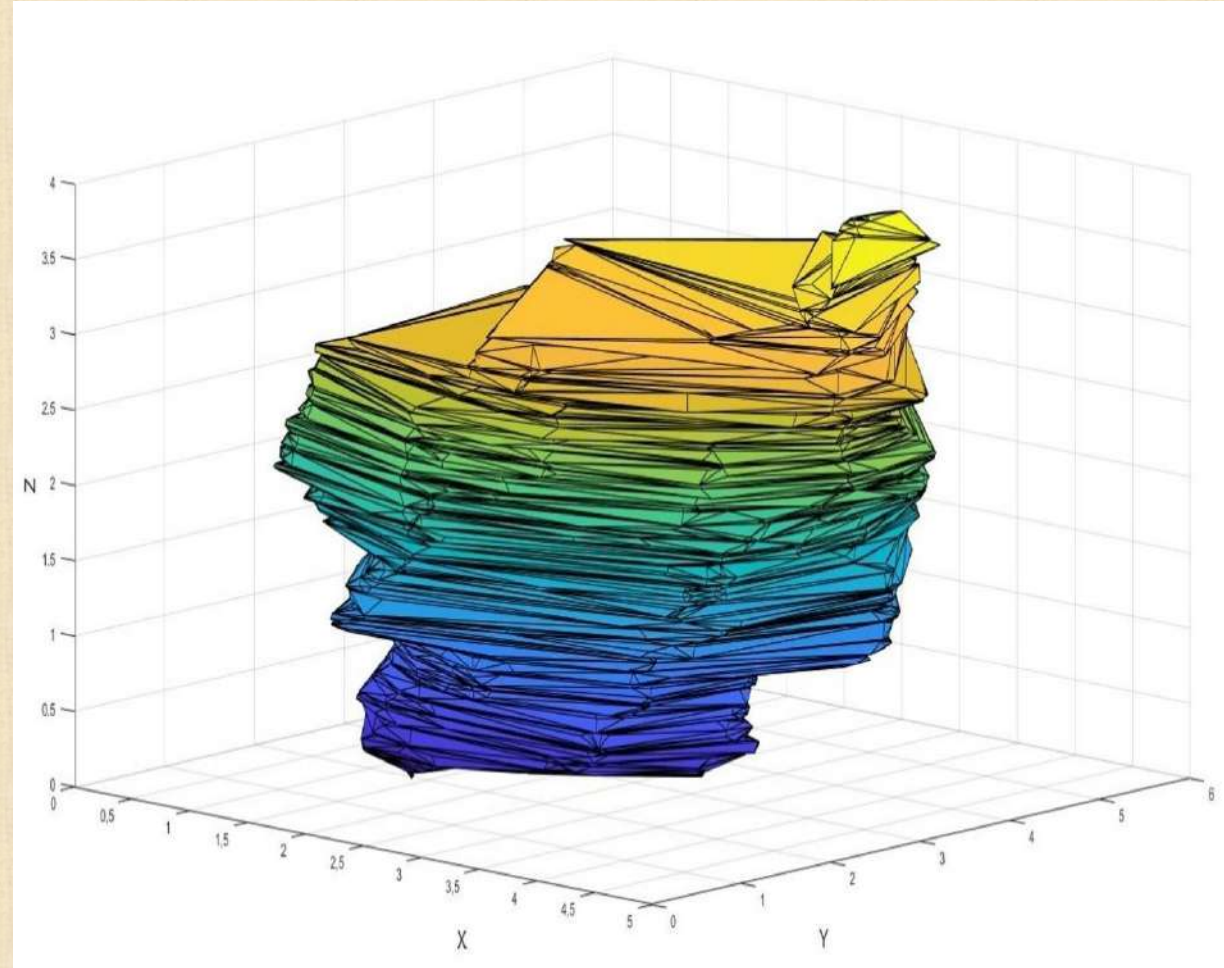


Elaborazione delle nuvole dei punti



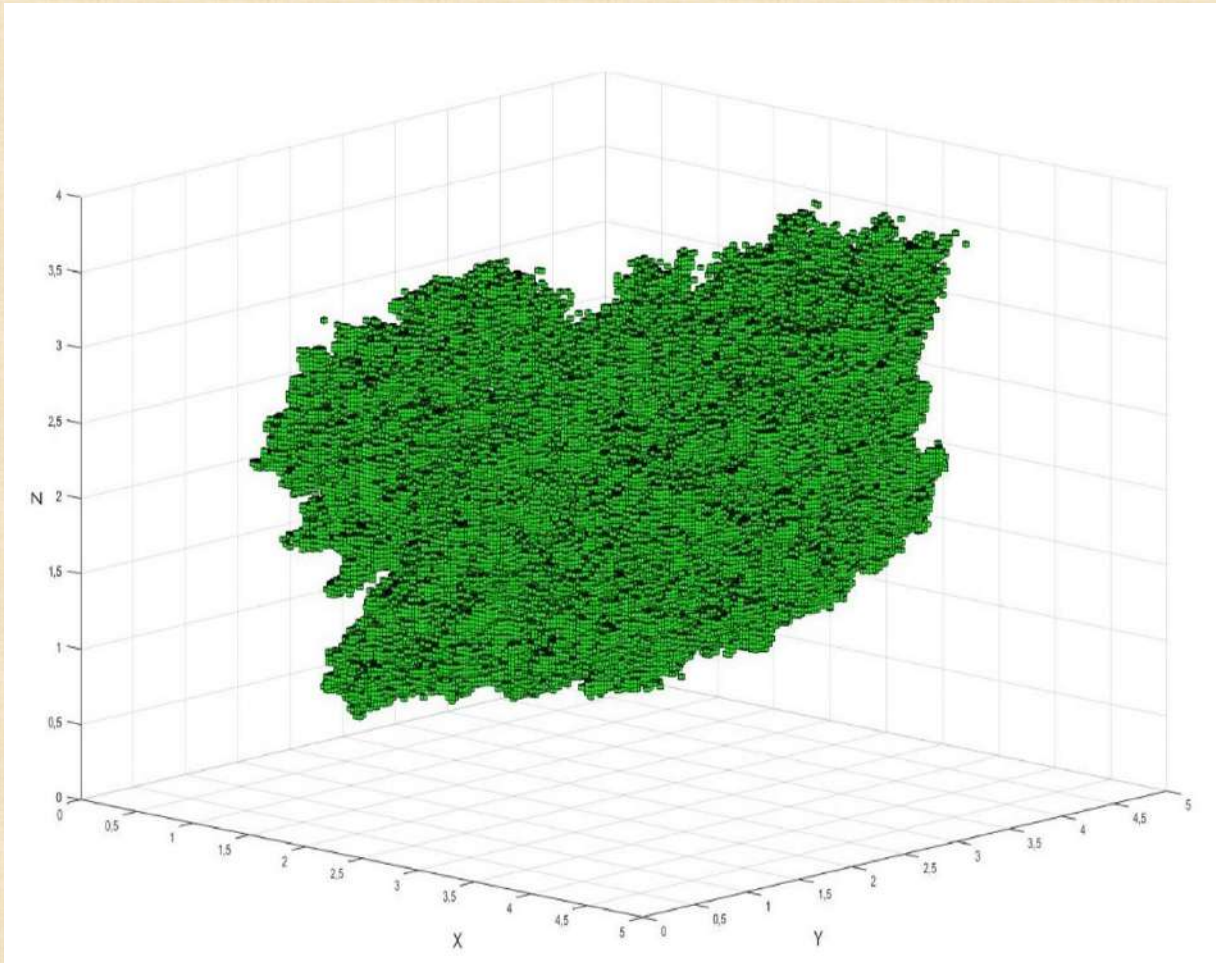
Intero

Convex Hull

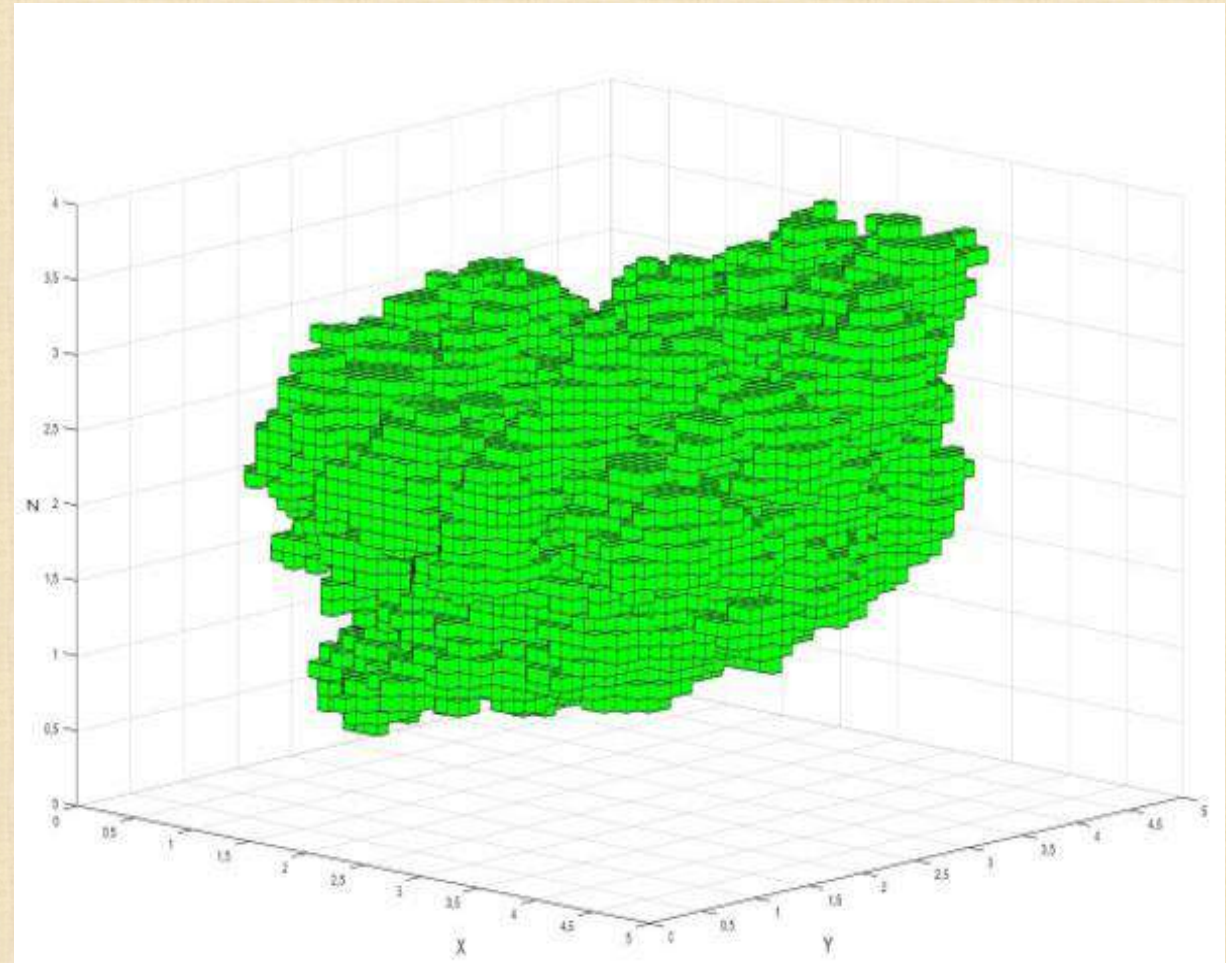


Sezioni 0,1m

Elaborazione delle nuvole dei punti



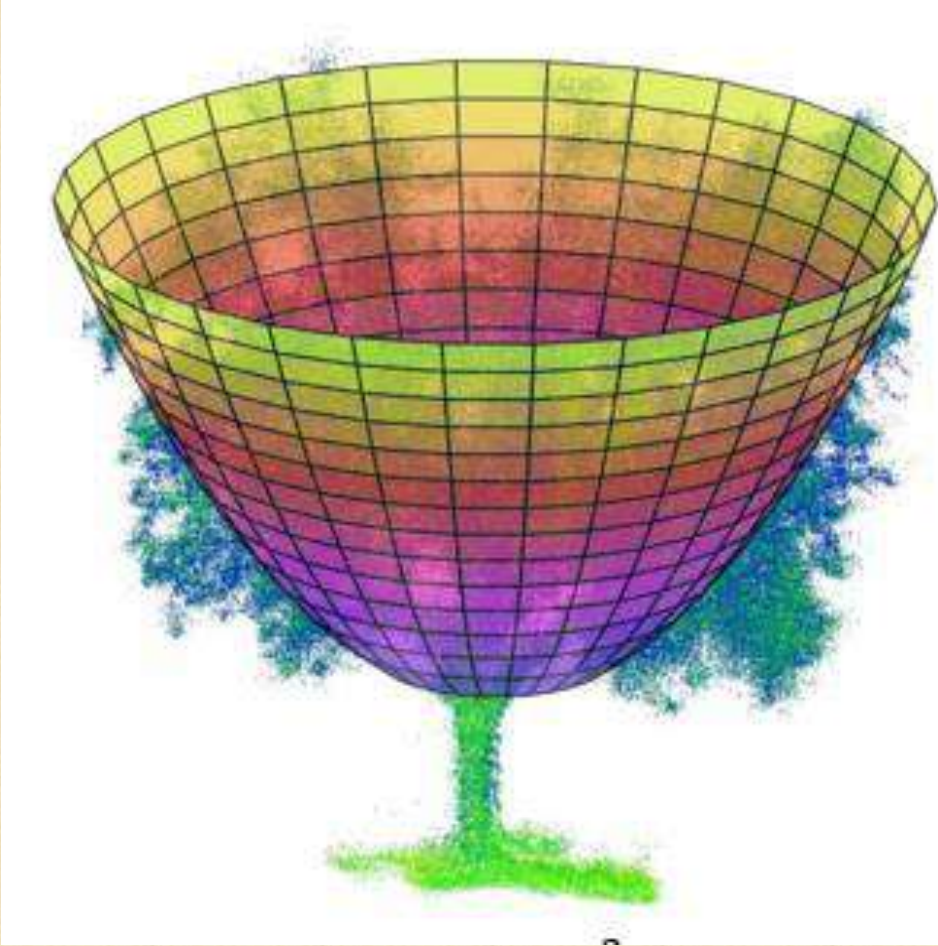
$l = 0,03m$



$l = 0,1m$

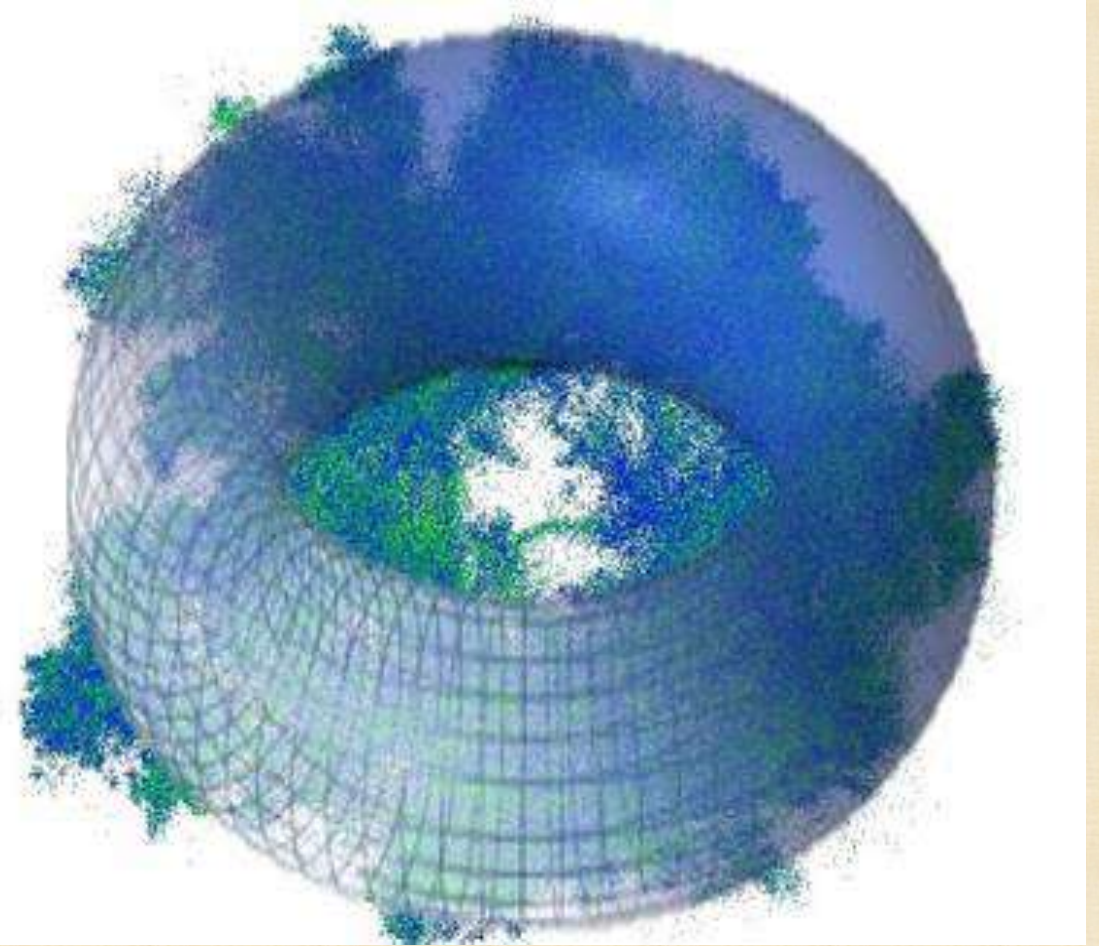
Voxel

Calcolo del volume reale delle chiome



Paraboloide

$$\frac{1}{2} \frac{\pi \cdot Dc^2 \cdot Hc}{4}$$



Toroidale

$$2\pi^2 \cdot Rr^2$$

Problematiche

- Oliveto non gestito dal 2017;
- Potatura non adeguata;
- Ombreggiamento dell'impianto con scomparsa dell'inerbimento;
- Diverse varietà nazionali e locali in fase di studio per gli habitus di crescita.



		<i>Nord</i>			
<i>Ovest</i>	1° filare	Arbequina	35 piante	FS-17	39 piante
	2° filare	Arbequina	35 piante	Tosca	48 piante
	3° filare	Tosca	35 piante	Don Carlo	46 piante
	4° filare	Piantone di Falerone	35 piante	Piantone di Mogliano	45 piante
	5° filare	Piantone di Mogliano	35 piante	Piantone di Falerone	44 piante
	6° filare	Ascolana tenera	35 piante	Rosciola laziale	45 piante
	7° filare	Rosciola laziale	35 piante	Ascolana tenera	47 piante
	8° filare	Maurino	35 piante	Sargano di Fermo	48 piante
	9° filare	Sargano di Fermo	35 piante	Maurino	39 piante
		<i>Sud</i>		<i>Est</i>	

○ Varietà presenti in uno dei due blocchi

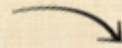
○ Varietà presenti in entrambi i blocchi

Varietà non considerate



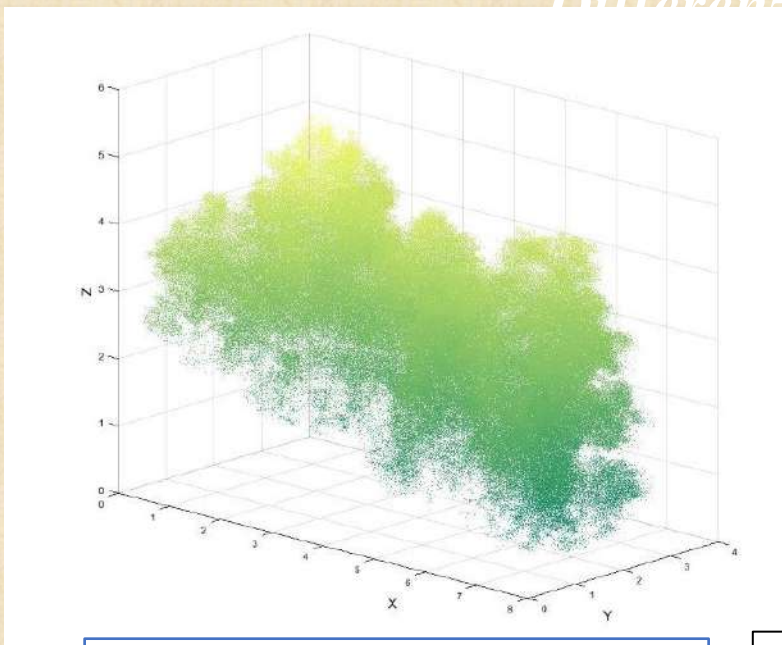
Az. Agr. Maggiorana Cinzia, Fermo

Potatura minima selettiva Manuale



Differenze biometriche nel pre e post potatura

Dati LiDAR

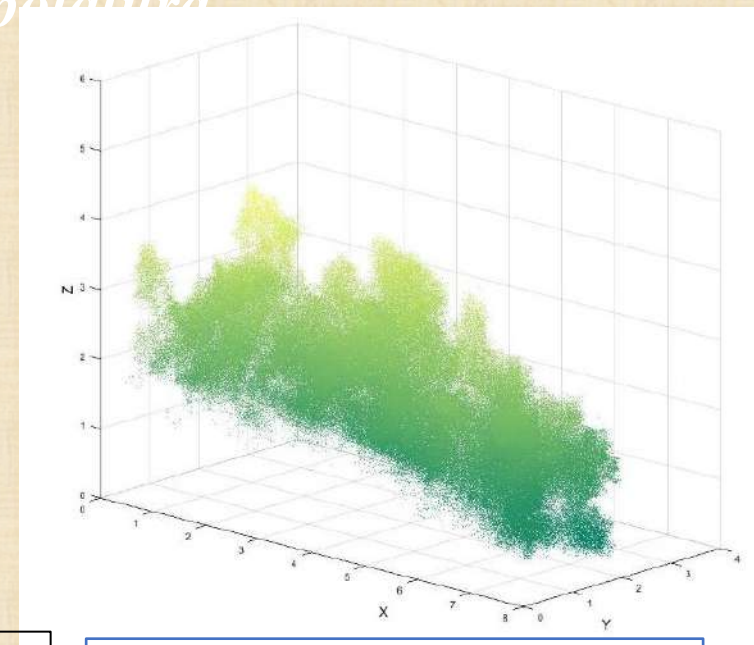


Nuvola di punti chioma pre potatura

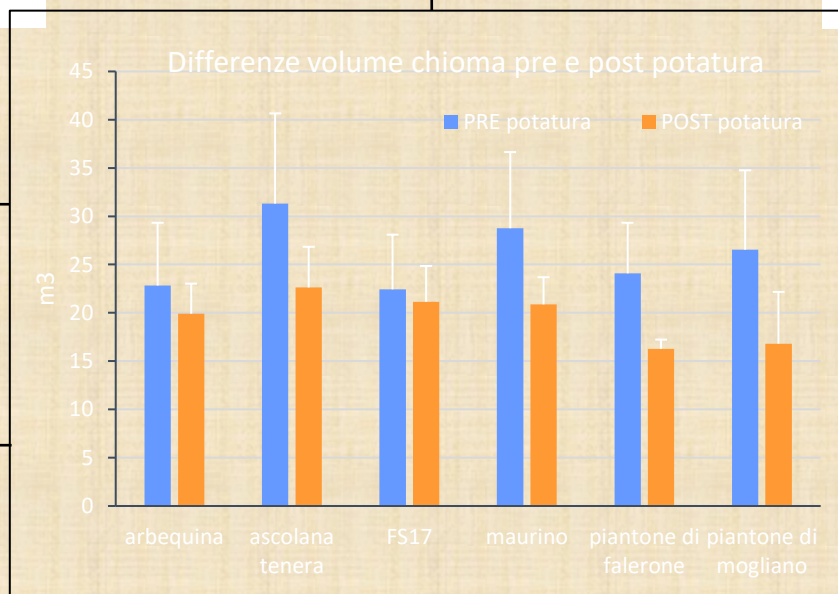
- *Barre blu:* chiome pre potatura, si notano le differenze nel naturale habitus delle varietà.

- *Barre arancio:* chiome post potatura, differenze che si appiattiscono, obiettivo di ricondurre le chiome a dimensioni simili.

- I volumi si riferiscono a porzioni di vegetazione di 6 metri (3 piante circa)



Nuvola di punti chioma post potatura



- Variabilità (barre di errore) più accentuate nel pre potatura → naturale sviluppo della varietà;
- Con le operazioni di taglio la variabilità si appiattisce → potatura ridurre le differenze.



UNIVERSITÀ
POLITECNICA
DELLE MARCHE

Photovoltaic systems for fruit orchards



Davide Neri e Samuele Crescenzi

Dipartimento di Scienze agrarie, alimentari e
ambientali

Università Politecnica delle Marche

1° point – «landscape»



- **Ground-mounted photovoltaic (PV)** arrays are the least-cost design solution
- The attention to their **impacts** in terms of **land-use** and land-transformation is growing,
- Concerns about **landscape** preservation and possible losses of ecosystem services.
- The **community acceptance** is often a barrier.
- The current design is generally aimed to **maximize energy generation**, given a certain land area.

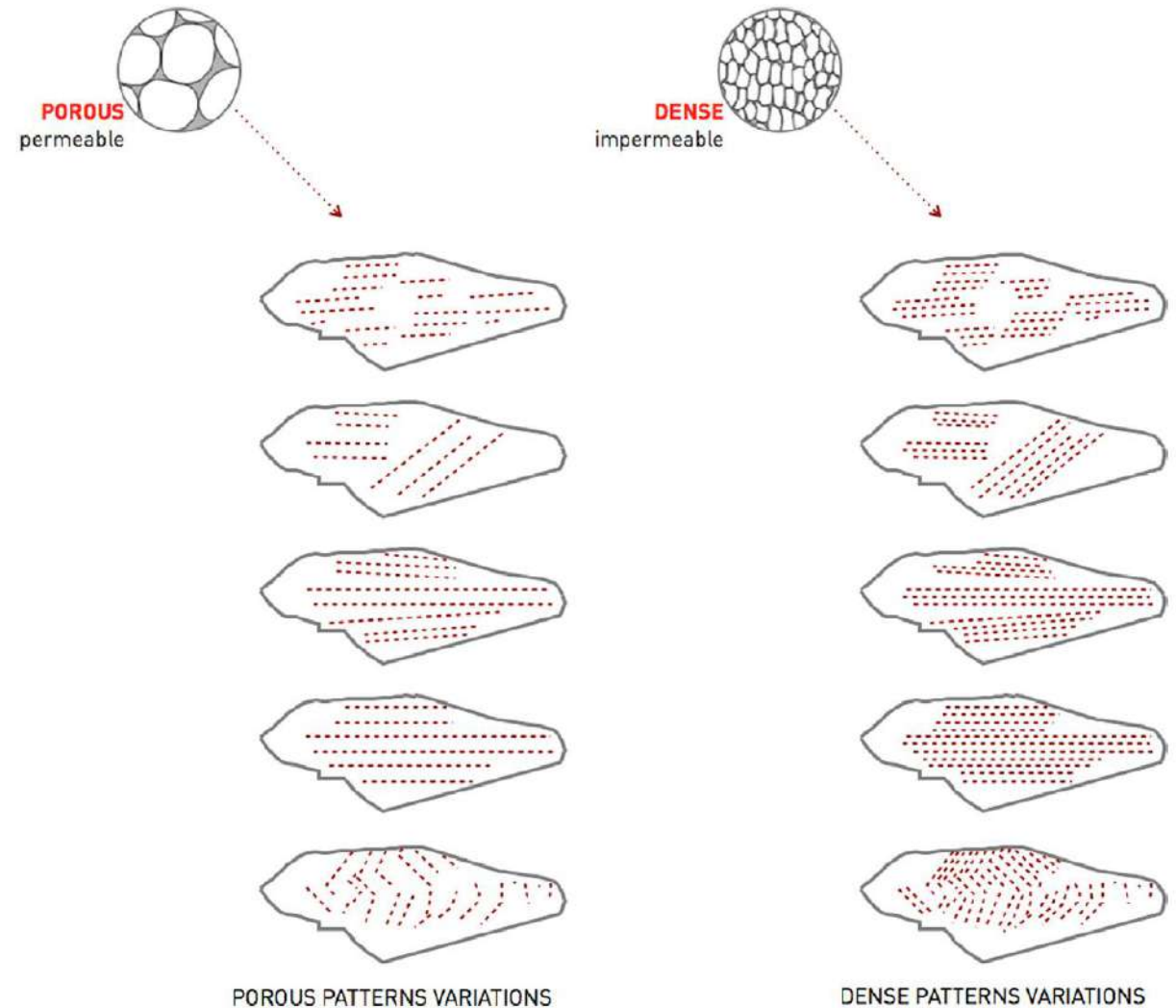


‘Photovoltaic landscapes’: Design and assessment. A critical review for a new transdisciplinary design vision
Alessandra Scognamiglio

Porosity, or density, is a relevant attribute of a photovoltaic pattern. Porosity can be defined as the ratio between the total area of the installation and the area of the modules.

The space in which the photovoltaic pattern is arranged is a kind of “empty” space, that can be defined ‘pore’ space.

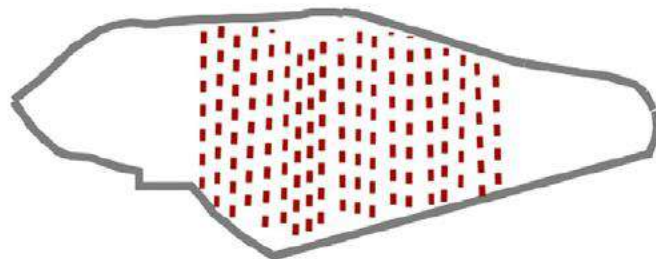
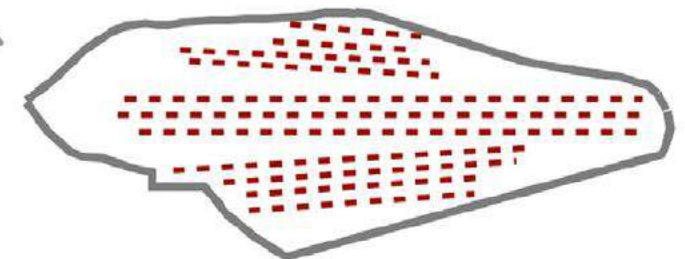
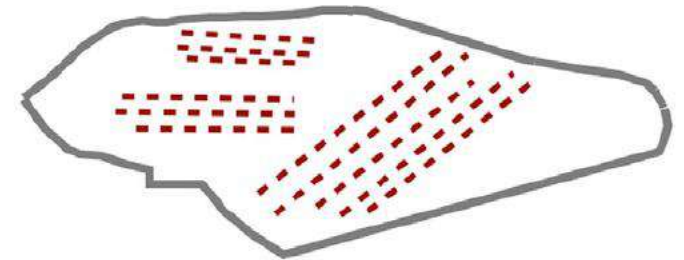
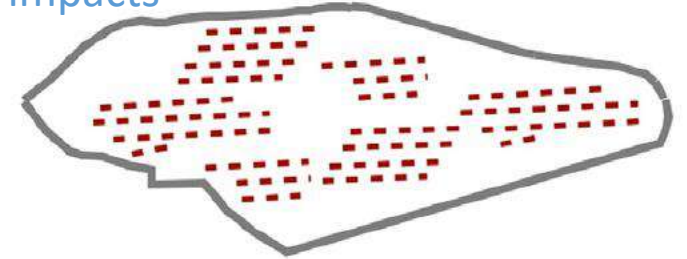
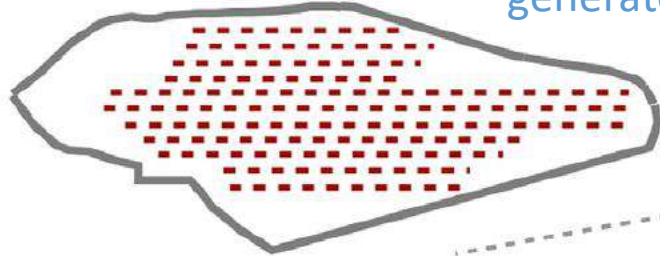
This is the space left in between the modules in a certain pattern. Patterns can be described as porous (permeable) or dense (impermeable). In the image variations on the degree of porosity are shown for some photovoltaic patterns



The study argues that new patterns would help in allowing a better ecological performance of the PV landscape, and the quantitative assessment of the ecological beneficial impacts generated by new PV patterns.

A TYPICAL PHOTOVOLTAIC ARRAY

OPTIMAL AZIMUTH, OPTIMAL TILT, PARALLEL STRIPES



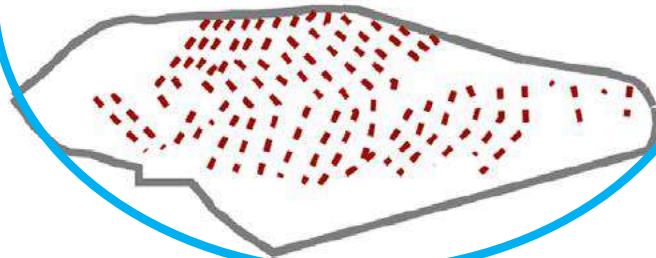
PARALLEL STRIPES

VARIATIONS ON AZIMUTH

The suggested solution for small farms in hill

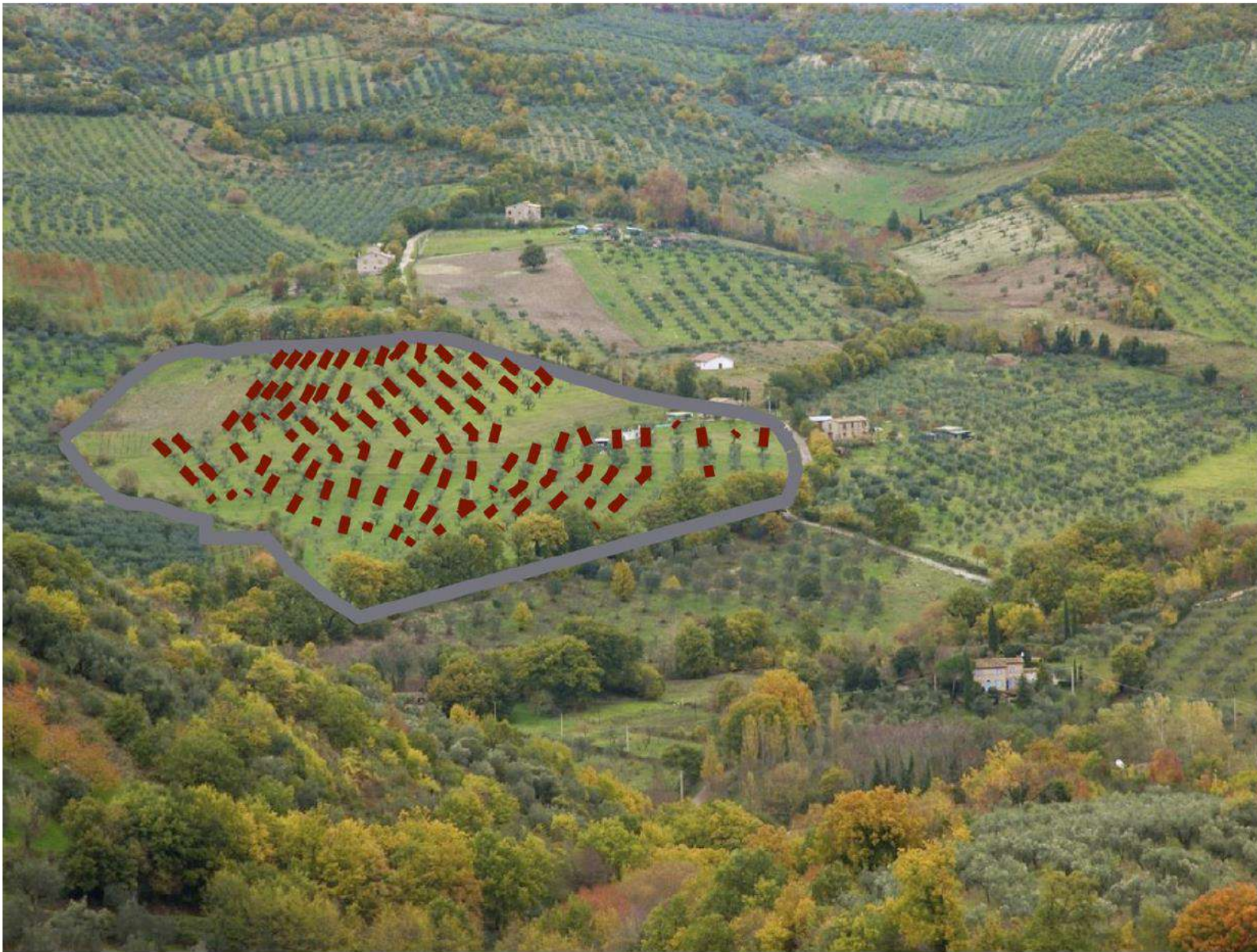
LEARNING FROM NATURE

VARIATIONS ON AZIMUTH, VARIATIONS ON PATCHES



ISLANDS OF PARALLEL STRIPES

VARIATIONS ON AZIMUTH, VARIATIONS ON PATCHES



The idea is that Pv systems should be designed as an element of the landscape they belong to

- according to an 'inclusive' design approach that does not focus only on the overall energy efficiency of the system,
- extends to other additional ecological and landscape objectives.

An original energy-design vision for on ground PV is advanced, rooted in an original concept of **'photovoltaic landscape'**.



2° POINT –
«FRUIT
ORCHARDS»



Big two dimensional
cherry orchard

Emilia Romagna, Portomaggiore (FE): *Cherry* Van

Anticracking hail net system with
pearl Iridium®



Small two dimensional
cherry orchard with
multifunctional cover
systems

Small two dimensional
cherry orchard with
multifunctional cover
systems



Emilia Romagna, Portomaggiore (FE): *Cherry* Van



Mechanization in two dimensional cherry orchard for harvest and pruning



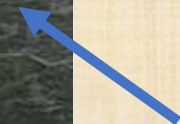
Small two dimensional
cherry orchard with
multifunctional cover
systems



Top: anti rain

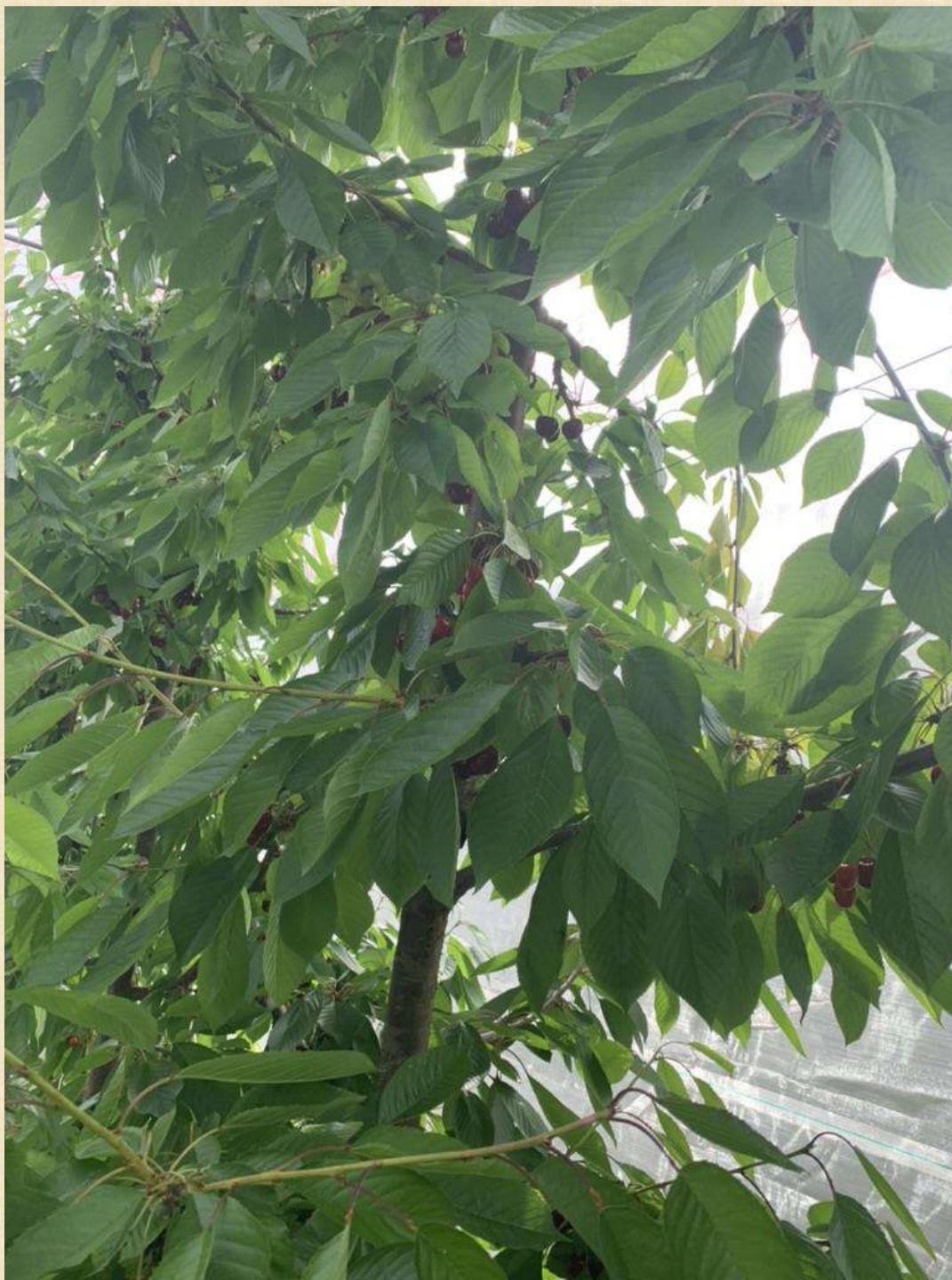


Lateral: anti insect



Small two dimensional
cherry orchard with
multifunctional cover
systems





(with less than 40% of total shade)

PROS

The net covers
the cherry fruit against:

Top: Rain (water proof)

Lateral:

- Hail
- Sunburn
- Wind
- Insect ([Drosophila suzukii](#)) (Rhagoletis spp)

[Halyomorpha halys](#)

- Improve irrigation efficiency and photosynthesis during fruit maturation

CONS

The lateral cover must remain only up to 40-60 days (from 10 days after fruit set up to harvest).

- Longer periods will increase other pest damages (mites, fungal diseases ...)
- In summer flower bud formation for the next year fruit production needs maximum available light

Small two dimensional
cherry orchard with
multifunctional cover
systems



Top:
anti rain
water proof

Lateral:
anti insect

Small two dimensional
cherry orchard with
multifunctional cover
systems and PV /drawing)



Top:
anti rain
water proof
PV

Lateral:
anti insect

Emilia Romagna, Faenza: nectarine “Romagna 3000”



Yellow
stimulated
photosynthesis
and shoot
growth

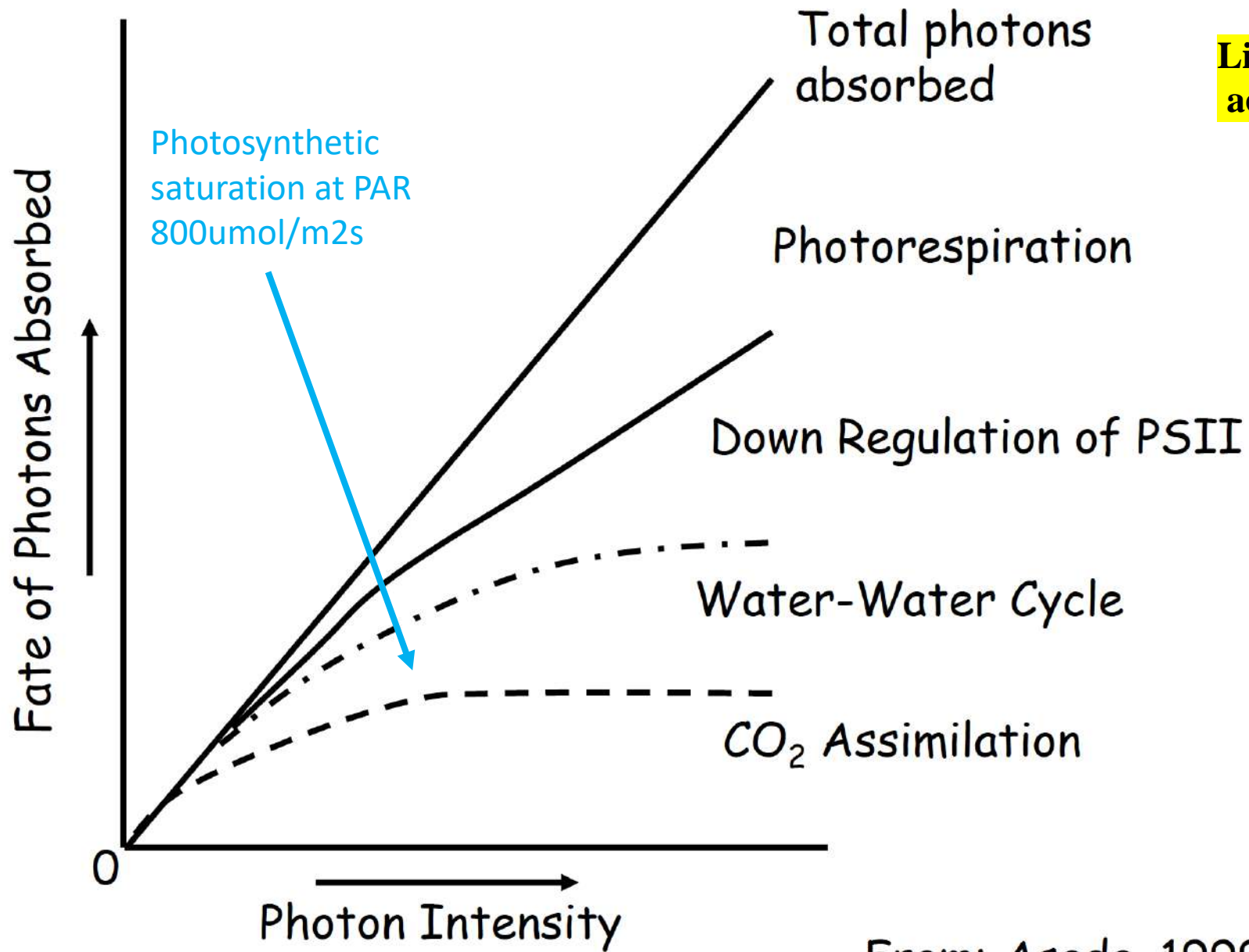
Blue
induced
more
compact
growth

Peach orchard with
multifunctional cover
systems with different
color

The need for photo-selective hail-nets and cover

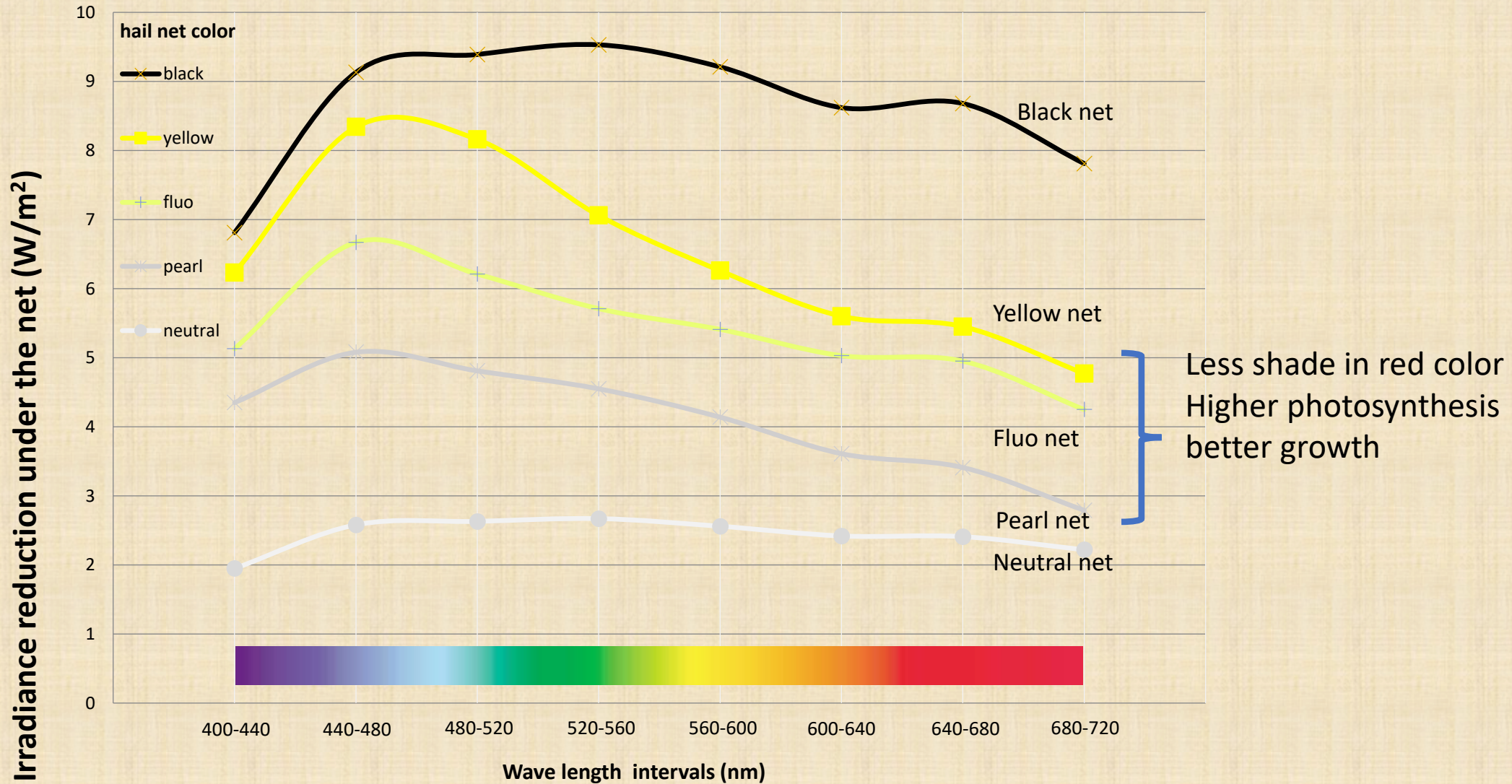
Table 1. Light quality modification by ColorNets. The relative change refers to the composition of the light transmitted through the plastic threads of each type of net, having the same shading factor (in PAR), relative to the natural sunlight measured at the same time. UV, ultra violet; B, blue; G, green, Y, yellow; R, red; FR, far red. Scattering refers to the scattered/direct light ratio under each net relative to natural sunlight at the time of measurement. For more details see Shahak et al. (2004a).

Net	Absorption	Transmittance	Scattering
Blue	UV+Y+R+FR	B+G	++
Red	UV+B+G	R+FR	++
Yellow	UV+B	G+Y+R+FR	++
White	UV	B+G+Y+R+FR	++
Pearl	UV	B+G+Y+R+FR	+++
Grey	all (+IR)	-	+
Black	all	-	0

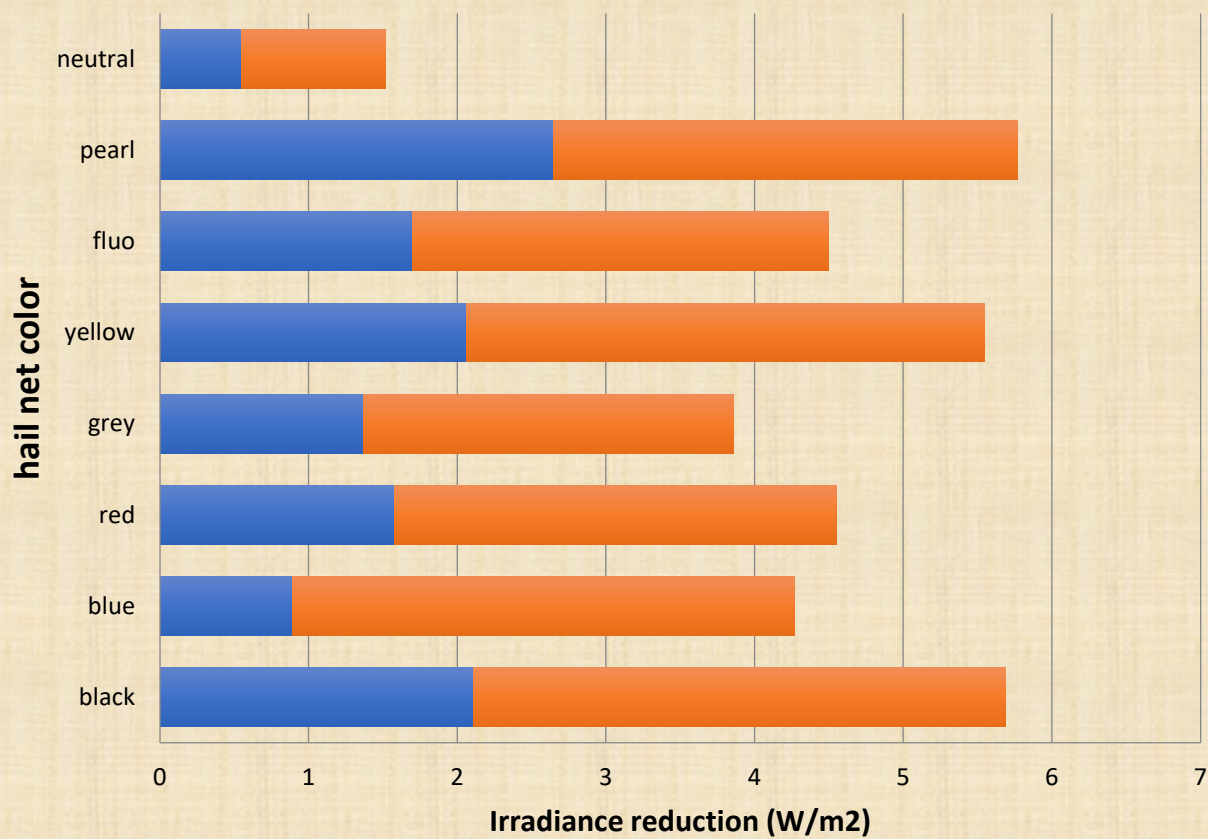


From: Asada. 1999.

Irradiance reduction under the net (W/m²) according to the color



Irradiance reduction under anti hail nets (ultra violet UV range)

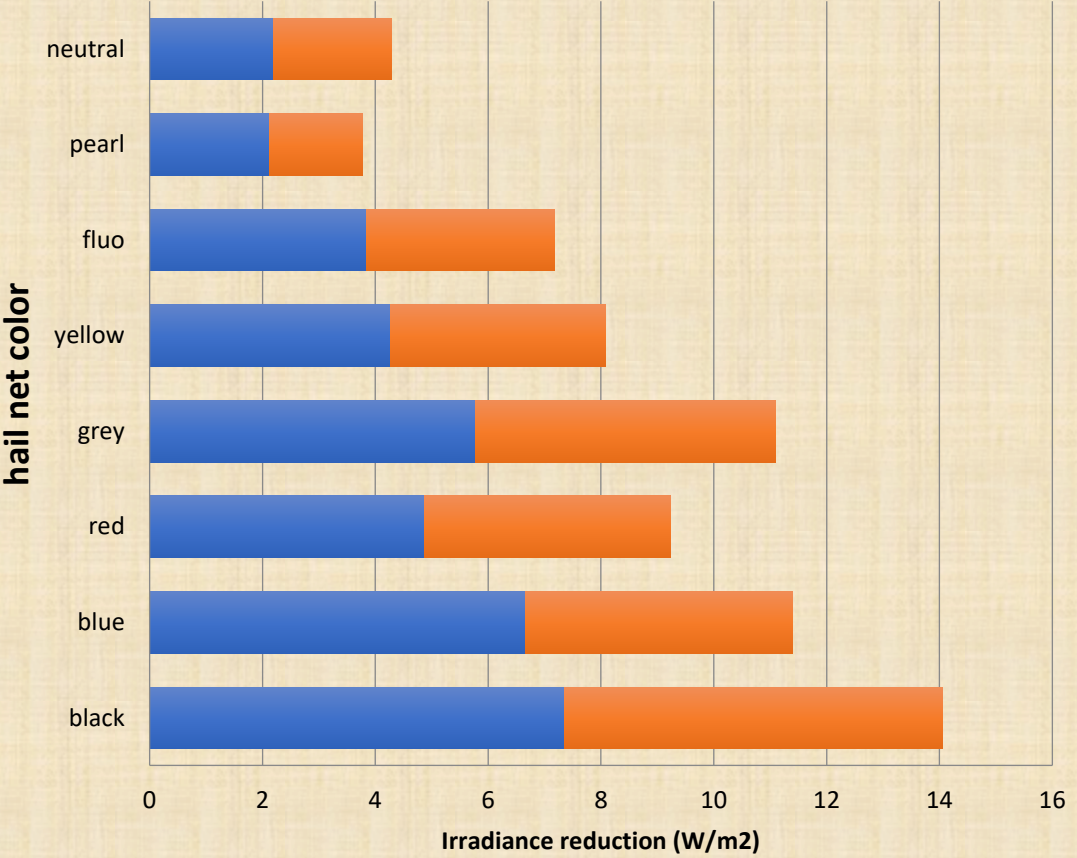


UV reduction (%)

Net color	% reduction
Black	22.3
Blue	22.6
Grey	16.7
Red	19.1
Yellow	23.1
Fluo	18.1
Pearl	24.4
Neutral	6.3

Pearl showed more diffused light and less shade

Irradiance reduction under anti hail nets (infrared IR range)



IR reduction (%)

Net color	% reduction
Black	24.9
Blue	21.0
Grey	21.1
Red	16.4
Yellow	13.9
Fluo	12.8
Pearl	8.0
Neutral	7.7

Reduction of wind speed under the nets.

Under the net :
46% of reduction of
average wind speed

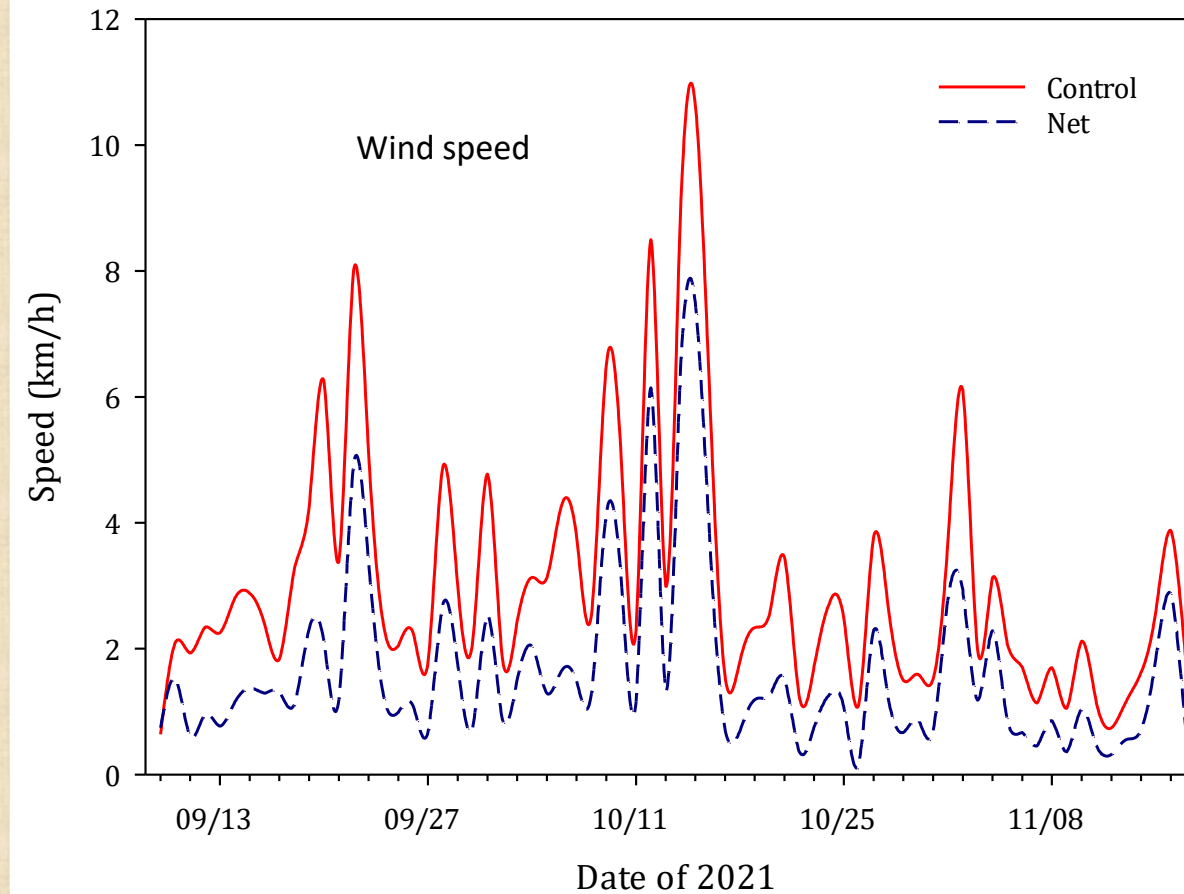
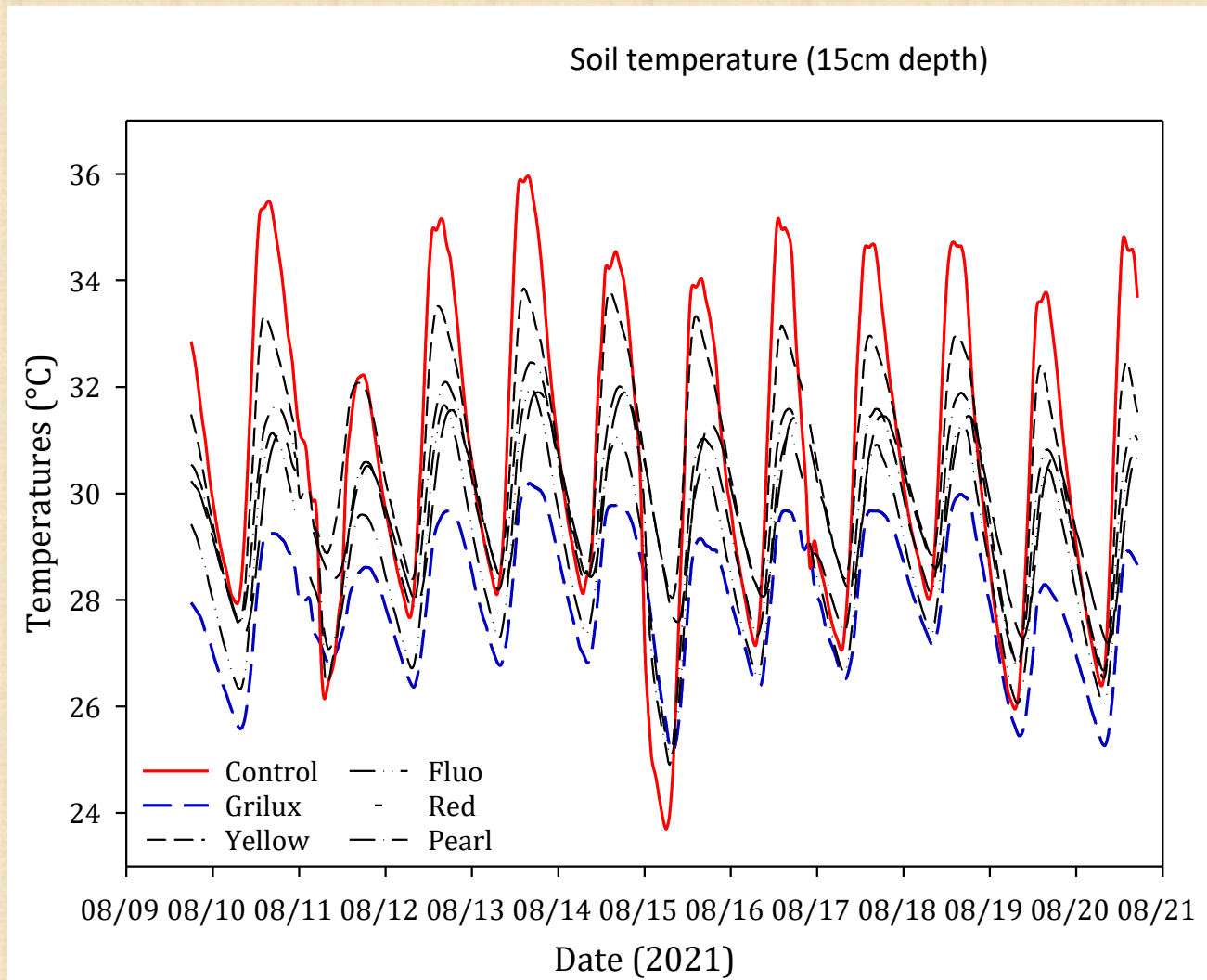


Photo-selective plastic nets in pomegranate orchards. 2022. S. Crescenzi, M. Zucchini, V. Giorgi, G. Vaccaro, D. Neri. *ISHS Acta Horticulturae* 1349:



Soil temperatures were lower under the nets. During the daylight only the yellow net showed soil temperatures close to the control.



**On flat
agricultural
farms**

PV pannels large
+-2 m, with a
transparency of
40%

Inter row 3-4m



40% transparency

Cells 156mmx156mm 21% efficiency

“There is always a tradeoff between the transparency level and the PV power,” Willockx said, noting that higher transparency levels will result in lower PV power density, and vice versa. “However, there is also a financial transparency limit: The needed PV power and energy returns must be calculated in function of the fixed structural costs to be financial attractive ... This in combination with the needed transparency levels for the crop growth, explains the complex design of agriPV set ups.

Project for landscape PV with a continuous black hail net



Top with PV system

1 m over the row if dark

Hail net on the whole system

Project for landscape PV with a continuous black hail net

Top with PV system

1 m over the row if dark

Hail net on the whole system



Top with PV system

1 m over the row if dark

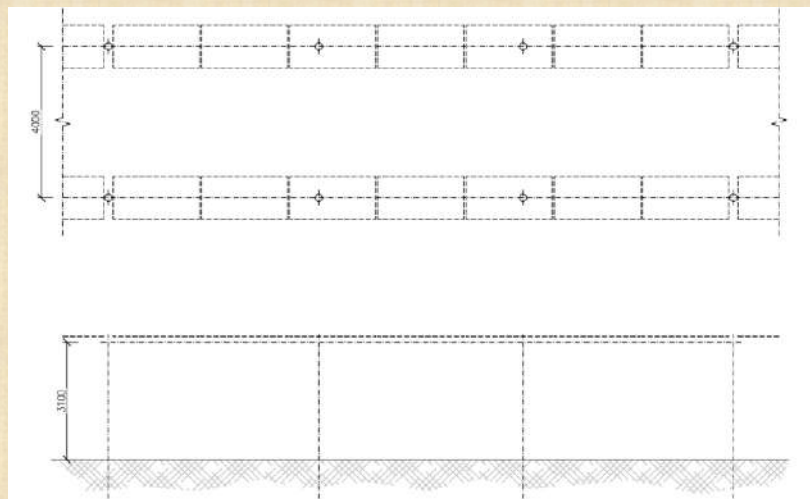
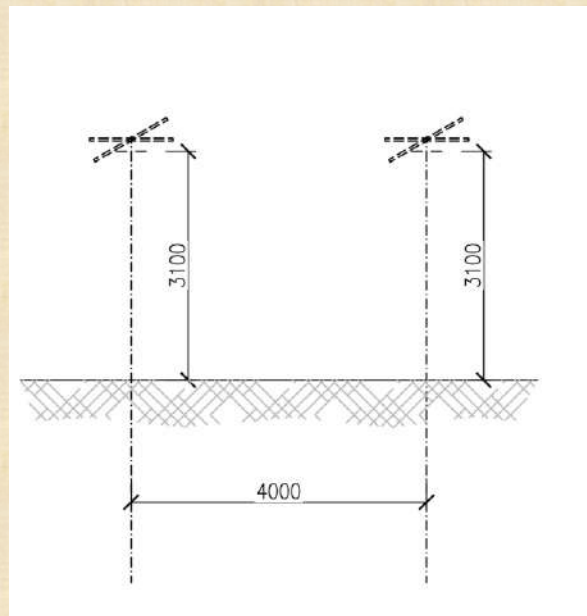
Up to 2m if 40% transparent

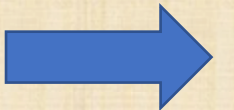
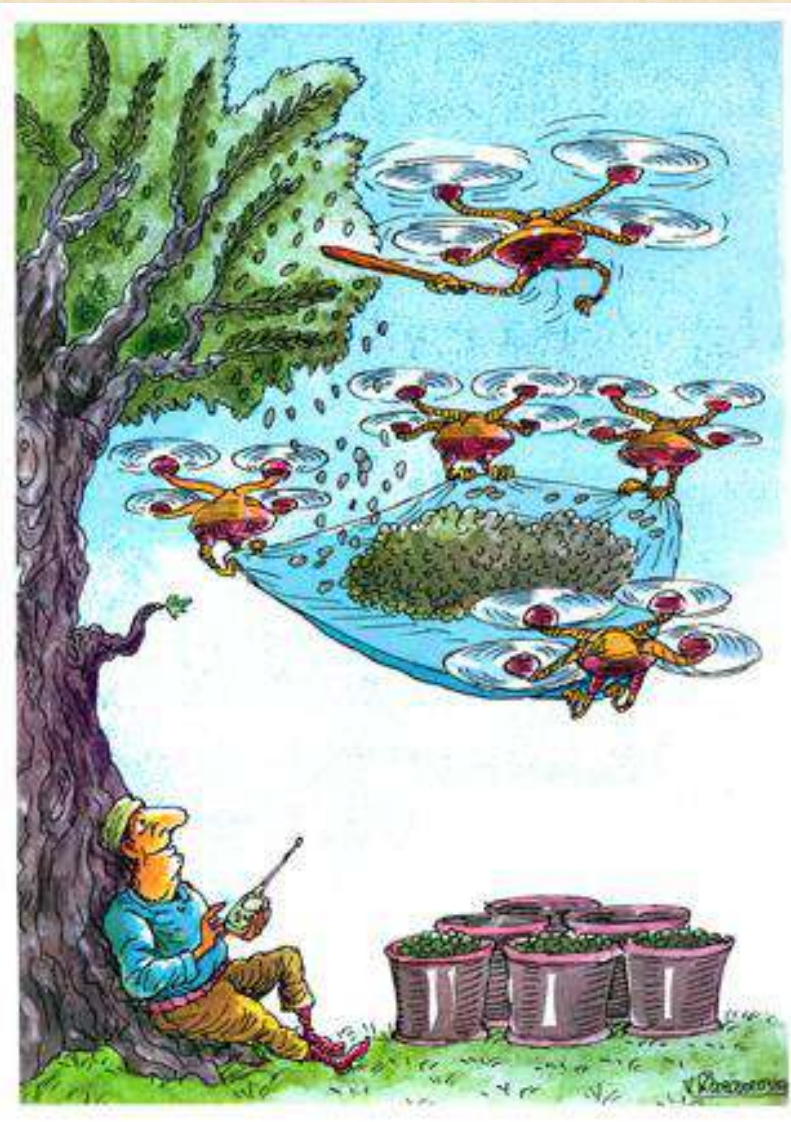
Olive

Rendering per il progetto Neri «pannelli e olivo da mensa»

Disegno: Davide Neri Monica Pantaloni e UNIVPM

Modello di agrivoltaico e reti antinsetto - su filre di oliveto alta densità





Realtà supera fantasia

